

الله الرحمن الرحيم



دانشگاه آزاد اسلامی واحد ملایر

گروه عمران

عنوان

ارزیابی رفتار غیرارتجاعی سیستم دیوار برشی کوپله بتون مسلح با تیرپیوند فولادی در قاب
خمشی بتونی

پایان نامه ارائه شده به مدیریت تحصیلات تکمیلی به عنوان بخشی از فعالیت های تحصیلی
لازم جهت اخذ درجه کارشناسی ارشد
در رشته عمران

استاد راهنما

جناب دکتر مهدی علیرضایی

استاد مشاور

جناب دکتر مظاہر روزبهانی

نگارش

معصومه حسینی

زمستان ۱۳۹۴

ب

بسم الله الرحمن الرحيم

ارزیابی رفتار غیرارتجاعی سیستم دیوار برشی کوپله بتن مسلح با تیرپیوند فولادی در قاب

خمشی بتنی

توسط

سیده معصومه حسینی

پایان نامه

ارائه شده به مدیریت تحصیلات تکمیلی به عنوان بخشی از فعالیت های لازم جهت اخذ درجه
کارشناسی ارشد

در رشته عمران: گرایش سازه

از

دانشگاه آزاد اسلامی واحد ملایر

ارزیابی و تصویب شده توسط کمیته پایان نامه با نمره و درجه

استادیار دکتر مهدی علیرضایی (استاد راهنما)

استادیار دکتر مظاہر روزبهانی (استاد مشاور)

استادیار دکتر وحید رستمی (استاد مدعو)

ت



معاونت پژوهش و فناوری

بنام خدا

شور احلاق پژوهش

بیاری از خدا نه بجان و اعتقاد به اینکه عالم مضر خاست و بموارد ناطق بر اعمال انسان و به مطهور پاس داشت تمام بند و انس پژوهش و نظر بر اینست جایگاه و ادراک اعلای فرهنگ و تمدن شرمنی باشد بجهان و اعضا بینت

علمی و اخلاقی دانشگاه آزاد اسلامی تهران میکردیم اصول زیر را در نظام فناوری پژوهشی مذکور قرار دیم

۱. اصل حقیقت جویی: تلاش درستای پی جویی حقیقت و فداری به آن و دوری از هرگونه پنهان سازی حقیقت.
۲. اصل رعایت حقیقت: اقرام بر رعایت کامل حقیقت پژوهشگران و پژوهیمکان (انسان، حیوان و بنا) و میراص احباب ختن.
۳. اصل بالکیت ارادی و معنوی: تهدید کامل به حقیقت ارادی و معنوی دانشگاه و کیهان را بکاران پژوهش.
۴. اصل منافع ملی: تهدید بر رعایت مصالح ملی و در نظر داشتن پیشبرود توسعه کشور دکیه مراحل پژوهش.
۵. اصل رعایت انصاف و ایانت: تهدید به اختیاب از هرگونه جانب داری غیر علمی و حافظت از اموال، تحریمات و منابع داخیل.
۶. اصل رازداری: تهدید به صیانت از اسرار و اطلاعات محیا افراد، سازمانها و کیهان سازمانی مرتبه تحقیقی.
۷. اصل احترام: تهدید بر رعایت حریم هو و حرمت ها در نظام تحقیقات و رعایت جانب تقد و خودداری از هرگونه ترمیت شکنی.
۸. اصل ترویج: تهدید بر ارجاع داش و اثاثه منابع تحقیقات و انتقال آن به بکاران علمی و دانشیان به غیر از مواردی که من قانونی دارد.
۹. اصل برآت: اقرام برآت جویی از هرگونه نقاش غیر حقوقی و اعلام موافق نسبت به کمالی که حوزه علم و پژوهش را به اینستیتیوی غیر علمی می آیند.



تعهد نامه اصالت رساله یا پایان نامه

اینجانب سیده معصومه حسینی دانش آموخته مقطع کارشناسی ارشد ناپیوسته / دکترای حرفه ای / دکترای تخصصی در رشته عمران - سازه که در تاریخ از پایان نامه/رساله خود تحت عنوان "ارزیابی رفتار غیرارتجاعی سیستم دیوار بر Shi کوپله بتن مسلح با تیرپیوند فولادی در قاب خمشی بتنی"

با کسب نمره و درجه دفاع نموده ام بدینوسیله متعهد می شوم :

۱) این پایان نامه / رساله حاصل تحقیق و پژوهش انجام شده توسط اینجانب بوده و در مواردی که از دستاوردهای علمی و پژوهشی دیگران (اعم از پایان نامه، کتاب، مقاله و) استفاده نموده ام، مطابق ضوابط و رویه موجود، نام منبع مورد استفاده و سایر مشخصات آن را در فهرست مربوطه ذکر و درج کرده ام.

۲) این پایان نامه / رساله قبلاً برای دریافت هیچ مدرک تحصیلی (هم سطح، پایین تر یا بالاتر) در سایر دانشگاه ها و موسسات آموزش عالی ارائه نشده است.

۳) چنانچه بعد از فراغت از تحصیل، قصد استفاده و هرگونه بهره برداری اعم از چاپ کتاب، ثبت اختراع و از این پایان نامه داشته باشم، از حوزه معاونت پژوهشی واحد مجوزهای مربوطه را اخذ نمایم.

۴) چنانچه در هر مقطع زمانی خلاف موارد فوق ثابت شود، عواقب ناشی از آن را می پذیرم و واحد دانشگاهی مجاز است با اینجانب مطابق ضوابط و مقررات رفتار نموده و در صورت ابطال مدرک تحصیلی ام هیچگونه ادعایی نخواهم داشت.

نام و نام خانوادگی:

ج

تاریخ و امضا:

تقدیر و تشکر

سپاس خدای را که سخنوران، در ستودن او بمانند و شمارندگان، شمردن نعمت های او ندانند و کوشندگان، حق او را گزاردن نتوانند. و سلام و دورد بر محمد و خاندان پاک او، طاهران معصوم، هم آنان که وجودمان و امداد وجودشان است؛ و نفرین پیوسته بر دشمنان ایشان تا روز رستاخیز.....

بدون شک جایگاه و منزلت معلم، اجل از آن است که در مقام قدردانی از زحمات بی شائبه‌ی او، بازبان قاصر و دست ناتوان چیزی بنگاریم.اما از آنجایی که تجلیل از معلم سپاس از انسانی است که هدف و غایت آفرینش را تامین می کند و سلامت امانت هایی را که به دستش سپرده اند، تضمین؛ بحسب وظیفه و از باب " من لم یشکر المぬم من المخلوقین لم یشکر الله عز و جل" از استاد باکمالات و شایسته؛ جناب آقای دکتر مهدی علیرضایی که در کمال سعه صدر با حسن خلق و فروتنی از هیچ کمکی در این عرصه بر من دریغ ننمودند و زحمت راهنمایی این رساله را بر عهده گرفتند؛ از استاد محترم جناب آقای دکتر مظاہر روزبهانی، که زحمت مشاوره این رساله را عهده دار شدند و از استاد فرزانه و دلسوز؛ جناب آقای دکتر وحید رستمی که زحمت داوری را متقبل نمودند کمال تشکر و قدردانی را دارم.

نیز از همه‌ی کسانی که مرا در تهیه و تنظیم این پایان نامه همراهی نمودند خصوصا از فرزندان عزیزم تقدیر و تشکر به عمل می آورم .

فهرست مطالب

عنوان	صفحه
چکیده	۱
مقدمه	۲

فصل اول: کلیات

۱-۱ هدف	۵
۱-۱-۱ اهداف کاربردی	۵
۱-۱-۲ پیشینه تحقیق	۵
۱-۳ سوالهای تحقیق	۱۰
۱-۴ ضرورت تحقیق	۱۱
۱-۵ روش اجرای تحقیق	۱۱
خلاصه فصل اول	۱۲

فصل دوم: ادبیات تحقیق

۱-۲ دیوار برشی	۱۴
۱-۱-۱ انواع دیوار برشی	۱۴
۱-۱-۲ نیروهایی که به دیوار برشی وارد می‌شوند	۱۶
۱-۲ تیرهای همبند در دیوار برشی کوپله	۱۶
۱-۲-۱ تیر همبند با آرماتور برشی معمولی	۱۶
۱-۲-۲ تیر همبند با آرماتور گذاری قطری	۱۶
۱-۲-۳ تیر همبند ساخته شده از بتون الیافی	۱۸
۱-۲-۴ تیر همبند فولادی- بتونی مرکب	۲۰

۲۱	۵-۲-۲ تیر همبند فولادی
	کلیات
۲۳	رفتار
۲۴	۳-۲ رفتار سیستم کوپله، تحلیل و ملاحظات طراحی [۱۰]
۲۸	۱-۳-۲ انتخاب نسبت پیوند
۲۹	۲-۳-۲ مدل های تحلیل برای دیوار برشی با تیر پیوندفلزی
۳۰	الف مدل قاب معادل
۳۲	ب مدل اجزاء محدود
۳۲	۳-۳-۲ روش های طراحی
۳۳	۱-۳-۳-۲ مدل دیوار و تیر پیوند
۳۴	۲-۳-۳-۲ ضریب افزایش مقاومت دیوار و تیر
۳۴	۳-۳-۳-۲ ترکیب بار طراحی
۳۵	۴-۳-۳-۲ محاسبه نیروهای HCWs
۳۵	۵-۳-۳-۲ معیارهای قابل قبول
۳۶	۴-۳-۲ فاصله سخت کننده ها.
۳۸	۴-۲ مطالعه آزمایشگاهی و عددی تیر پیوند بتن مسلح تقویت شده با پلیت فولادی. [۴]
۳۸	۱-۴-۲ تشریح نمونه آزمایش
۴۱	۲-۴-۲ نحوه انجام آزمایش
۴۳	۳-۴-۲ نتایج آزمایش
۴۳	۱- مقاومت و شکل پذیری
۴۴	۲- منحنی بار چرخش قطری
۴۶	۳- نمودار سختی نمونه ها
۴۷	۴- الگوی آسیب و ترک

۴۷	۵- رفتار پلیت خارجی فولادی.....
۵۰	۶- نیروی توزیع شده در بولتها.....
۵۲	۲- رفتار لرزه ای و طراحی تیرهای پیوند فولادی در دیوار برشی های دو گانه [۹].....
۵۲	۱-۵-۲ مقدمه
۵۴	۲-۵-۲ برنامه آزمایش
۵۴	الف- مشخصات نمونه ها.....
۵۵	ب- مشخصات مصالح.....
۵۷	ج - روش انجام آزمایش
۵۹	۳-۵-۳ نتایج آزمایش
۵۹	۱-الگوی ترک و پاسخ هیسترزیس.....
۶۰	۲-مشخصات سختی نمونه ها.....
۶۱	۳- جذب و استهلاک انرژی.....
۶۳	۴-۵-۲ روش طراحی
۶۳	الف- طراحی طول تیر پیوند برشی.....
۶۶	ب- طراحی طول مدفون تیر

فصل سوم: معرفی نرم افزار و صحت سنجی

۶۸	روش تحلیل مسائل مهندسی
۶۸	انتخاب نرم افزار ABAQUS
۶۹	۱- معرفی کلی نرم افزار
۷۰	۲- سیستم المان محدود ABAQUS
۷۱	۳-۱- معرفی منوی part
۷۲	۳-۲- تعیین خواص درمنوی property
۷۳	۳-۳- مونتاژ کردن قطعات درمنوی Assembly

۷۴	۴-۲-۳ تعریف نوع و گامهای تحلیل در منوی Step
۷۴	۵-۲-۳ مرحله تعریف خواص بر هم کنش Interaction
۷۵	۶-۲-۳ مرحله بارگذاری و ایجاد شرایط مرزی Load
۷۸	۷-۲-۳ مرحله مش بندي Mesh
۷۸	۸-۲-۳ مرحله پردازش مدل Job
۷۸	۹-۲-۳ نتایج تحلیل Visualization
۷۸	۳-۳ روش ایجاد مدل هندسی دیوار بتنی مورد مطالعه
۸۴	۴-۳ توصیف مدل المان محدود دیوار بتنی های مورد مطالعه
۸۶	۳-۳ خصوصیات مصالح استفاده شده در دیوار مورد مطالعه
۸۸	۶-۳ نتیجه گیری

فصل چهارم مدلسازی دیوار برشی بتنی با تیر پیوند فلزی

۹۳	مقدمه
۹۳	۱-۴ استفاده از نرم افزار SAP2000 جهت اطمینان از جاری شدن تیر پیوند
۹۵	۲-۴ ساخت مدل در محیط نرم افزار ABAQUS و انجام تحلیل پوش اور مقایسه پیوند بتنی و فلزی
۹۶	۳-۴ استفاده از مطالعات مشابه صورت گرفته روی تیر پیوند
۹۸	۴-۴ محاسبات مربوط به تیر پیوند و فواصل سخت کننده ها [۲۲]
۹۹	۵-۴ ساخت هندسه مدل
۹۹	۴-۵-۱ مشخصات مصالح مصرفی
۱۰۰	۴-۵-۲ نحوه مدلسازی بتن در ABAQUS
۱۰۱	۴-۵-۳ نمودار تنش -کرنش فولاد و میلگرد
۱۰۲	۴-۵-۴ مشخصات اجزاء و مقاطع قاب
۱۰۳	۴-۶ تحلیل پوش اور نمونه ها
۱۰۳	الف-ساخت هندسه مدل

۱۰۴.....	ب-تغییر شکل فاب تحت اعمال پوش
۱۰۵.....	۷- بدست آوردن تغییر مکان تسليم
۱۰۶.....	۸- استخراج پروتکل بار گذاری [۲۳]
۱۰۷.....	۹- بررسی رفتار لرزه ای نمونه ها
۱۰۷.....	۱۰- تنش و تغییرشکل نمونه با تیر پیوند یک و نیم متر
۱۰۹.....	۱۱- رسم منحنی های هیسترزیس نمونه ها
۱۱۵.....	۱۲- رسم منحنی های انرژی های داخلی و ورودی در مقابل جابجایی

فصل پنجم:نتیجه گیری و پیشنهادات

۱۱۶.....	۱- ارزیابی منحنی های بدست آمده تحت بار گذاری متناوب از فصل چهارم
۱۱۶.....	الف- بررسی منحنی پوش اور ^۱ برش پایه در مقابل جابجایی قاب
۱۱۶.....	ب- بررسی منحنی هیسترزیس ^۲ برش پایه در مقابل جابجایی قاب
۱۱۶.....	ج- بررسی منحنی هیسترزیس برش تیر پیوند در مقابل جابجایی قاب و مقایسه اتلاف انرژی
۱۱۷.....	د- بررسی مقدار انرژی تلف شده در قاب توسط تیر پیوند از مجموع انرژی وارد به سیستم
۱۱۸.....	۱۳- پیشنهاداتی برای آینده

فهرست تصاویر

۱۷.....	شکل ۱-۲ تیر همبند بتنی با آرماتور برشی قطری [۱۲]
۱۹.....	شکل ۲-۲ تیر همبند ساخته شده از بتنهای الیافی [۱۷]
۲۱.....	شکل ۲-۳ مقطع تیر همبند مرکب در دیوار برشی کوپله [۱]
۲۲.....	شکل ۲-۴ تیر همبند فولادی در دیوار برشی کوپله [۱۴]
۲۴.....	شکل ۲-۵ توزیع تنش در دیوار کوپله و تیر همبند [۲۱]
۲۴.....	شکل ۲-۶ خمس دو انحنایی در تیر همبند [۲۱]
۲۵.....	شکل ۲-۷ تغییر شکل دیوار برشی کوپله تحت اثر بار جانبی [۱۰]

..... ۲۶ شکل ۸-۲ تاثیر عمل پیوند بر جابجایی بام [۱۰]
..... ۲۶ شکل ۹-۲ تغییرات جابجایی دیوار برشی کوپله نسبت به تغییرات cr [۱۰]
..... ۲۸ شکل ۱۰-۲ وزن فولاد و بتن مورد نیاز بصورت تابعی از cr [۱۰]
..... ۲۹ شکل ۱۱-۲ تصویر شماتیک دیوار برشی کوپله با نسبت های پیوند متفاوت [۱۰]
..... ۳۰ شکل ۱۲-۲ روشها و اشکالی برای مدل کردن دیوار برشی دو گانه [۱۰]
..... ۳۱ شکل ۱۳-۲ مدل دیوار برشی کوپله ترکیبی HCW [۱۰]
..... ۳۹ شکل ۱۴-۲ ابعاد و آرماتور گذاری نمونه CB2,CB3 [۴]
..... ۴۰ شکل ۱۵-۲ پلیت فولادی و جزیيات قرار گیری بولتها [۴]
..... ۴۱ شکل ۱۶-۲ نحوه قرار گیری گیج ها در نمونه CB3 [۴]
..... ۴۲ شکل ۱۷-۲ تصویر نحوه آزمایش دیوار کوپله بتنی [۴]
..... ۴۲ شکل ۱۸-۲ تصویر نحوه آزمایش و بارگذاری دیوار برشی کوپله بتنی [۴]
..... ۴۵ شکل ۱۹-۲ پاسخ های هیسترتیک بار زاویه دوران [۴]
..... ۴۵ شکل ۲۰-۲ نمودار اتلاف انرژی [۴]
..... ۴۶ شکل ۲۱-۲ کاهش سختی نسبت به جابجایی [۴]
..... ۴۸ شکل ۲۲-۲ مدهای شکست نمونه ها [۴]
..... ۴۹ شکل ۲۳-۲ نیروهای داخلی مقطع در مقابل زاویه دوران [۴]
..... ۵۰ شکل ۲۴-۲ مدهای کمانش موضعی پلیت فولادی خارجی در CB2,CB3 [۴]
..... ۵۳ شکل ۲۵-۲ چندین نوع از تیرهای پیوند با جزیيات متفاوت [۹]
..... ۵۴ شکل ۲۶-۲ رفتار دیوار برشی کوپله دو گانه با چند درجه آزادی [۹]
..... ۵۶ شکل ۲۷-۲ جزیيات تیرهای پیوند و اتصال تیر به دیوار [۹]
..... ۵۷ شکل ۲۸-۲ مشخصات مصالح بتن و فولاد [۹]
..... ۵۸ شکل ۲۹-۲ روش آزمایش [۹]
..... ۵۸ شکل ۳۰-۲ تاریخچه بار گذاری [۹]

..... شکل ۳۱-۲ منحنی هیسترزیس بار-زاویه دوران [۹]	۵۹
..... شکل ۳۲-۲ توزیع انرژی ورودی در مقابل بار-زاویه دوران [۹]	۶۳
..... شکل ۳۴-۲ توزیع تنش در ناحیه اتصال تیر پیوند به دیوار [۹]	۶۴
..... شکل ۳۵-۲ طول موثر تیر کوپله [۹]	۶۶
..... شکل ۱۰-۳ انواع المان های مورد استفاده در مدل سه بعدی	۷۷
..... شکل ۱۱-۳ جزییات دیوار بتنی مورد مطالعه در مقاله مرجع و پروتکل بار گذاری [۸]	۷۹
..... شکل ۱۲-۳ ایجاد مدل هندسی دیوار بتنی در آباکوس.	۸۱
..... شکل ۱۳-۳ ایجاد مدل هندسی دیوار تیر در آباکوس.	۸۱
..... شکل ۱۴-۳ ایجاد مدل هندسی استاد بولت در آباکوس.	۸۲
..... شکل ۱۵-۳ ایجاد مدل هندسی نمونه ای از آرماتورها.	۸۲
..... شکل ۱۶-۳ مونتاژ مدل هندسی نهایی دیوار بتنی در آباکوس.	۸۳
..... شکل ۱۷-۳ مونتاژ مدل هندسی نهایی دیوار بتنی در آباکوس با جزییات.	۸۳
..... شکل ۱۸-۳ مدل المان محدود نهایی دوار بتنی در آباکوس.	۸۵
..... شکل ۱۹-۳ مدل المان محدود نهایی دوار بتنی در آباکوس با جزییات.	۸۵
..... شکل ۲۰-۳ اعمال خصوصیات فولاد در نرم افزار آباکوس.	۸۶
..... شکل ۲۱-۳ اعمال خصوصیات بتن در نرم افزار آباکوس.	۸۷
..... شکل ۲۲-۳ کانتور خرابی ترک خوردگی کششی در مدل	۸۸
..... شکل ۲۳-۳ کانتور خرابی ناشی از خرد شدگی فشاری	۸۸
..... شکل ۲۴-۳ مود خرابی مقاله مرجع [۸]	۸۹
..... شکل ۲۵-۳ کانتور تنش در سازه دیوار بتنی	۸۹
..... شکل ۲۶-۳ کانتور تنش در بخش های فولادی	۹۰
..... شکل ۲۷-۳ کانتور تنش در بخش هایی از دیوار بتنی	۹۰
..... شکل ۲۸-۳ نمودار هیسترزیس ایجاد شده در نرم افزار آباکوس.	۹۱

..... ۹۱	شكل ۳-۹ نمودار هیسترزیس مقاوه مرجع.
..... ۹۴	شكل ۴-۱ تشکیل مفصل خمی در ابتداو انتهای تیر پیوند.
..... ۹۴	شكل ۴-۲ تشکیل مفاصل برشی در ابتداو انتهای تیر پیوند.
..... ۹۵	شكل ۴-۳ مدلسازی قاب با تیر پیوند فلزی و بتنی.
..... ۹۶	شكل ۴-۴ منحنی پوش اور در حالت اعمال بار متتمرکز به قاب.
..... ۹۷	شكل ۴-۵ قاب با تیر پیوند فلزی با و بدون سخت کننده [۷].
..... ۹۷	شكل ۴-۶ منحنی هیسترزیس قاب با تیر پیوند فلزی با و بدون سخت کننده و مقایسه با پیوند بتنی [۷].
..... ۹۸	شكل ۴-۷ منحنی انرژی تلف شده در برابر جابجایی تجمعی [۷].
..... ۱۰۱	شكل ۴-۸ نمودار رفتار فشاری و کششی بتن [۲۴].
..... ۱۰۱	شكل ۴-۹ نمودار تنش -کرنش فولاد.
..... ۱۰۲	شكل ۴-۱۰ نمودار تنش-کرنش میلگردها.
..... ۱۰۳	شكل ۴-۱۱ مدلسازی قاب با تیر پیوند فلزی به طول دومتر.
..... ۱۰۳	شكل ۴-۱۲ مدلسازی قاب با تیر پیوند فلزی به طول یک متر.
..... ۱۰۴	شكل ۴-۱۳ تغییر شکل قاب با تیر پیوند دو متری تحت پوش.
..... ۱۰۴	شكل ۴-۱۴ تغییر شکل قاب با تیر پیوند یک متری تحت پوش.
..... ۱۰۵	شكل ۴-۱۵ منحنی پوش اور (برش در مقابل جابجایی) تیر پیوند یک و دو متر.
..... ۱۰۵	شكل ۴-۱۶ پرو تکل بار گذاری به نقل از [۲۳]. ATC24
..... ۱۰۶	شكل ۴-۱۷ بار گذاری متناوب قاب با طول تیر پیوند دو و نیم متر.
..... ۱۰۶	شكل ۴-۱۸ بار گذاری متناوب قاب با طول تیر پیوند نیم متر.
..... ۱۰۷	شكل ۴-۱۹ مقادیر جابجایی کلی نمونه یک و نیم متر.
..... ۱۰۷	شكل ۴-۲۰ مقادیر تنش ون مایزدیوار نمونه یک و نیم متر.
..... ۱۰۸	شكل ۴-۲۱ مقادیر تنش ون مایزتیر رابط نمونه یک و نیم متر.
..... ۱۰۸	شكل ۴-۲۲ مقادیر تنش ون مایز آرماتور ها در نمونه یک و نیم متر.

۱۰۸.....	شکل ۲۳-۴ مقادیر جابجایی قائم تیر رابط یک و نیم متری
۱۱۰.....	شکل ۲۴-۴ منحنی های هیسترزیس نمونه CB1
۱۱۱.....	شکل ۲۵-۴ منحنی های هیسترزیس نمونه CB2
۱۱۲.....	شکل ۲۶-۴ منحنی های هیسترزیس نمونه CB3
۱۱۳.....	شکل ۲۷-۴ منحنی های هیسترزیس نمونه CB4
۱۱۴.....	شکل ۲۸-۴ منحنی های هیسترزیس نمونه CB5
۱۱۵.....	شکل ۲۹-۴: منحنی های انرژی ورودی کلی و اتلاف انرژی CB1
۱۱۵.....	شکل ۳۰-۴: منحنی های انرژی ورودی کلی و اتلاف انرژی CB5
۱۱۶.....	شکل ۳۱-۴: نمودار میله ای اتلاف انرژی CB5,CB1
۱۱۶.....	شکل ۳۲-۴: منحنی های اتلاف انرژی در تیر پیوند CB5 و CB1
۱۱۶.....	شکل ۳۳-۴: منحنی های انرژی ورودی CB1 و CB5

فهرست جداول

۳۳.....	جدول ۱-۱ ضرایب ترک خوردگی برای دیوار [۱۰]
۳۹.....	جدول ۲-۱-جزیيات تیر پیوند [۴]
۳۹.....	جدول ۲-۲ خواص بتن [۴]
۳۹.....	جدول ۲-۳ خواص فولاد [۴]
۴۴.....	جدول ۲-۴ نتایج آزمایش دیوار کوپله بتن [۴]
۵۱.....	جدول ۲-۵ نتایج آزمایش دیوار کوپله بتن [۴]
۵۱.....	جدول ۲-۶-الف نیروی توزیع شده در نمونه CB2 [۴]
۵۱.....	جدول ۲-۶-ب نیروی توزیع شده در بولت ها در نمونه CB3 [۴]
۵۴.....	جدول ۲-۷ مشخصات نمونه های آزمایش [۹]
۵۵.....	جدول ۲-۸-جزیيات نمونه های آزمایش [۹]
۵۵.....	جدول ۲-۹ مشخصات بتن و فولاد [۸]

جدول ۱-۳ خواص آرماتورها [۸]	۸۰
جدول ۲-۳ خواص بتن [۸]	۸۰
جدول ۳-۳ جزییات نمونه ها [۸]	۸۰
جدول ۴-۱ مشخصات مکانیکی آرماتور و فولاد در این تحقیق	۱۰۰
جدول ۴-۲ مشخصات فشاری بتن در این تحقیق	۱۰۰
جدول ۴-۳ مشخصات مقاطع و پروفیل و میلگردمورد استفاده در قاب در این تحقیق	۱۰۲

منابع و مأخذ

چکیده

از آنجا که در بین سیستم‌های مختلف مقاوم در برابر نیروهای جانبی، دیوارهای برشی از سختی مناسبی برخوردار هستند، کاربرد و طراحی آنها در سازه‌های بلند گسترش یافته و نیازهای معماری و تاسیساتی ولزوم منظور نمودن بازشویی بصورت مرتب در ارتفاع دیوار برشی، استفاده از دیوارهای برشی کوپله (Coupled shear wall) را بسیار متداول نموده است. در دیوار برشی کوپله، دو دیوار برشی مجزا توسط تیرهای همبند، به هم متصل می‌شوند. تیر همبند در دیوار برشی کوپله به عنوان خط اول دفاع بوده و همچون فیوز برشی عمل مینماید و اولین مفصل پلاستیک در آن تشکیل می‌شود، بنابراین رفتار مناسب آن جهت بهبود عملکرد سازه در برابر زلزله دارای اهمیت زیادی می‌باشد. عمل پیوند با نسبت دهانه به عمق کم باعث کاهش مقاومت برشی می‌شود و طراحان برای حل این مشکل از آرماتورهای مورب طبق آیین نامه بتن آمریکا (ACI 2005) در مجاورت تیر پیوند استفاده می‌کنند با توجه به پیچیده و زمان بر بودن ساخت واجرای آرماتورهای قطری در تیرهای همبند بتنی، استفاده از تیرهای همبند فولادی، فولادی- بتنی (مرکب) و تیرهای همبند بتنی ساخته شده از الیاف برشی HPFRCC جایگزین مناسبی برای این تیرها می‌باشند. تاکنون آزمایش‌های متعددی بر روی سیستم دیوار کوپله انجام شده است.

در این پایان نامه ابتدا مراحل محاسباتی دیوار و تیر پیوند ارائه می‌شود و سپس به بیان چند نمونه آزمایشگاهی که توسط چند محقق انجام شده است می‌پردازیم، سپس برای صحت مدل‌های اجزاء محدود یک مدل آزمایشگاهی موجود بر گرفته از مقالات معتبر با نرم افزار ABAQUS مدل‌سازی شده و با نتایج آزمایشگاهی مقایسه می‌شود. در ادامه با استفاده از مطالعات انجام شده بهبود رفتار سیستم با تیر پیوند نسبت به سیستم بدون تیر پیوند وعلاوه بر آن مزایای استفاده از تیر پیوند فولادی نسبت به تیر پیوند بتنی بررسی می‌شود و در نهایت با مدل سازی تیر پیوند فلزی که در این صورت سیستم به یک سیستم دو گانه (HCW) تبدیل می‌شود به مقایسه منحنی‌های هیسترزیس از مد برشی تا مد خمشی با افزایش

طول تیر پیوند بر حسب ملاحظات معماری پرداخته میشود و رسیدن به این مطلب که در عملکرد برشی تیر پیوند جذب و اتلاف انرژی بیشتر و منحنی هیسترزیس مطلوب تری به دست خواهد داد هدف ما است.

مقدمه

ایجاد باز شو به صورت ردیف قائم در یک دیوار برشی، دیوار را به دو دیوار موازی تقسیم می کند که توسط تیرهایی در تراز طبقات به هم متصل میشوند چنان دیوارهایی دیواربرشی کوپله نامیده میشود.

همانطور که بر تمامی متخصصین امر روشن است در اجرای ساختمان‌های بتی قاب خمشی با دیوار برشی عمدۀ مشکل هم در طراحی و هم اجرا احداث باز شو در دیوار برشی است به لحاظ قالب بندی پیچیده و نیاز به آرماتور گذاری‌های ویژه اگر بتوان با تمهیداتی با دیوار باز شو دار مانند قالب بندی ستون عمل کرد و با قرار دادن صفحات فولادی با بولت در جدار دیوار بعدها تیر پیوند را که جزئی از قاب بتی است اجرا نمود و یا اینکه همزمان با اجرای دیوار تیر فلزی را ضمن تأمین طول گیرایی مورد نیاز کار نمود، این موضوع صرفه جویی در زمان و هزینه‌ها خواهد داشت. و نیز با شکل پذیر نمودن سازه تیر پیوند به عنوان فیوز عمل کرده و ضمن پذیرفتن تغییر شکل‌های زیاد وارد محدوده غیر ارجاعی شده و در مستهلک نمودن انرژی بسیار مؤثر و ضمناً بعد از وقوع زلزله قابل ترمیم خواهد بود.

با نیروهای جانبی مؤثر بر یک سازه (در اثر باد یا زلزله) به طرق مختلف مقابله میشود که اثر زلزله بر ساختمان‌ها از سایر اثرات وارد بر آن‌ها کاملاً متفاوت می‌باشد. ویژگی اثر زلزله در این است که نیروهای ناشی از آن به مراتب شدیدتر و پیچیده تر از سایر نیروهای مؤثر می‌باشند. عناصر مقاوم در مقابل نیروهای فوق شامل قاب خمشی، دیوار برشی و یا ترکیبی از آن دو می‌باشند. استفاده از قاب خمشی به عنوان عنصر مقاوم در مقابل نیروهای جانبی بخصوص اگر نیروهای جانبی در اثر زلزله باشند احتیاج به جزئیات خاصی دارد که شکل پذیری کافی قاب را تأمین نماید. این جزئیات از لحاظ اجرایی غالباً

دست و پاگیر بوده و در صورتی می‌توان از اجرای دقیق آن‌ها مطمئن شد که کیفیت اجرا و نظارت در کارگاه خیلی بالا باشد از لحاظ برتری می‌توان گفت که دیوار برشی اقتصادی تر از قاب می‌باشد و تغییر مکان‌ها را کنترل می‌کند ضمن اینکه برای سازه‌های بلند قاب به تنها‌بی نمی‌تواند در این زمینه جوابگو باشد. دیوارهای برشی دارای بازشو نیز چنانچه به نحو مناسبی طراحی و آرماتورگذاری شده باشند، رفتار شکل پذیر مناسب و خاصیت استهلاک انرژی بالایی دارند که به همین دلیل توصیه می‌شود تا حد امکان از آن‌ها در ساختمان‌ها استفاده شود. این دیوارها در واقع مرکب از دو یا چند دیوار هستند که توسط تیرهای کوپله به یکدیگر متصل شده‌اند و تیرهای کوپله برای مدلسازی کامپیوتراً بازشوها در دیوارهای برشی استفاده می‌شود. اندر کنش قائم ناشی از تیرهای اتصالی در دیوار برشی کوپله به ابعاد تیرها و نحوه اتصال آنها بستگی دارد وجود تیرهای اتصالی باعث افزایش سختی جانبی و کاهش تنش در دیوار می‌شود و هرچه سختی تیرها بیشتر باشد سهم نیروی محوری دیوارها در تحمل بارهای جانبی افزایش می‌یابد برای ساده سازی تحلیل می‌توان از تیر پیوند صرفنظر کرد و هر دیوار کوپله را مستقل در نظر گرفت که این باعث غیر اقتصادی شدن طرح می‌شود.

فرایند عمده تحقیق را می‌توان احداث دیواری با سختی مورد نیاز مجموعه حتی بیشتر از مجموع سختی دو دیوار بدون تیر پیوند ضمن امکان شکل پذیری زیاد و مستهلك نمودن بیشتر نیروی زلزله و کاهش ممان وارده بر دیوار و در نتیجه کاهش جابجایی نسبی طبقات با امکان تعویض فیوز بعد از وقوع مفصل پلاستیک و خرابی در زلزله نام برد. در این تحقیق به ارزیابی رفتار غیرارتجاعی سیستم دیوار برشی کوپله بتن مسلح با تیرپیوند فولادی در قاب خمشی بتی دریک قاب یک دهانه از ساختمان مسکونی یک طبقه با استفاده از نرم افزار SAP 2000 جهت اطمینان از جاری شدن مقطع تیر پیوند و سپس بررسی دقیق تحت بارهای رفت و برگشت توسط نرم افزار المان محدود ABAQUS پرداخته شده است.

فصل اول

کلیات تحقیق

۱-۱ هدف:

هدف از انجام این مطالعات ارزیابی رفتار غیر ارجاعی سیستم دیوار برشی کوپله بتن مسلح با تیر پیوند فولادی در قاب خمشی بتنی با اطمینان از جاری شدن مقطع تیر پیوند با یک تحلیل پوش اور در برنامه SAP2000 ورسم منحنی نیرو در مقابل جابجایی سیستم دیوار برشی کوپله با تیر پیوند فولادی در مقایسه با تیر پیوند بتنی و بدست آوردن تغییر مکان هدف وبا استفاده از آن بدست آوردن پروتکل بارگذاری از ATC24 و اعمال این پروتکل وبارگذاری سیکلینگ بر قاب با نرم افزار المان محدود آباکوس و بررسی نتایج در طول تیر پیوند های مختلف می باشد .

۱-۱-۱. اهداف کاربردی

الف. شهرداری ها

ب. مهندسین عمران

ج. دانشگاهها و مراکز تحقیقاتی

د. سازمان مسکن و نوسازی

۱-۲. پیشینه تحقیق:

مطالعات نیم قرن گذشته برروی سیستم دیوارهای پیوند نشان می دهد که کارایی سازه به طور زیادی متأثر از مقدار پیوند است. اگر چه اکثر این مطالعات برروی سیستم بتنی بوده است رفتار و مکانیسم سیستم HCW نیز شبیه سیستم بتنی است . مطالعات و تحقیقات نیم قرن اخیر در مورد دیوار برشی کوپله منجر به استفاده از تیرهای پیوند فولادی به جای تیرهای مرسوم بتنی شده است. مطالعات گذشته در مورد تیر پیوند فولادی در دیوار برشی صورت گرفته مربوط به Harries(1998,2000) Shahroo (1993)

و(2001 Gong and Shahrooz) ومجموعه ای تحت عنوان پیشنهادهایی برای طراحی لرزه ای
AMERICAN SOCIETY OF CIVIL ENGINEERS STRUCTURAL ENGINEERING
INSTITUTE) است.

شهروز و گانگ [۱] تحقیقاتی بر روی عملکرد تیر همبند فولادی که درون هسته‌ی بتنی محصور قرار گرفته انجام دادند. این تحقیقات شامل دو قسمت تحلیلی و آزمایشگاهی بود. در بخش آزمایشگاهی این تحقیقات، تستهایی بر روی تیرهای همبند با مقیاس یک دوم که به دیوار برشی بتنی متصل شده اند صورت گرفت. نتایج حاصل نشان داد که هسته‌ی بتنی قرار گرفته در اطراف تیر همبند فولادی میزان سختی تیر را افزایش داده و همچنین از ناپایداری جان و بال تیر همبند جلوگیری نمی‌نماید. همچنین نشان دادند که طراحی ناحیه‌ی قرارگیری تیر همبند مرکب درون دیوار برشی بتنی باید برای تحمل برش ناشی از تیرفولادی و هسته‌ی بتنی صورت بگیرد زیرا در صورتی که تنها برش حاصل از تیر همبند فولادی (بدون در نظر گرفتن هسته‌ی بتنی) برای طراحی ناحیه‌ی اتصال مد نظر قرار گیرد بخش عمدی ای از جذب انرژی در ناحیه‌ی اتصال و با ایجاد تغییر شکلهای غیر ارجاعی در این ناحیه اتفاق می‌افتد که در مقایسه با جذب انرژی توسط خود تیر مطلوب نمی‌باشد

پاولی و همکاران [۲] در سال ۲۰۰۲ به بررسی شکل پذیری دیوارهای کوپله پرداخت و به این نتیجه رسید که دیوارهای کوپله محسن ویژه‌ای دارند که عبارت‌اند از:

- کنترل تغییر مکان بسیار عالی دارند.
- یک سیستم کوپله قوی، امکان استفاده از دیوارهای لاغر بدون به خطر اندختن حدود مجاز تغییر شکل نسبی طبقات را فراهم می‌نماید.
- حدود تغییر شکل‌ها در خلال یک پاسخ شکل پذیر، متأثر از مدهای دینامیکی بالاتر نمی‌باشد.

• با یک آرماتورگذاری مناسب و کافی، میرایی هیسترتیک بزرگتری نسبت به ساختمان‌های

سننی با دیوار برشی از خود نشان می‌دهد

وانگ و همکاران [3] در سال (۲۰۰۴) به بررسی تأثیر ارتفاع تیر کوپله و درصد آرماتور برشی آن در آزمایشگاه پرداختند و به این نتیجه رسیدند که تیرهای کوپله با نسبت دهانه به ضخامت کمتر از ۲ شبیه تیرهای عمیق رفتار می‌کنند و در برش دچار شکست می‌شوند. همچنین به این نتیجه رسیدند که تیرهای کوپله با درصد آرماتور برشی کمتر دچار گسیختگی برشی-کششی می‌شوند اما نمونه‌های با آرماتور برشی بیشتر، اغلب دچار گسیختگی لغوشی-برشی می‌شوند و دارای شکستی ترد هستند.

R.K.L. Su, Y. Zhu[4] در سال ۲۰۰۵ به بررسی روشی برای تقویت تیرهای پیوند بتنی میپردازد در این بررسی ابتدا دیوار برشی با تیرپیوند بتنی و چندنمونه تقویت شده با پلیت فولادی را تحت بارگذاری قرار می‌دهد و در انتها نتایج را با هم مقایسه میکند. در نتیجه این آزمایش تیرهای پیوند با رفتار برشی برای بهسازی و مقاوم سازی نسبت به تیرهای بارفتار خمی مناسب تر هستند.

در مطالعه مربوط [5] Wan-Shin Park, Hyun-Do Yun در سال ۲۰۰۵ و همچنین مربوط به در سال ۲۰۰۶ به بررسی مقاومت برشی اتصال بین تیر پیوند Park Wan-Shin, Yun Hyun-Do [6] فولادی و دیوار برشی بتنی میپردازد. در این مطالعه با توجه به آزمایشهای انجام گرفته بر روی نمونه های آزمایش و بدست آوردن توزیع تنش در اتصال وبا توجه به توزیع تنش فرض شده در ناحیه اتصال به محاسبه طول مهاری مورد نیاز می‌پردازد. در محاسبه طول مهاری میزان مشارکت آرماتورهای موجود در اتصال نیز مورد بررسی قرار میگیرد. و نتیجه گیری میشود که در یک طول تیر پیوند یکسان و طول فورفتگی ثابت تیر در دیوار وجود استاد بولت ها و خاموتهاي دورگيری استاد بولت ظرفیت اتصال و جذب انرژی در آنرا هریک پانزده درصد بالا میبرد. و باعث افزایش سختی سکانتی میشود.

در سال MAHMOOD HOSSEINI^{1a}, HOSSEIN SADEGHI² AND SEIDALI HABIBY^{2[7]}

۲۰۱۱ به بررسی و مقایسه رفتار تیر پیوند بتنی و فولادی با و بدون سخت کننده در دیوار برشی کوپله تحت بار سایکلینگ پرداختند و به این نتیجه رسیدند که با فولادی نمودن تیر پیوند ظرفیت جذب انرژی تیر در تغییر شکل یکسان تا سه برابر افزایش می یابد اما وجود سخت کننده برشی در تیر پیوند فولادی تا ده درصد جذب انرژی را بالا می برد.

در مطالعه Wan-Shin Park, Hyun-Do Yun [8] در سال ۲۰۰۵ و همچنین Wan-Shin Park , Hyun-Do Yun [9]

در سال ۲۰۰۶ به بررسی رفتار و طراحی تیرهای پیوند فولادی پرداخته شده است. در این موارد نیز چند نمونه با مشخصات متفاوت تحت آزمایش قرار گرفته اند و با توجه به نتایج و ملاحظات طراحی وفرض توزیع تنش در ناحیه اتصال از روی تنش واقعی طول مهاری موردنیاز بدست می آید.

حجازی و رئیسی [15] در سال ۱۳۹۳ به بررسی محاسبه ضریب رفتار برای سازه‌های قاب خمشی بتنی با دیوار برشی جفت و تیرهای مزدوج فلزی و مقایسه آن با سازه‌های قاب خمشی بتنی با دیوار برشی پرداختند. نتایج این بررسی نشان داد که در سازه‌هایی که در دیوارهای برشی آن‌ها از تیر مزدوج فلزی استفاده می‌شود و ملزمات طراحی این تیرها رعایت می‌شود، همواره سازه رفتار بهتری به لحاظ توزیع نیروهای ناشی از زلزله در اعضاء خود نشان می‌دهد؛ به گونه‌ای که ترتیب سختی و نرمی اعضا در تسليمهای پلاستیک رعایت شده و تیرهای مزدوج فلزی نقش عضو (یا حلقه) ضعیف را پذیرفته و اولویت سختی به ترتیب برای تیرها و ستون‌ها و در آخر دیوارهای برشی، افزایش می‌یابد. این رویکرد برای مدل طراحی ۵ طبقه نشان داده شد برای سازه‌هایی با ارتفاع کمتر مؤثرتر است.

صفاری و قهرمانی [16] در سال ۱۳۸۱ به این نتیجه رسیدند که افزایش ارتفاع تیر کوپله باعث افزایش مقاومت نهایی می‌گردد اما در صورتیکه ارتفاع تیر کوپله بیش از حدود ۳۳٪ ارتفاع طبقه گردد، تأثیر زیادی در مقاومت نهایی دیوار ندارد و شکل پذیری را نیز کاهش می‌دهد.

ایمان امیری سواد رودباری [17] در سال ۱۳۹۰ با بررسی آزمایشگاهی و عددی رفتار برشی و خمشی تیرهای کوپله بتنی ساخته شده با بتنهای الیافی توانمند HPFRCC در دیوار برشی کوپله، به نتایج زیر دست یافت.

افزایش٪ ۱۵ مقاومت نهایی در نمونه ساخته شده با بتن الیافی نسبت به نمونه ساخته شده با بتن معمولی. افزایش مقاومت برشی و خمشی در نمونه ساخته شده با بتن الیافی نسبت به نمونه ساخته شده با بتن معمولی. امکان کاهش٪ ۳۰ میزان آرماتورهای قطری در نمونه ساخته شده با بتن الیافی نسبت به نمونه ساخته شده با بتن معمولی. افزایش میزان جذب انرژی در نمونه ساخته شده با بتن الیافی نسبت به نمونه ساخته شده با بتن معمولی.

سامان امیری سواد رودباری، خسرو برگی ایمان امیری سواد رودباری [18] در سال ۱۳۹۲ به این نتیجه رسیدند که تیر همبند فولادی، فولادی- بتنی (مركب) و تیر همبند ساخته شده با بتنهای الیافی توانمند باعث افزایش قابلیت شکل پذیری و جذب انرژی در سازه های بتن آرمه میشوند. نقطه ای که تیر همبند فولادی در درون دیوار ثابت میماند، در درون دیوار و به فاصله‌ی تقریبی یک سوم طول قرار گیری تیر در دیوار از وجه خارجی دیوار برشی قرار دارد. هسته‌ی بتنی قرار گرفته در اطراف تیر همبند فولادی میزان سختی تیر را افزایش داده و همچنین از ناپایداری جان و بال تیرهای همبند جلوگیری مینماید. در تیرهای همبند ساخته شده با بتنهای الیافی توانان به میزان٪ ۳۰ از آرماتورهای قطری کاست. جهت دستیابی به تغییر شکل های بالاتر مورد نیاز، آرماتورهای قطری در تیرهای همبند ساخته شده با الیاف HPFRCC موردنیاز می باشد ولی می توان تنگ های مربوطه (خاموت های مارپیچ آرماتورهای قطری) را حذف نمود

ناصر شابختی، علی حشمی سعادتی [19] در سال ۱۳۸۷ به نتیجه رسیدند که میزان آرماتور طولی بکار رفته در دیوارها خصوصا در سازه های مرتفع، تاثیر مهمی بر مقاومت و شکل پذیری آنها دارد،

بنحویکه دیوارهای با درصد آرماتور کمتر با افزایش برش پایه، سریعاً دچار شکست کششی در تراز پی و طبقات پایین می‌شوند ولی در دیوارهای با درصد آرماتور بیشتر، پایه هابخوبی در مقابل کشش مقاومت می‌کنند تا اینکه تیرهای کوپله دچار شکست می‌شوند. افزایش بار قائم روی دیوارها موجب می‌شود که پایه‌های دیوار در هنگام زمین لرزه، دیرتر به حد جاری شدن برسند و این امر عملکرد غیرخطی دیوار را بهبود می‌بخشد.

ضعف اصلی در دیوارهایی که آرماتور طولی مناسبی دارند در تیرهای کوپله است که غالباً دچار شکست برشی - لغزشی می‌شوند و افزایش بیش از حد آرماتور برشی تاثیر قابل توجهی بر مقاومت برشی آنها نمی‌گذارد و موجب ترد شکنی نیز می‌شود. چنانچه دیوارهای برشی دارای بازشو به نحوی طراحی شوند که تیرهای کوپله قبل از دیوارها جاری شوند، این تیرها نه تنها نقطه ضعف دیوارها نیستند بلکه در مقابل بارهای جانبی بزرگ، به منزله فیوز عمل می‌کنند و قبل از آنکه دیوار که وظیفه انتقال بار جانبی و قائم را دارد صدمه قابل توجهی ببیند می‌شکنند، که این خود موجب استهلاک انرژی زیاد و شکل پذیری بالاتر در حرکات رفت و برگشتی در طی زلزله می‌شود که ویژگی بسیار مطلوبی در رفتارسازه است.

۱-۳. سوال‌های تحقیق:

۱. این امر باعث بهبود رفتار سازه خواهد شد یا خیر؟
۲. قاب را اقتصادی تر خواهد نمود یا خیر و تأثیر در کل سازه به چه شکل خواهد بود؟
۳. احتمال ترک خوردگی در دیوار را تقویت خواهد نمود یا خیر؟
۴. بر سختی و تغییر شکل و میزان باربری قاب تا چه حد تأثیر گذار خواهد بود؟
۵. منحنی نیروی برشی در مقابل جابجایی در مقایسه با تیر پیوند بتنی با همین ابعاد به بالا شیفت پیدا خواهد کرد یا خیر؟
۶. می‌توان با استفاده از پوش اور خاصل ضریب رفتار را بدست آورد؟

۷. به لحاظ قالب بندی تا چه اندازه صرفه جویی در هزینه وزمان و چه میزان ازمشکلات اجرایی می‌کاهد؟
۸. بعد از وقوع خرابی در تیر پیوند تاچه حドروی قابلیت تعویض آن می‌توان برنامه ریزی نمود؟
۹. طول مهاری تیر چه میزان خواهد بود؟
۱۰. اتصال تیر با دیوار از مفصلی تاخمشی کامل بر رفتار دیوار برشی چه تاثیری خواهد داشت؟
۱۱. عمق تیر فلزی در مقایسه با تیر پیوند بتنی چگونه تغییر می‌نماید؟
۱۲. آیا شکل مقطع فلزی در عملکرد مؤثر است یا خیر؟

۱-۴. ضرورت تحقیق:

فرآیند عمده تحقیق را می‌توان احداث دیواری با سختی مورد نیاز مجموعه بر اساس ملاحظات معماری ضمن امکان شکل پذیری زیاد و مستهلك نمودن بیشتر نیروی زلزله و کاهش ممان وارده بر دیوار و در نتیجه کاهش جابجایی نسبی طبقات با امکان تعویض فیوز بعد از وقوع مفصل پلاستیک و خرابی در زلزله نام برد.

۱-۵. روش اجرای تحقیق

در این مطالعه ابتدا روش‌های طراحی سیستم مد نظر قرار گرفته است و روش‌های طراحی و همچنین RECOMMENDATIONS FOR SEISMIC DESIGN OF WALL) ملاحظات طراحی AMERICAN SOCIETY OF CIVIL ENGINEERS (HYBRID COUPLED STRUCTURAL ENGINEERING INSTITUTE که یکی با عنوان مطالعه آزمایشگاهی و عددی تیر پیوند بتن مسلح تقویت شده با پلیت‌های خارجی است که یک روش برای مقاوم سازی تیرهای پیوند بتنی است ارائه شده است. در ادامه یک مدل آزمایشگاهی دیگر تحت عنوان رفتار لزه‌ای و طراحی تیرهای پیوند فولادی در دیوار برشی‌های پیوند ترکیبی ارائه شده است.

در فصل سوم به معرفی نرم افزار و بررسی صحت مدلسازی عددی توسط نرم افزار با استناد به مقاله مرجع [8] با یک دیوار برشی کوپله بتنی و تیرپیوند فولادی تحت بارگذاری متناوب^۱ پرداخته شد و بعد از آن نتایج بدست آمده از مدلسازی با برنامه آباکوس (ABAQUSE) با نتایج آزمایشگاهی قیاس شد.

بعد از بررسی صحت مدلسازی، با آنالیز استاتیکی غیرخطی یا تحلیل پوش اور توسط نرم افزار SAP 2000 روی دیوار برشی کوپله با مشخصات اجرایی عمومی به انتخاب مقطع تیر پیوند تحت یک پوش دو درصد ارتفاع یا شش سانتی متر و اطمینان از جاری شدن مقطع تحت آنالیز پوش اور میپردازیم.

در مرحله بعد نمونه دیوار برشی کوپله با تیر پیوند فولادی که نتایج آزمایشگاهی آن موجود بود و مدلسازی SAP 2000 از جاری شدن تیر پیوند آن اطمینان حاصل شده بود را مجدد با نیز شده بود و با نرم افزار ABAQUS این بار ۴٪ ارتفاع یعنی ۱۲ سانتی متر پوش میدهیم و بعد از دو خطه کردن منحنی پوش به استخراج تنش تسلیم و از آنجا از ATC24 پروتکل بار گذاری استخراج و به ازای طولهای متفاوت تیر پیوند از مد برشی تاخمی در ۵ نمونه سازه را تحت بار سایکلینگ در فصل چهارم قرار داده و به رسم نمودهای لازم و مقایسه و بررسی نتایج در فصل پنجم میپردازیم.

استفاده از منابع تحلیل و طراحی عمرانی با بهره گیری از نرم افزار EATABS و SAP 2000 با تکیه بر نرم افزار المان محدود ABAQUS و سایر برنامه‌ها و نرم افزارهای جانبی جهت تایپ و ترسیم از خانواده OFFICE را میتوان مختصراً روش اجرای تحقیق معرفی نمود.

خلاصه فصل:

در این فصل به بررسی و معرفی پیشینه تحقیق، اهمیت و ضرورت انجام تحقیق، هدف از اجرای تحقیق و در کل به کلیات اجرای تحقیق پرداخته شده است.

1:Cycling

فصل دوم

ادبیات تحقیق

مقدمه

در فصل دوم به بررسی ادبیات تحقیق که شامل تعاریف، مفهوم متغیرها، مسائل و مشکلات اجرای هر کدام از متغیرها در اجرای طرح و اجرای سازه‌های فلزی و بتنی پرداخته می‌شود.

۲-۱. دیوار برشی

با نیروهای جانبی مؤثر بر یک سازه (در اثر باد یا زلزله) به طرق مختلف مقابله می‌شود که اثر زلزله بر ساختمان‌ها از سایر اثرات وارد بر آن‌ها کاملاً متفاوت می‌باشد. ویژگی اثر زلزله در این است که نیروهای ناشی از آن به مرتب شدیدتر و پیچیده‌تر از سایر نیروهای مؤثر می‌باشند. عناصر مقاوم در مقابل نیروهای فوق شامل قاب خمشی، دیوار برشی و یا ترکیبی از آن دو می‌باشند. استفاده از قاب خمشی به عنوان عنصر مقاوم در مقابل نیروهای جانبی بخصوص اگر نیروهای جانبی در اثر زلزله باشند احتیاج به جزئیات خاصی دارد که شکل پذیری کافی قاب را تأمین نماید. این جزئیات از لحاظ اجرایی غالباً دست و پاگیر بوده و در صورتی می‌توان از اجرای دقیق آن‌ها مطمئن شد که کیفیت اجرا و نظارت در کارگاه خیلی بالا باشد از لحاظ برتری می‌توان گفت که دیوار برشی اقتصادی تر از قاب می‌باشد و تغییر مکان‌ها را کنترل می‌کند در حالی که برای سازه‌های بلند قاب به تنها‌یی نمی‌تواند در این زمینه جوابگو باشد.

۲-۱-۱. انواع دیوار برشی

الف. دیوارهای برشی فولادی: بعضی مواقع ورقهای فولادی به عنوان دیوارهای برشی بکار می‌روند. برای جلوگیری از کما نش موضعی چنین دیوارهای برشی فولادی لازم است از تقویت کننده‌های قائم و افقی استفاده شود.

ب. دیوارهای برشی مرکب: دیوارهای برشی مرکب شامل: ورق‌های تقویت شده فولادی مدفون در بتن مسلح، خرپاهای ورق فولادی مدفون در داخل دیوار بتن مسلح و دیوارهای مرکب ممکن دیگر، که تماماً با یک قاب فولادی و یا با یک قاب مرکب تؤام هستند می‌شود.

ج. دیوارهای برشی مصالح بنایی: از دیر زمان در ساختمان‌های مصالح بنایی از دیوارهای مصالح بنایی توپر غیر مسلح استفاده می‌شده است که این دیوارها از نقطه نظر مقاومت در مقابل زلزله ضعف دارند و لذا اکنون به جای آن‌ها از دیوارهای برشی مسلح نظیر دیوارهای با آجر تو خالی و پر شده با دوغاب استفاده می‌شود.

د. دیوارهای برشی بتن مسلح: نوع دیگری از دیواهای برشی، دیوارهای برشی بتن مسلح است که در این مقاله به آن می‌پردازیم. یکی از مطمئن‌ترین روش‌ها برای مقابله با نیروهای جانبی استفاده از دیوار برشی بتن مسلح است. دیوار برشی به عنوان یک ستون طره بزرگ و مقاوم در برابر نیروهای لرزه‌ای عمل می‌کند و یک عضوضروری برای سازه‌های بتن مسلح بلند و یک عضو مناسب برای سازه‌های سازه‌های متوسطکوتاه می‌باشد.

دو نوع دیوار برشی بتن مسلح وجود دارد:

الف: دیوار برشی در جا

در دیوار برشی در جا به منظور حفظ یکنواختی و پیوستگی میلگرددهای دیوار، به قاب محیطی قلاب می‌شوند.

ب: دیوار برشی پیش ساخته

در دیوارهای برشی پیش ساخته یکنواختی و پیوستگی با تهیه کلیه‌های ذوزنقه شکل در طول لبه‌های پانل و یا از طریق اتصال پانل‌ها به قاب توسط میخ‌های فولادی صورت می‌گیرد. تأثیر شکل دیوار: تعییه بال در دیوارها برای پایداری و شکل پذیری سازه بسیار مفید می‌باشد.

۲-۱-۲. نیروهایی که به دیوارهای برشی وارد می‌شوند

۱- نیروی برشی متغیر که مقدار آن در پایه حداکثر می‌باشد.

۲- لنگر خمی متغیر که مقدار آن مجدداً در پای دیوار حداکثر است و ایجاد کشش در یک لبه (لبه نزدیک به نیروها) و فشار در لبه متقابل می‌نماید با توجه به امکان عوض شدن جهت نیروی باد یا زلزله در ساختمان، کشش باید در هر دو لبه دیوار در نظر گرفته شود.

۳- نیروی محوری فشاری ناشی از وزن طبقات که روی دیوار برشی تکیه دارد.

توجه: در صورتی که ارتفاع دیوار برشی کم باشد، غالباً نیروی برشی حاکم بر طراحی آن خواهد بود لیکن اگر ارتفاع دیوار برشی زیاد باشد لنگر خمی حاکم بر طراحی آن خواهد بود. به هر حال دیوار باید برای هر دو نیروی فوق کنترل و در مقابل آن‌ها مسلح گردد.

۲-۲. تیرهای همبند در دیوار برشی کوپله

با توجه به مزیتهای سیستم باربر جانبی دیوار برشی کوپله، امروزه استفاده از این سیستم در طراحیهای عملی رو به افزایش است که منجر به انجام تحقیقات گسترده‌ی تحلیلی و آزمایشگاهی در این زمینه گردیده است. در گذشته چندین نوع از تیرهای همبند توسط محققین مورد بررسی قرار گرفته است. در میان انواع تیر همبند تست شده، تیرهای همبند بتنی، فولادی- بتنی (مرکب) و فولادی بیش از سایر انواع تیر مورد تحقیق قرار گرفته است. در اغلب موارد عملی استفاده از سیستم باربر جانبی دیوار برشی کوپله، تیرهای همبند یکی از پنج نوع ذکر شده می‌باشد.

۲-۱-۲-۱- تیر همبند بتنی با آرماتورهای برشی معمولی

تا دهه ۱۹۷۰ میلادی، در ساخت و اجرای تیرهای همبند مورد استفاده قرار می‌گرفتند ولی با توجه به ضعف در برابر شکست‌های برشی- لغزشی استفاده از این تیرها منسخ شده است.

۲-۲-۲- تیر همبند بتنی با آرماتورگذاری قطری

تیر همبند بتنی با آرماتورگذاری قطری در واقع تیری بتنی است که به صورت ویژه جزئیات بندی شده است. این تیر از بتن محصوری تشکیل یافته که دو گروه از آرماتورهای قطری به صورت متقابن در آن جای گرفته است. در شکل ۱-۲ نمایی از تیر همبند بتنی با آرماتورهای برشی قطری نمایش داده شده است. هر گروه از آرماتورهای قطری باید حداقل دارای ۴ آرماتور گوشه باشند و وجهت تامین محصورشدنگی بتن قرار گرفته در بین این آرماتورها، باید آرماتورهای عرضی کافی در امتداد آرماتورهای قطری قرارداده شود. آغاز تحقیقات بر روی تیر همبند بتنی با آرماتورهای برشی قطری به دهه ۱۹۷۰ میلادی باز میگردد. تیر همبند بتنی با آرماتورگذاری قطری در مقایسه با تیر همبند بتنی با آرماتورهای برشی معمولی خصوصیات شکل پذیری وجود ارزشی بسیار مطلوبتری دارد. استفاده از هسته های قطری (آرماتورهای قطری و بتن محصور بین آرماتورها) از پدیده لغزش تیر همبند در محل اتصال به دیوار برشی جلوگیری میکند [۱۱ و ۱۲]



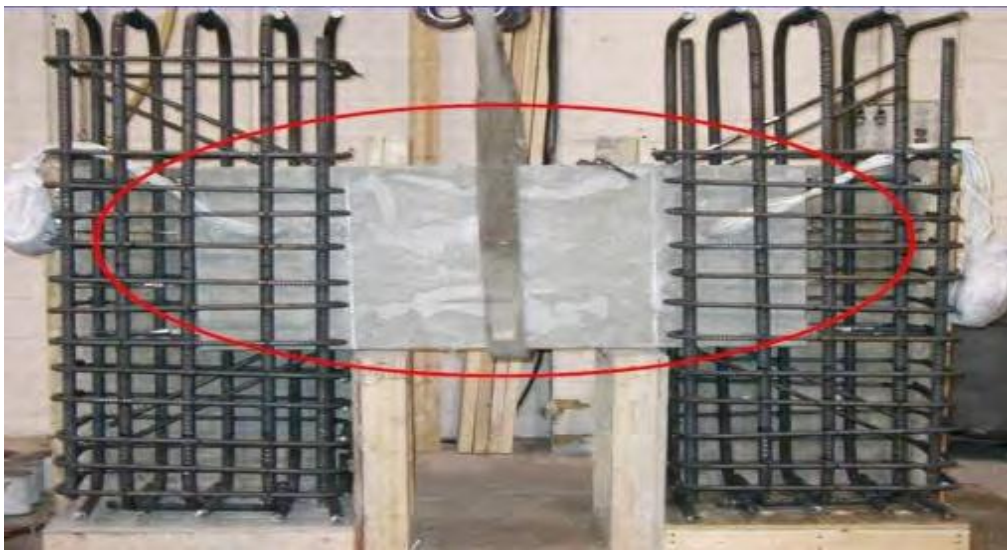
شکل ۲-۱ تیر همبند بتنی با آرماتورهای برشی قطری [۱۲]

تیرهای همبند با نسبت دهانه به ضخامت کمتر از ۲ شبیه تیرهای عمیق رفتار میکنند و در برش دچار شکست میشوند. تیرهای همبند با درصد آرماتور برشی کمتر دچار گسیختگی برشی-کششی میشوند اما نمونه های با آرماتور برشی بیشتر، اغلب دچار گسیختگی لغزشی-برشی می شوند و دارای شکستی ترد هستند.^[۳]

افزایش ارتفاع تیر همبند باعث افزایش مقاومت نهایی میگردد اما در صورتیکه ارتفاع تیر همبند بیش از حدود ۳۳٪ ارتفاع طبقه گردد، تاثیر زیادی در مقاومت نهایی دیوار ندارد و شکلپذیری را نیز کاهش میدهد.^[۱۶] تیر همبند بتی با آرماتورهای برشی قطری جهت عملکرد مناسب به جزیباتبندی دقیق و تقریبا سختگیرانهای نیازمند است. ضوابط ویژه جهت جزیيات بندی تیر همبند بتی در ناحیه اتصال به دیوار برشی و نیز نیاز به آرماتورگذاری متراکم عرضی درامتداد آرماتورهای طولی قطری اجرای این نوع از تیرهای همبند را با چالش رو برو ساخته است. اجرای جزیيات بندی آرماتورگذاری در تیر همبند بتی منجر به طراحی تیرهای همبند بتی با مقاطعی عمیق گردیده است که اجرای آن در بسیاری از سازه ها به-دلایل معماري و ... امکان پذیر نمیباشد. به دلیل معايب ذکر شده، تیر همبند فولادی، فولادی-بتی (مركب) و تیر همبند بتی ساخته شده از الیاف HPFRCC جايگزين مناسبی برای تیرهای همبند بتی مطرح میگردد.

۳-۲-۲- تیرهای همبند ساخته شده از بتن های الیافی توانمند

استفاده از بتن های الیافی با توجه به اینکه باعث افزایش مقاومت برشی و افزایش شکل پذیری تیر همبند می شود، می تواند یکی از مصالح مناسب جهت کاربرد در سازه های بلند باشد. در شکل ۲-۲ نمونه آزمایشگاهی از تیر همبند ساخته شده از بتنهای الیافی نمایش داده شده است.



شکل ۲-۲ نمونه آزمایشگاهی از تیر همبند ساخته شده از بتنهای الیافی [۱۷]

بررسی رفتار تیر همبند در دیوارهای برشی کوپله با مصالح شکل پذیر توسط کنبلات و همکارانش [۱۳] مورد ارزیابی قرار گرفت. نتایج حاصل از انجام آزمایشات حاکی از آن است که آرماتورهای قطری جهت دستیابی به تغییر شکل های بالاتر مورد نیازمی باشد و می توان تنگ های مربوطه (خاموت های مارپیچ آرماتورهای قطری) را حذف نمود. این نتایج همچنین نشان می دهد که به دلیل استفاده از مصالح شکل پذیر، آرماتورهای قطری به مقدار ۵۰٪ کاهش و مقاومت برشی به بیش از \sqrt{F} افزایش می یابد.

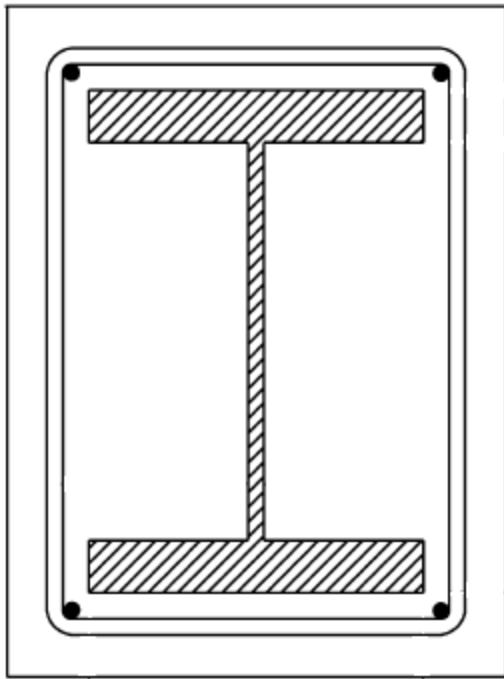
ایمان امیری [۱۷] با انجام آزمایشات بر روی تیر همبند ساخته شده از الیاف HPFRCC به نتایج زیر دست یافت:

- ۱- افزایش ۵٪ مقاومت نهایی در نمونه ساخته شده با بتون الیافی نسبت به نمونه ساخته شده با بتون معمولی
- ۲- افزایش مقاومت برشی و خمشی در نمونه ساخته شده با بتون الیافی نسبت به نمونه با بتون معمولی
- ۳- امکان کاهش ۳۰٪ آرماتورهای قطری در نمونه ساخته شده با بتون الیافی نسبت به نمونه با بتون معمولی
- ۴- افزایش میزان جذب انرژی نمونه ساخته شده با بتون الیافی نسبت به نمونه ساخته شده با بتون معمولی

۴-۲-۲- تیرهای همبند فولادی-بتنی (مرکب) [1]

این تیرها از محصور شدن تیر همبند فولادی در بتن تشکیل میشوند که شامل آرماتورهای طولی در گوشه و میان مقطع می-باشند که توسط آرماتورهای عرضی دورپیچ شده‌اند. تیر همبند مرکب باید طوری طراحی شود که قبل از انهدام دیوارها تسليمشوند تا بتوانند انرژی زیادی را جذب نمایند. تحقیقات اندکی بر روی رفتار اینگونه از تیرهای همبند صورت گرفته است. در شکل ۲-۳-مقطع تیر همبند مرکب در دیوار برشی کوپله نمایش داده شده است.

شهروز و گانگ تحقیقاتی بر روی عملکرد تیر همبند فولادی که درون هسته بتنی محصور قرار گرفته انجام دادند. این تحقیقات شامل دو قسمت تحلیلی و آزمایشگاهی بود. در بخش آزمایشگاهی این تحقیقات، تستهایی بر روی تیرهای همبند با مقیاس یک دوم که به دیوار برشی بتنی متصل شده اند صورت گرفت. نتایج حاصل نشان داد که هسته بتنی قرار گرفته در اطراف تیر همبند فولادی میزان سختی تیر را افزایش داده و همچنین از ناپایداری جان و بال تیر همبند جلوگیری مینماید. همچنین نشان دادند که طراحی ناحیه قرارگیری تیر همبند مرکب درون دیوار برشی بتنی باید برای تحمل برش ناشی از تیرفولادی و هسته بتنی صورت بگیرد زیرا در صورتی که تنها برش حاصل از تیر همبند فولادی (بدون در نظر گرفتن هسته بتنی) برای طراحی ناحیه ای اتصال مدنظر قرار گیرد بخش عمدتی از جذب انرژی در ناحیه ای اتصال و با ایجاد تغییر شکل‌های غیرارتجاعی در این ناحیه اتفاق میافتد که در مقایسه با جذب انرژی توسط خود تیر مطلوب نمیباشد [1]



شکل ۳-۲ مقطع تیر همبند مرکب در دیوار برشی کوپله [1]

۵-۲-۲- تیرهای همبند فولادی

دیوار برشی کوپله با تیر همبند فولادی(شکل ۴-۲) از روش‌های جدید در طرح و اجرای دیوار برشی کوپله است که باعث افزایش قابلیت شکلپذیری و جذب انرژی در سازه‌های بتن آرمه می‌شود، به طوریکه اگر تیر همبند فلزی با ضوابط صحیح طراحی و اجرا شود، قادر خواهد بود که همانند تیر همبند بادیندهای واگرا جذب انرژی داشته باشد که در مقایسه با سیستم‌های کوپله بتنی از کارایی بسیار بالاتری برخوردار است. مزیت دیگر سیستم کوپله جدید، سادگی و کیفیت بالای اجرایی می‌باشد و بدین ترتیب مشکلات اجرایی تیرهای همبند بتنی با فولاد قطری در آن وجود ندارد. از دیگر مزایای تیر همبند فولادی نسبت به تیر همبند بتنی با آرماتور گذاری قطری، ظرفیت خمشی آن می‌باشد، زیرا آرماتورهای قطری در تیر همبند با حاکمیت خمشی تاثیر چندانی ندارد[۲۱].

چنانچه تیر همبند بر اساس تسلیم برشی طراحی گردد، در مقایسه با تیرهای همبند طراحی شده براساس تسلیم خمشی، توانایی جذب انرژی بسیار بیشتر و نیز رفتار هیسترزیس پایدارتری خواهد داشت. در این تحقیقات همچنین نشان داده شد که در صورت وجود آرماتورهای کمکی انتقال و نیز آرماتورهای افقی در ناحیه‌ی قرارگیری تیر همبند درون دیوار، نقطه‌ای که تیر همبند فولادی در درون دیوار ثابت میماند، در درون دیوار و به فاصله تقریبی یک پنجم یا یک ششم طول قرارگیری تیر در دیوار از وجه خارجی دیوار برشی قرارداد [۱۴]

تحقیقات شهروز و همکارانش [۱] نشان داد که خصوصیات شکلپذیری و جذب انرژی تیر همبند فولادی در برابر بارگذاری رفت و برگشتی بسیار مطلوب است. در این تحقیقات، تستهای آزمایشگاهی بر روی تیر همبند متصل به دیوار برشی بتنی مسلح صورت گرفت. در این آزمایشها دیوار برشی دارای ناحیه‌ی مرزی بوده و محل اتصال تیر همبند فولادی به دیوار برشی که درون ناحیه‌ی مرزی دیوار قرار گرفته است به صورت ویژه توسط آرماتورهای قائم و نیز آرماتورهای عرضی جزیيات بندی گردیده است. در این تحقیقات نشان داده شد که نقطه‌ای که تیر همبند فولادی در درون دیوار ثابت میماند، در درون دیوار و به فاصله‌ی تقریبی یک سوم طول قرارگیری تیر در دیوار از وجه خارجی دیوار برشی قرار دارد.

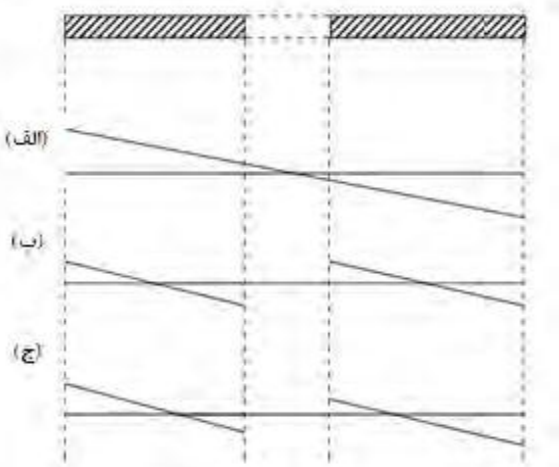


شکل ۲-۴ تیر همبند فولادی در دیوار برشی کوپله [۱۴]

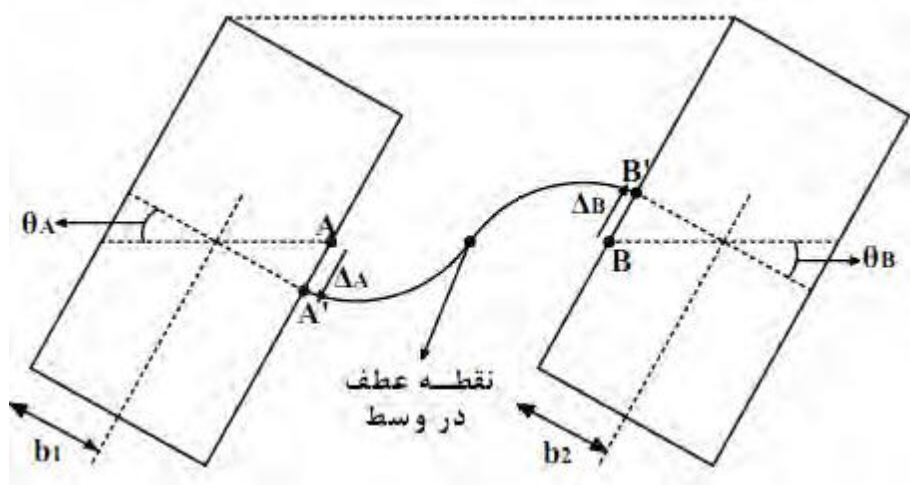
کلیات رفتار

چانچه دو دیوار برشی واقع در یک صفحه، توسط اعضایی با اتصالات مفصلی به هم متصل شوند، ممانهای اعمالی بر آنها توسط هر یک از دیوارها و به نسبت سختی خمشی آنها تحمل میگردد. اما چنانچه دیوارها توسط تیرهای صلب به یکدیگر متصل شوند، تشکیل یک مجموعه مرکب را میدهند و ممان اعمالی توسط هر دو دیوار با خمش حول محور مرکزی مجموعه تحمل خواهد شد؛ بنابراین تنشهای خمشی به صورت خطی در طول مجموعه مرکب توزیع میگردد. در شکل ۲-۵ توزیع تنش در حالات مختلف نمایش داده شده است. در شرایط کاربردی، دیوارها توسط تیرهای انعطاف پذیر که حالتی بین مفصل و صلب را دارا است، به هم متصل میشوند. هر چه تیرها سختتر باشند، رفتار سازه به رفتار طرہ مرکب نزدیکتر خواهد بود.

زمانیکه دیوارها تحت اثر بار جانبی قرار میگیرند، انتهای تیرهای اتصالی دچار چرخش و تغییر مکان قائم شده و خمش دوانحنایی خواهند یافت و بدین وسیله، ممانهای دیوار را تحمل میکنند. در شکل ۲-۶ خمش دو انحنایی در تیر همبند نمایش داده شده است. رفتار خمشی دیوارها، در تیرهای اتصالی برش ایجاد نموده و بنابراین تیرها، ممانهایی مخالف ممانهای خارجی اعمالی را بر هر دیوار وارد میکنند. برشها نیز در دیوارها نیروی محوری ایجاد مینمایند. بنابراین ممانهای ناشی از بار جانبی در هر ترازی از سازه، توسط مجموع ممانهای خمشی دیوارها در همان تراز و ممان ناشی از نیروی محوری تحمل میشود. با افزایش اولین نیروی زلزله خط اول دفاع که تیر همبند میباشد، با تشکیل فیوز برشی از دور خارج خواهد شد. در این حالت خط دوم دفاع که همان دیوارهای برشی مجزا می باشند وارد عمل شده و در مقابل بار اعمالی تا لحظه تشکیل مفصل خمشی در پای هر دیوار مقاومت خواهند کرد [۲۱]



شکل ۲-۵ توزیع تنش در حالات مختلف: الف-مجموعه دیوارها توپرفرض می شود. ب-دودیوار مستقل باشند. ج- واقعیت [۲۱]



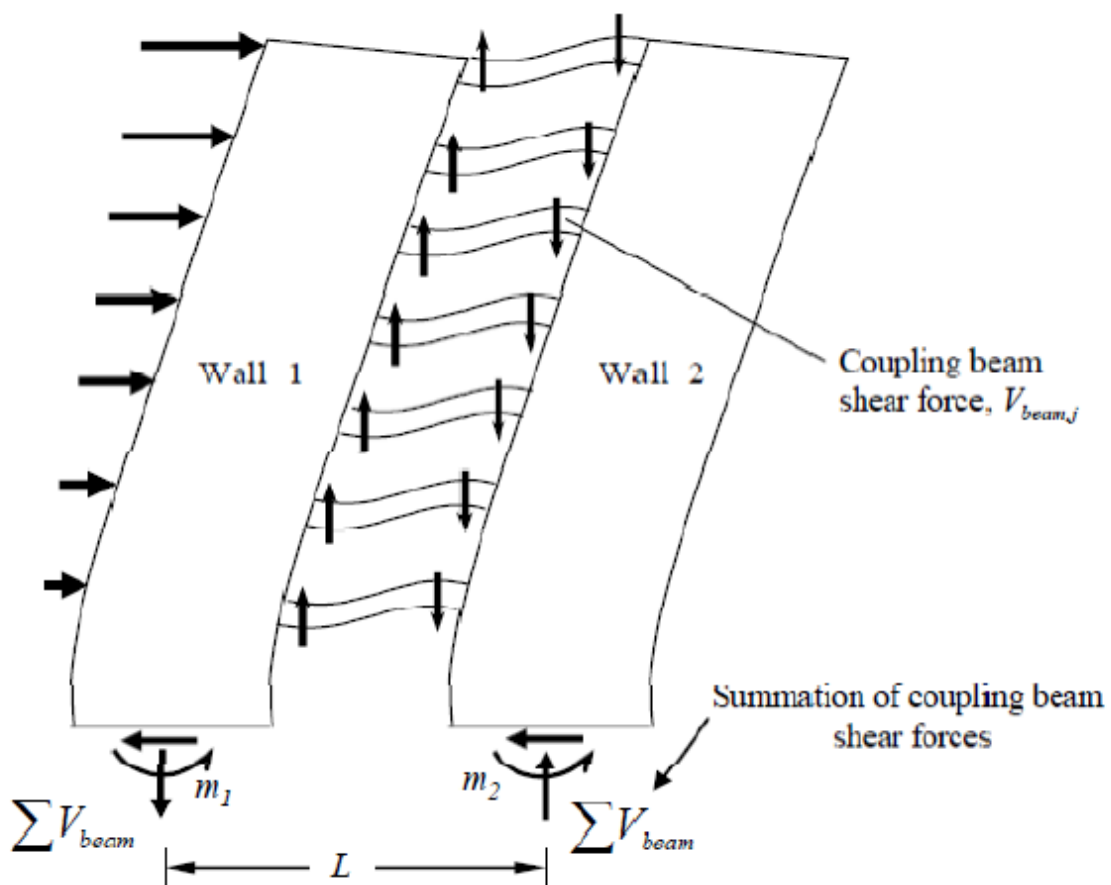
شکل ۲-۶ خمش دو احناکی در تیر همبند [۲۱]

۳-۲ . رفتار سیستم کوپله ، تحلیل^۱ و ملاحظات طراحی [۱۰]

مطالعات نیم قرن گذشته بر روی سیستم دیوارهای باتیر پیوند نشان می دهد که کارایی سازه به طور زیادی متأثر از نسبت پیوند است. اگرچه اکثر این مطالعات بر روی سیستم بتنی بوده است رفتار و

مکانیسم سیستم HCW نیز شبیه سیستم بتنی است. شکل ۲-۷ تغییر شکل سیستم دیوار کوپله را تحت اثر بار جانبی نشان میدهد که سبب واژگونی OTM میشود. در پاسخ به بار اعمالی در تیر پیوند J ممان انتهایی و متناظر با آن برش $\sum V_{beam}$ تولید میشود. برای سیستم با دیوار، نسبت پیوند بصورت معادله ۱ بدست می آید که در آن $\sum V_{beam,j}$ جمع برش تیرهای پیوند که در گوشی دیوار اثر می کنند، است. L بازوی بین مراکز دیوارهاست و M_i ممان واژگونی است که توسط دیوار I تحمل می شود

$$CR = \frac{L \sum V_{beam}}{L \sum V_{beam} + \sum M_i} = \frac{L \sum V_{beam}}{OTM} \quad (1-2)$$

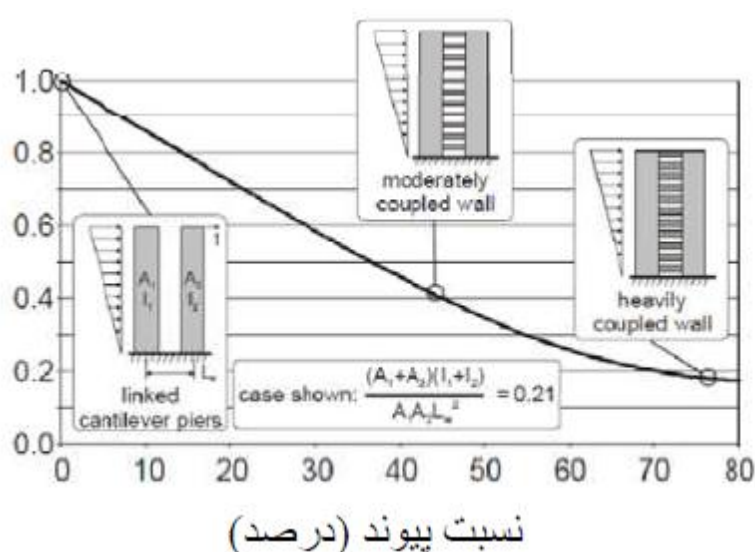


شکل ۲-۷: تغییر شکل دیوار برشی کوپله تحت اثر بار جانبی [۱۰]

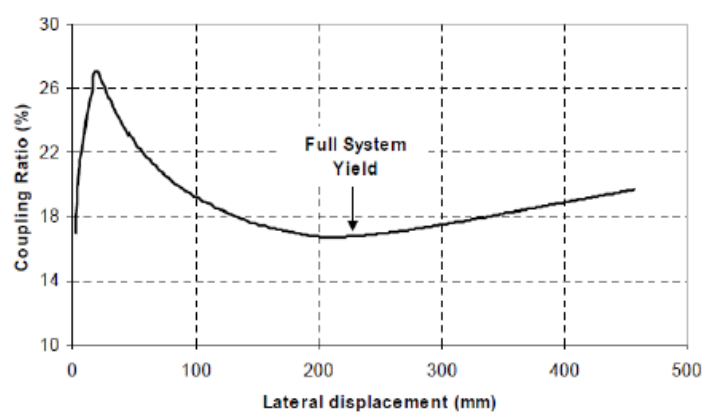
اگر $CR=0$ باشد در انتهایی تیر پیوند ممان وجود ندارد. (تیرها وجود ندارد یا اتصال مفصلی است) و بنابراین هیچ عمل پیوندی بین آنها وجود ندارد اگر $CR=50\%$ باشد عمل پیوند نیمی از ممان واژگونی را تحمل

میکند و نصف باقیمانده OTM بوسليه ی عکس العمل دیوار ها منفرد تحمل می شود. m_2, m_1 در شکل ۲-۷) اگر $CR = 100\%$ باشد از لحاظ تنوری دو دیوار بصورت یک دیوار منفرد عمل می کند.

به طوری که قبلا نیز اشاره شد سازه پیوند شده به طور زیادی سخت تر از مجموع سختی دو دیوار منفرد است. شکل ۲-۸ تاثیرات مفید بودن پیوند را برای دو دیوار که تحت اثر جانبی مثلثی هست نشان می دهد. در این شکل تغییر مکان بام از آنالیز الاستیک بدست می آید.



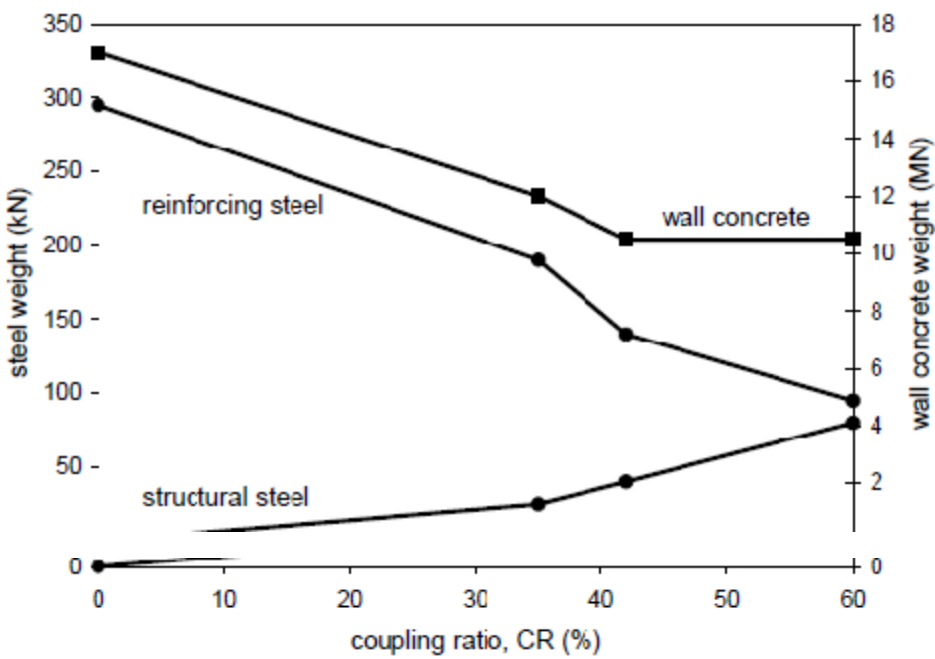
شکل ۲-۸: تاثیر عمل پیوند بر جابجایی بام [۱۰]



شکل ۲-۹: تغییرات جابجایی جانبی دیوار برشی کوپله نسبت به تغییرات CR [۱۰]

شکل ۲-۹ نشان دهنده تاثیر پیوند بر روی کاهش تغییر مکان جانبی می باشد. در نمونه ۱۲ طبقه مقدار CR با افزایش بار جانبی به مقدار ماکزیمم به حدود ۲۷٪ رسید. این مقدار اوج منطبق با شروع تسليمی تیر پیوند است. مقدار زمانی مینیم است که هر دو دیوار در پایه‌ی خود به تسليمی برسند. بعد از نقطه می نیم CR به طور آهسته دوباره زیاد می شود زیرا سخت شدگی تیرهای پیوند سریع تر از دیوارها است. نیروی محوری فشاری در دیوار باعث کاهش شکل پذیری دیوار و باعث شکست ناشی از خرد شدگی زود رس میشود. به طور مشابه بار اعمالی ممکن است کاهش یابد یا راستای آن تغییر کند به طور بار کششی که این هم تاثیر مخربی بر روی ظرفیت برشی دیوار و همین طور باعث ضربه زدن به طراحی پی سازه می شود. نهایتاً این تنفس محوری باعث افتهای قابل ملاحظه‌ای در رفتار دیوار می شود. بنابر این رفتار اندر کنش محوری، برشی و خمشی پارامتر مهمی در طراحی و آنالیز سیستم‌ها است. HCW

مطالعه‌ای که برروی یک سیستم ۱۲ طبقه برای تاثیر CR انجام شدنشان داد که سیستم با نسبت پیوند بالا (۶۰٪) ترک خوردگی وسیعی در قسمت‌های بالای دیوار و خرد شدگی زودرس دیوار در مقایسه با سیستم با نسبت پیوند کمتر را باعث میشود. و در حالتی که CR=0 باشد رفتار ضعیفی از سیستم بدون تیر پیوندمانند چرخش زیاد در پای دیوار، دیریافت طبقه، تغییر شکل برشی و انحراف بعلاوه خردشده‌گی در نواحی مفاصل پلاستیک دیده میشود. سیستم با نسبت پیوند ۳۰٪ تا ۴۵٪ خصوصاً از نقطه نظر اقتصادی که نیاز مند آرماتور و بتون کمتر است بهینه میباشد. شکل ۲-۱۰ نشان دهنده مقدار بتون و فولاد مورد نیاز برای طراحی با توجه به درصد پیوند است. در این مطالعه جزئیات تیر پیوند در تمام طبقات یکسان در نظر گرفته شده است.



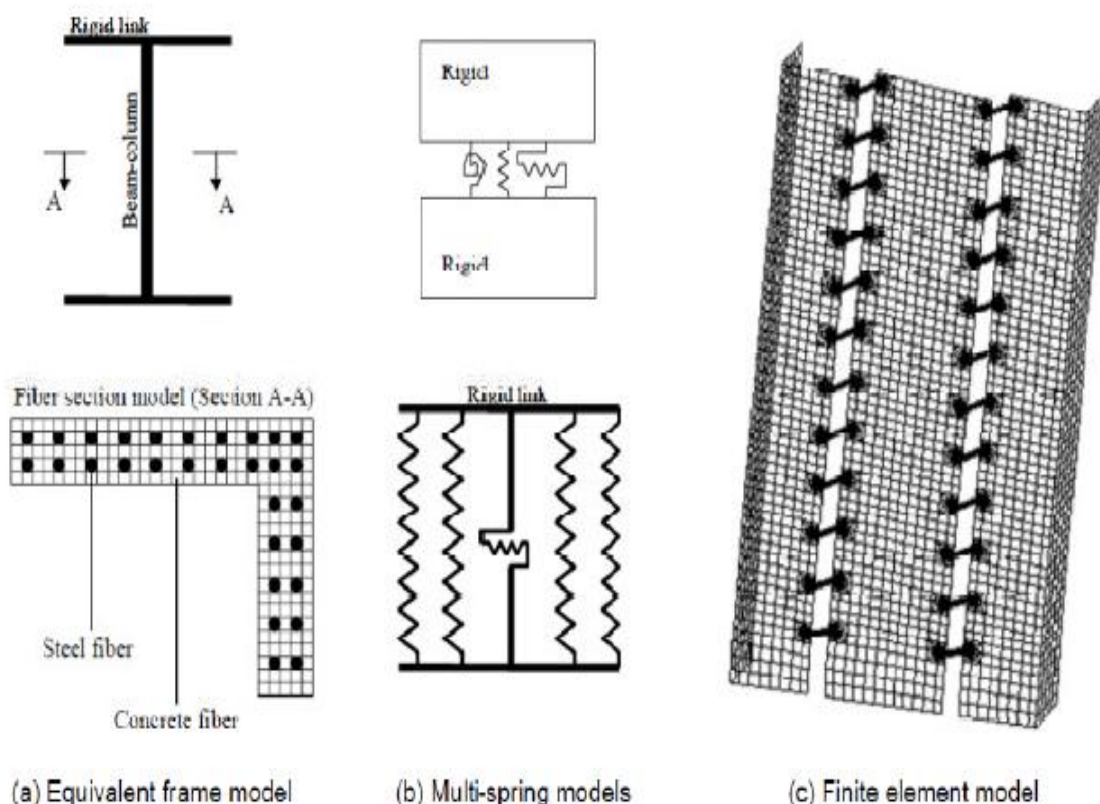
شکل ۱۰-۲: وزن فولاد و بتن مورد نیاز بصورت تابعی از CR برای یک سازه ۱۲ طبقه [۱۰] HCW

۳-۱-انتخاب نسبت پیوند:

انتخاب نسبت پیوند بستگی زیادی به قضاوت مهندسی و تجربه طراح دارد. یک نمونه از CR کم که معمولاً در طراحی در نظر گرفته نمی شود. میتواند به آسانی بوسیله دال بین دیوار ها بدست آید. معمولاً فرض میشود که دال هیچ مقاومتی در برابر نیروهای جانبی ندارد، برای اتصال دال به دیوار باید دتایل مناسبی در نظر گرفته شود برای اینکه شکل پذیری لازم را داشته باشد. از سوی دیگر مقادیر CR بالا باعث کاهش ممان در دیوار هامی میشود. CR بالا باعث افزایش نیروی محوری شود و اجازه می دهد که مقطع دیوار ها کوچکتر شود، با این حال CR بالا باعث افزایش نیروی محوری و در نتیجه کشش و UPLIFT میشود. بعلاوه نیروی محوری فشاری باعث کاهش شکل پذیری دیوار میشود. ترکیب این آثار نشان می دهد که CR بالا باعث غیر عملی شدن طرح میشود. در شکل ۱۱ تصویر شماتیکی از ظرفیت تیر و دیوار بر اساس CR نشان داده شده است.

چندین نوع از تحلیل های خطی وغیر خطی بر روی دیوار برشی انجام شده است. این مدل ها به سه دسته تقسیم میشوند.

۱-مدل قاب معادل ۲-مدلسازی فنر ۳-مدل اجزاء محدود



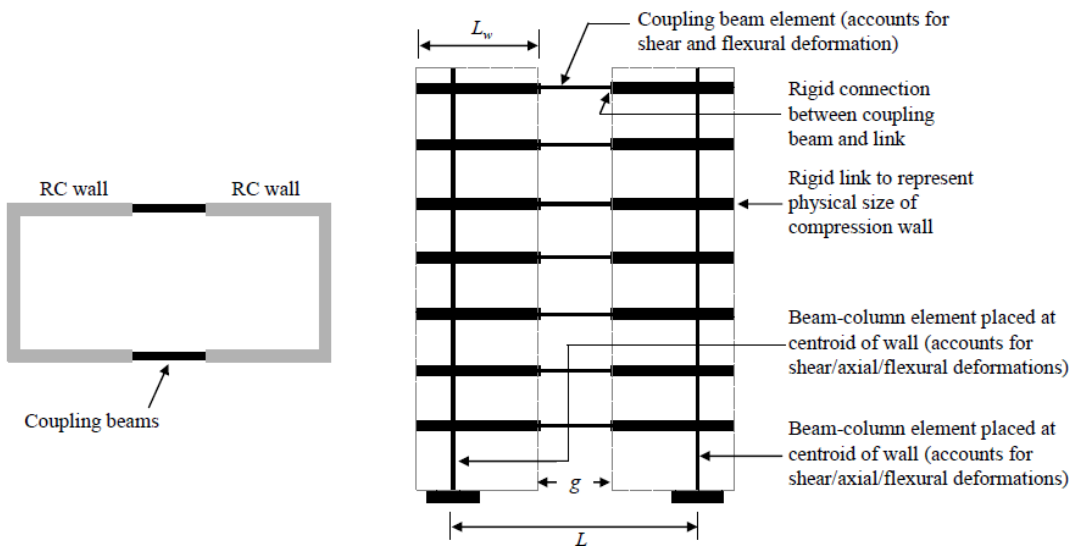
شکل ۱۲-۲: روشها و اشکالی برای مدل کردن دیوار برشی (HCWs) [۱۰]

الف : مدل قاب معادل

برای استفاده از این مدل چند قید وجود دارد.

برای آنالیز خطی:المان هایی که استفاده می شوند باید برای خمش و سختی برشی برای هر دو المان تیر و دیوار در نظر گرفته شوند.

برای آنالیز غیر خطی: المان باید دقیقا نمایانگر سختی و مقاومت برشی و خمشی بعلاوه ظرفیت تغییر شکل در اعضادر نظر گرفته شده است.و همچنین روابط اندرکنش بار محوری-ممان (P-M)باید برای المان ها تعریف شده باشدوبتوان تاثیر این اندر کنش را در نظر گرفت.مدل ها همچنین باید نمایانگر رفتار غیر متقارن شکل دیوار با سختی متفاوت، مقاومت و ظرفیت تغییر شکل در راستاهای متفاوت(روابط اندرکنش غیرمتقارن M-P)باشند. برای مدل های غیر خطی با بار گذاری متناوب^۱، مدل همچنین باید نشانگر افت مقاومت و سختی در بارگذاری معکوس باشد.دو روش معمول برای مدل رفتار مقطع عرضی عبارتنداز: مدل مقطع بر آیند و مدل فیبر مقطع. روش مدل مقطع بر آیند تعریف مقطع رابه طور ضمنی در ترم های ممان - انحناء ، بار محوری-کرنش محوری، وغیره انجام میدهد.در روش فیبر مقطع ، مقطع به تعدادی فیبر تجزیه می شود که این نواحی لازم نیست هم اندازه باشند و تنش بر روی مقطع انتگرال گیری می شود تانیرو یا ممان بدست آید. برای بالهای دیوار، عرض موثر بال باید برای آنالیز مقاطع تعیین شود. شکل ۱۳-۲ یک مدل جایگزینی برای HCWs را نشان میدهد. در این مدل از المان های تیرستون برای تیر پیوندو دیوار استفاده شده است. یک رابط صلب نیز برای نشان دادن ابعاد دیوار ها استفاده شده است.



شکل ۱۳-۲: مدل دیوار برشی کوپله تر کیبی (HCW) [۱۰]

ب: مدل اجزاء محدود

مدل اجزاء محدود باید با توجه به این نکات ایجاد شود که المان شل¹ برای مدل اجزاء دیوار مناسب هستند. مدل با المان سولید² وقتی که تنש ها در حالت سه بعدی و توزیع تنش و کرنش مورد نیاز باشد استفاده میشود.

آنالیز خطی: مدول یانگ موثر باید برای در نظر گرفتن تاثیرات ترک خوردگی در نظر گرفته شود آنالیز غیر خطی: باید رفتار غیر خطی بتن در کشش و فشار در نظر گرفته شود. مدل آرماتورها و فولاد باید در حالت تک محوره و سه محوره در نظر گرفته شود به علاوه نتایج هر مدل تئوری زمانی قابل قبول است که نتایج تئوری با نتایج آزمایشی تطابق داشته باشد.

۳-۳-۲-روش های طراحی

روش های طراحی بر مبنای تحلیل¹ خطی الاستیک:

هردو روشن تحلیل¹ تحت بار جانبی معادل و آنالیز طیفی برای این سیستم مناسب است. آنالیز دینامیکی تاریخچه زمانی پیشنهاد نمیشود. برای کارایی لرزه ای سیستم HCW در طبقه بندی دیوار ویژه ترکیبی با المان های فولادی در FEMA-356(2000) قرار می گیرد. و از $R = 6$ ، $Cd = 5$ و $\Omega = 2/5$ اگر سیستم HCW برای مقاومت در برابر بار جانبی با سیستم قاب صلب کار کند این ساختمان از هر دو سیستم بهره میگیرد. در این حالت بار جانبی توسط قاب و سیستم HCW تحمل میشود. با فرض اینکه سختی سیستم HCW نسبت به قاب زیاد باشد بیشتر بار جانبی توسط HCW تحمل می شود. و قاب خمی باید 25% بار جانبی را تحمل کند در این حالت $R = 7$ و $Cd = 6$ و $\Omega = 2/5$ می شود.

1-Shell

2-Solid

3-Analyties

۱-۳-۳-۲ مدل دیوار و مدل تیر پیوند

پیشنهادهایی برای کاهش مشخصات مقطع برای درنظر گرفتن ترک خوردگی و کاهش سختی شده است.

جدول ۲-۱ ضرایب ترک خوردگی برای دیوار [۱۰]

Member	ACI 318	CSA A23.3	NZS 3101 ¹
compression wall in flexure	0.70EI _g (uncracked)	0.80EI _g	0.45EI _g
tension wall in flexure	0.35EI _g (cracked)	0.50EI _g	0.25EI _g
compression wall axial	1.00EA _g	1.00EA _g	0.80EA _g
tension wall axial	0.35EA _g (inferred)	0.50EA _g ²	0.50EA _g

بر مبنای نتایج آزمایشگاهی نقطه ثابت موثر در تیر فولادی در حدود $3/L$ طول دیوار از وجه دیوار ثابت است به این ترتیب، دهانه خالص موثر g ، جایگزین تیر پیوند میشود که در شکل ۱۳-۲ آمده است.

$$g = g_{\text{clear}} + \frac{1}{60} L_e \quad (\text{رابطه } 2-2)$$

این معادله با این فرض بدست می آید که دیوارها بالمان ستون که در مرکز دیوار قرار دارد به صورتی که در شکل ۱۳-۲ آمده است مدل شده و خواص خمشی و برشی تیر پیوند فولادی نیز در نظر گرفته شده است در طی طراحی اولیه طول مدفعون تیر پیوند در معادله نیست. و سختی موثر تر پیوند فولادی به ۶۰٪ مقدار اولیه کاهش می یابد. طول موثر نیز توسط کاور زیاد میشود برای درنظر گرفتن خردشدنی وجه دال در نظر گرفته میشود.

$$g = g_{\text{clear}} + 2c \quad (\text{رابطه } 3-2)$$

۲-۳-۳-۲- ضریب افزایش مقاومت دیوار و تیر

برای تضمین از اینکه مکانیسم تسلیم در تیر پیوند قبل از دیوار اتفاق بیفت، دیوار باید قوی تر از تیر پیوند طراحی شود. برای رسیدن به این رفتار ضریب برش اسمی تیرهای پیوند V_f بصورت مجموع ظرفیت برشی تیرهای پیوند و V_f ضریب برش طراحی تیرهای پیوند است.

$$\alpha = \frac{\sum V_n}{\sum V_f} \quad (4-2)$$

این فاکتور شامل افزایش مقاومت مورد نیاز تیر برای اثرات پیچشی نیز میباشد. در کاربرد ضریب افزایش مقاومت دیوار فرض میشود که دیوار ها ظرفیت کافی برای پایداری نیروهای همراه با همه تیرهای پیوند در سازه را برای رسیدن به ظرفیت اسمی دارند. بار محوری فشاری به ۳۵ درصد ظرفیت محوری کلی محدود میشود که باید با استفاده از روش های طراحی رایج نیز کنترل گردد.

مراحل طراحی:

۳-۳-۳-۲- ترکیب بار طراحی

ترکیب بار $1.2DL + 0.5LL$ وقتی که اثرات زلزله نیز وارد شود در ترکیب بار ضریب $0.9/0.6$ اعمال میشود. تاثیرات زلزله وبار ثقلی نباید از مدل های جداگانه ترکیب شود اصل جمع آثار برای آنالیز غیر خطی مجاز نیست.

ویژگی های مدل برای آنالیز استاتیکی غیر خطی:

$$P = 1.2DL + 0.5LL + |\sum V_n| \quad \text{رابطه (۴-۲) نیروی محوری در دیوار فشاری}$$

$$P = 0.9DL - |\sum V_n| \quad \text{رابطه (۴-۳) نیروی محوری در دیوار کششی}$$

۴-۳-۳-۲-محاسبه نیروهای HCWS

گام ۱: انتخاب نسبت پیوند (CR) مناسب: اگر که ابعاد دیوارهای معلوم است که به گام ۲ میرویم اگر معلوم نیست باید ابعاد اولیه انتخاب شود.

گام ۲: تعیین ممان واژگونی OTM از آنالیز نیروهای جانبی معادل:

گام ۳: محاسبه ممان واژگونی (مجموع نیروهای تیر پیوند) برای استفاده در گام ۱ و L فاصل بین مراکز دیوارها میباشد.

$$\sum_{i=1}^n V = CR \cdot \frac{OTM}{L} \quad \text{رابطه (۷-۲)}$$

گام ۴: توزیع برش قائم تیر پیوند، مقدار برش که از گام ۳ بدست می‌آید در تیرهای پیوند که به طور مشابه طراحی شده باشندبه صورت مقابل تقسیم میشود. رابطه (۸-۲)

$$\sum_{I=1}^N Vb / N \quad \text{رابطه (۸-۲)}$$

گام ۵: کنترل دریفت تقاضا: حدود تغییرشکل از روش های معقول یا بر مبنای FEMA-45-(2003) بدست می‌آید. برای مثال بر مبنای روش های موجود مقدار دریفت نهایی برای دیوارها برای ایمنی جانی برابر ۰/۰ درصد است. برای بدست آوردن هر خیز باید یک مدل الاستیک ساخته شود و مشخصات مناسب آنالیز مدل HCW انتخاب شود. مشخصات موثر اعضاء مانند جدول ۲-۱ فرض می‌شود. اگر مقدار خیز مناسب نبود بوسیله افزایش ابعاد دیوار یا تیر پیوند مقدار خیز به مقدار مجاز آن رسانده میشود. اگر نسبت پیوند عوض شود باید گام ۲ کنترل شود.

گام ۶: توزیع نیرو در سیستم: برای محاسبه توزیع نیرو در سیستم، روش طراحی ظرفیت بصورت بادبندی برگرفته شده از مکانیزم انتقال نیرو است. برای بدست آوردن توزیع نیرو در مدل پیشنهاد می‌شود که قیود انتهایی تیرهای پیوند آزاد شود و نیروهای انتهایی تیرهای پیوند به دیوارها اعمال شود. نیروی برش تیر پیوند v_i و ممان m_i که باید بر هر سطح نوار دشود عبارتند از:

$$V = V_{beam i} \quad \gg \quad m_i = g V_{beam} / 2 \quad \text{رابطه (۹-۲)}$$

۵-۳-۳-۲-معیارهای قابل قبول

در تیر پیوند انتظار میرود که پاسخ ها مشابه پاسخ تیرهای پیوند برشی در بادبندهای برون محور باشد. معیارهای قابل قبول برای پیوند برشی در FEMA-356 جداول ۵ و ۶-۱ عبر مبنای زاویه چرخش پلاستیک پیشنهاد می شود. برای استفاده کردن از ضوابط تیرهای پیوند برای تیر پیوند طول موثر تیر باید از معادله ۲ استفاده شود. مقاومت اسمی تیر پیوند باید از FEMA-356 بدست آید.

$$P = 1.2DL + 0.5LL + \left| \sum 1.1R_y V_n \right| \quad \text{رابطه (۱۰-۲) برای دیوارهای تحت فشار}$$

$$\frac{(AS - A/S)F_y + p}{tw_l w_f c} \leq 0.35 \quad \text{رابطه (۱۱-۲) برای اطمینان از پایداری محوری دیوار تحت فشار}$$

$$p = 0.9DL - \left| \sum 1.1R_y V_n \right| \quad \text{رابطه (۱۲-۲) برای دیوار تحت کشش}$$

ضوابط تیرهای پیوند فولادی مشابه بادبندهای برون محور است.

باتوجه به ضوابط AISC زاویه دوران θ_w برای رفتار برشی و خمشی به ترتیب برابر 80° و 30° میباشد

$$L_{eff} = \left(\frac{Le}{5} + \frac{L_{clear}}{2} \right) * 2 \quad \text{رابطه (۱۳-۲)}$$

$$\theta_p = \Theta_{pw} \frac{L}{L_{eff}} \quad \text{رابطه (۱۴-۲) فاصله مرکز به مرکز دیوار کوپله}$$

۴-۳-۲ فاصله سخت کننده ها

فاصله سخت کننده ها طبق روابط زیر بدست می آید.

$$\alpha_p = \pm 0.09 \text{ rad} \quad \alpha = 72.5t_w - d/2 \quad \text{رابطه (۱۵-۲)}$$

$$\alpha_p = \pm 0.06 \text{ rad} \quad \alpha = 95t_w - d/2 \quad \text{رابطه (۱۶-۲)}$$

که در این رابطه α فاصله بین سخت کننده های جان میباشد. استفاده از سخت کننده ها علاوه بر جلوگیری از کمانش موضعی جان به این دلیل است که بتوان از مقاومت پس از کمانش جان نیز استفاده کرد. در تیر های پیوندیا عمق کمتر از 40 سانتی متر می توان در یک طرف تیر از سخت کننده استفاده نمود.

اگر $\frac{V_p}{V_P} \leq \frac{1.6m_p}{e}$ باشد در این تیر برش حاکم است و تسلیم به صورت برشی خواهد بود

اگر $\frac{V_p}{V_P} \geq \frac{2.6m_p}{e}$ باشد در این تیر خمش حاکم است و تسلیم به صورت خمشی خواهد بود و برش موجود

اگر $V_P \leq 1.6M_p / e$ اندر کنش بین خمش و برش وجود دارد.

که $Z = m_p = ZF_y$ است که اساس پلاستیک و $M_p = 0.55dt_w F_y$ برای یک مقطع I شکل است. لنگرهای انتهایی تیر پیوند باید به $1.2M_p$ محدود شوند تا از کرنش های خمشی مخرب یا خرابی بال پیوند در نقطه اتصال به ستون جلوگیری شود برای اینکه حالت برش حاکم باشد مقدار Z مورد نیاز از معادله زیر بدست می آید. و مقطع باید طوری انتخاب شود که ممان مقاوم M_s بزرگتر از ممان معادل برای کرنش سخت شدگی در برش باشد.

$$Z_{req} = M_s / (\Theta_b F_y) \quad (17-2)$$

$$M_s = L_{ff} \frac{V_p}{2} = \{(L_{clear} + 2L_e/5)/2\} * 1.35 V_P \quad (18-2)$$

$$V_n = 0.60 F_y (h - 2t_f) t_w \quad (19-2)$$

که h ارتفاع کلی مقطع و t_f ضخامت بال تیر پیوند t_w ضخامت جان تیراست. ضریب $1/35$ برای تعريف کرنش سخت شدگی جان تیر پیوند در نظر گرفته می شود. در تعیین Z_{req} باید از جان صرف نظر شود چون در برش باید تسلیم شود.

برای اطمینان از عدم کمانش موضعی بال و جان باید روابط زیر برقرار باشد.

$$h/t_w \leq 3.05 \sqrt{\left(\frac{E_s}{F_y}\right)} \quad (20-2)$$

$$b_f/f_y \leq 0.31 \sqrt{\left(\frac{E_s}{F_y}\right)} \quad (21-2)$$

سخت کننده های میانی در ناحیه مدفون تیر پیوند در طول معادل برای نقاط ثابت موثر از وجه دیوار باید تعییه گردد. این سخت کننده ها برای تضمین اینکه در جان خوش رخ ندهد قرار داده می شوند و اگر طول مدفون کم باشد سبب خرد شدگی کاور خواهد شد.

بر طبق آیین نامه IBC2000 مقدار چرخش پلاستیک را برای رفتار برشی ۹٪ رادیان معرفی می کند. برای تیر های پیوند برشی اگر دستیابی به دوران نهایی ۹٪ رادیان مورد نظر باشد فاصله سخت کننده ها نباید بیش از $\{30t_w-d/5\}$ و اگر دستیابی به دوران ۳٪ رادیان مورد نظر باشد فاصله سخت کننده ها نباید بیش از $\{52t_w-d/5\}$ باشد.

در تیر های پیوند با طول بزرگتر از $2.6M_p/V_p$ و کوچکتر از $5M_p/V_p$ فاصله $1.5b_f$ از هر انتهای یک سخت کننده قائم جان قرار میگیرد. برای پیوند بین حالت برش و خمش باید ضوابط مربوط به سخت کننده ها در دو حالت برقرار باشد.

برای تیرهای پیوند با طول بیش از $5MP/VP$ نیازی به سخت کننده قائم جان نمی باشد.

$$e \leq 1.6mp/V_p \begin{cases} Vult = 1.5Vp \\ Mult = e * Vult/2 \end{cases} \quad \text{رابطه (۲۲-۲)}$$

$$e \geq 2.6mp/V_p \begin{cases} Mult = 1.5mp \\ Vult = 2Mult/e \end{cases} \quad \text{رابطه (۲۳-۲)}$$

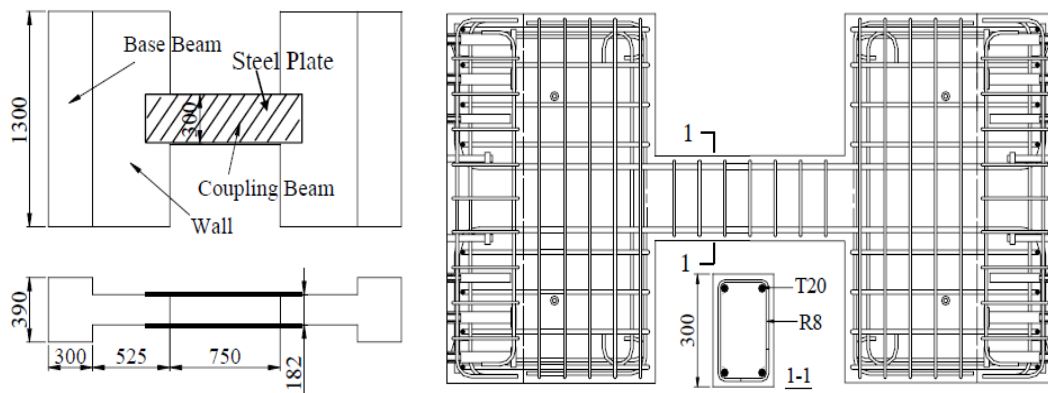
۴-۲. مطالعه آزمایشگاهی و عددی تیرهای پیوند بتون مسلح تقویت شده با پلیت فولادی [۴]

۱-۴-۱- تشریح نمونه آزمایش

سه نمونه از تیرهای پیوند با ابعاد یکسان و جزئیات آرماتورهای یکسان اما با شکل های مختلف اتصال آزمایش شده است. نمونه اول CB1 با جزئیات آرماتور گذاری مرسوم بعنوان نمونه کنترل و دو تیر دیگر

(CB2,CB3) با تقویت بوسیله پلیت فولادی مهار شده باضخامت متفاوت طبق جدول ۲-۲ آزمایش شد.

ابعاد و آرماتورگذاری نمونه CB2,CB3 در شکل ۴-۲ دیده می شود و خواص مواد در جدول ۳-۲ آمده است.



[۴] شکل ۲-۴: ابعاد و آرماتورگذاری نمونه CB2,CB3

جدول ۲-۲: جزئیات تیر پیوند [۴]

Beam	Span-Depth Ratio	Plate Thickness	Plate Thickness
CB1	2.5	N/A	N/A
CB2	2.5	3mm	At Ends and Span of the Plate
CB3	2.5	6mm	At Ends of the Plate

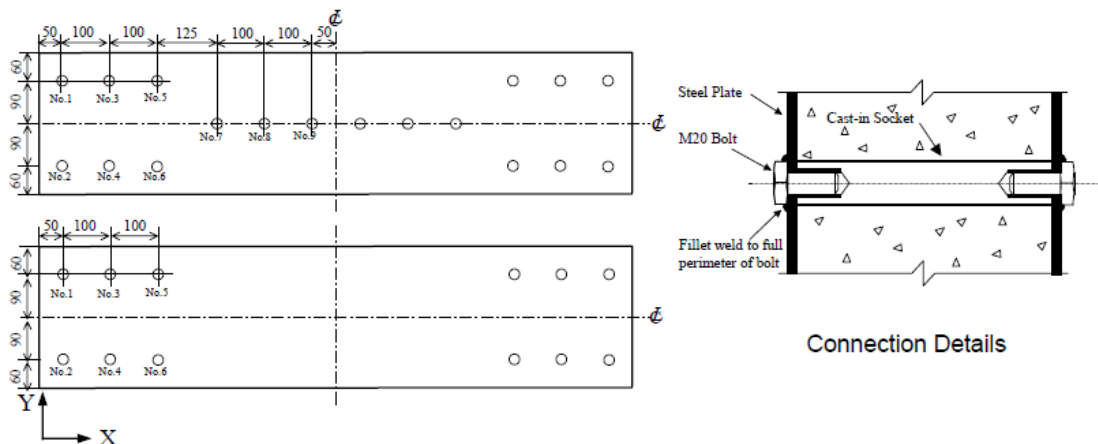
جدول ۳-۲: خواص بتن [۴]

Concrete	نمونه	F _{cu}	F' _{cu}
	CB1	50.2	43.9
CB2		49.1	42.8
CB3		44.3	42.6

جدول ۴-۲: خواص فولاد [۴]

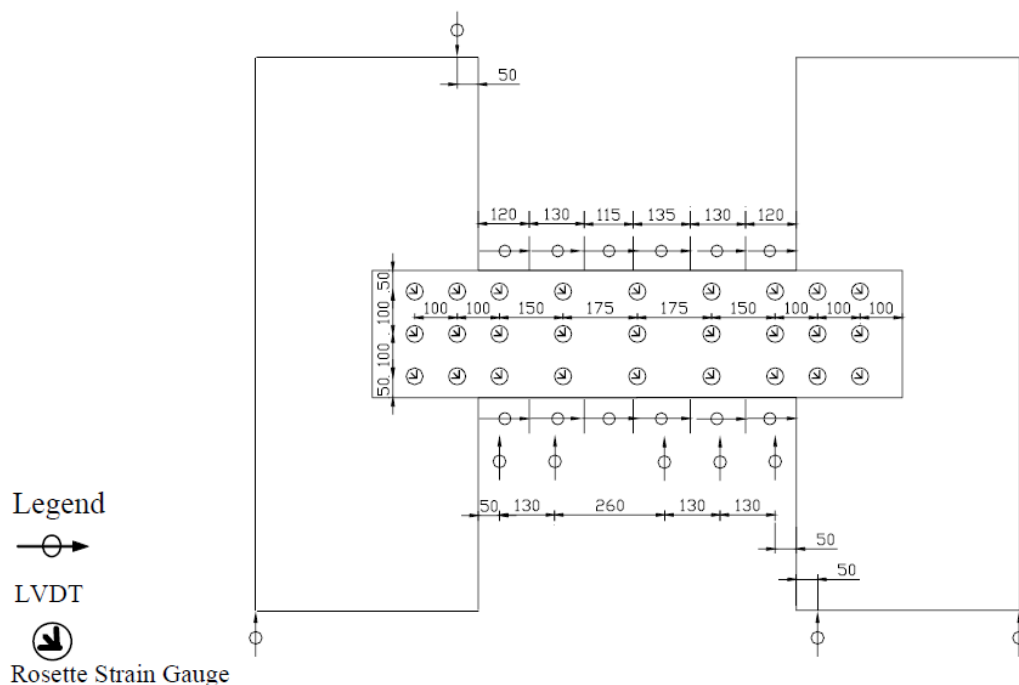
	نمره میلکرد و پلیت	F _y	Young's modulus
Steel Bar	R8	462.7	212000
	T10	571.0	211000
	T12	529.3	207000
	T16	549.2	210000
	T20	504.1	203000
Steel Plate	3mm	342.0	185000
	6mm	354.3	193000

طراحی نمونه کنترل، CB1 بر اساس اطمینان از شکست برشی قبل از شکست خمشی انجام شده است
برای دو نمونه (CB2,CB3) که با پلیت‌های فولادی با پیچ‌های مهاری مهار شده اند بوشن مهاری قبل
از بتن ریزی اختصاص یافته است. همه پلیت‌های فولادی 1250mm طول و 300mm عمق دارند. محل
قرار گیری پیچ‌های مهاری در هر دو نمونه در شکل ۱۵-۲ نشان داده شده است بعد از عمل آوردن
بتن، پلیت‌های خارجی با بوشن‌هایی که با بوشن‌هایی دو دور چرخانده می‌شوند، ثابت می‌شوندو قطر پیچ‌ها هم
است و قطر سوراخ 22mm کمی بیشتر از قطر پیچ است، تا اینکه خطاهای ساخت را پوشش دهد.



شکل ۱۵-۲: پلیت فولادی و جزئیات قرار گیری بولتها [۴]

همه پیچ‌ها با یک گشتاور پیچشی 100N.M بسته می‌شوند. سپس برای جلوگیری از هرگونه لغزش
پیچها به پلیت جوش می‌شوند. گیج‌های الکترونیکی برای بررسی کرنش بعلاوه تنش داخلی و توزیع
نیرو به آرماتورها و پلیت‌ها متصل می‌شوند. مبدل تغییر مکان خطی (LVDT) برای ثبت انحنای تیر
پیوند استفاده شده است. در شکل ۱۶-۲ نحوه قرار گیری LVDIS و گیج‌های دارنمونه CB3 نشان داده شده است.



شکل ۲-۱۶: نحوه قرارگیری گیج ها در نمونه CB3 [۴]

۲-۴-۲- نحوه انجام آزمایش

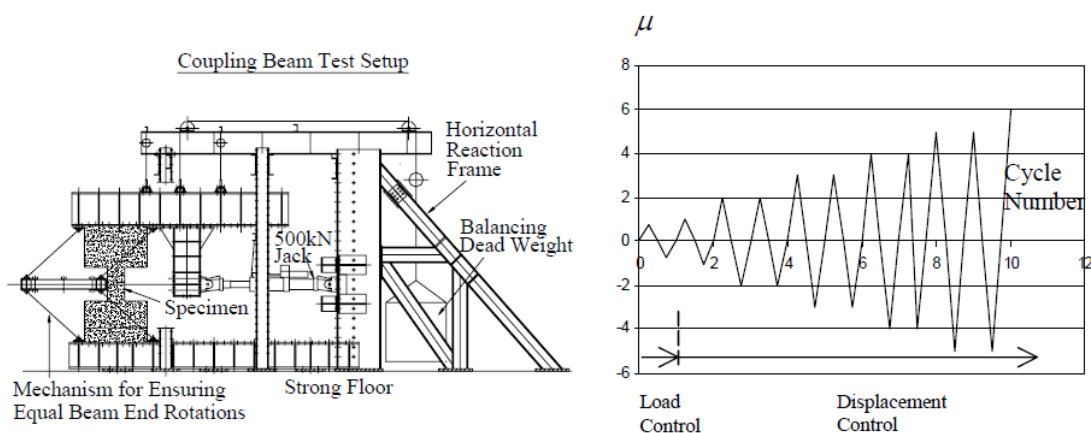
شکل های ۲-۱۷ و ۲-۱۸ نحوه آزمایش و بار گذاری را نشان میدهد. تیر پیوند تحت نیروی برشی ثابت در طول دهانه و یک تغییر ممان خمی به صورت خطی در وسط دهانه قرار می گیرد. و برای شبیه سازی مکان واقعی پایه های دیوار در دو انتهای تیر پیوند مکانیسمی در نظر گرفته شده است. بار گذاری متناوب معکوس ابتدا بر هر نمونه بصورت کنترل شده تا ۷۵٪ ظرفیت برشی تئوری وارد شد. سیکلهای بعدی تغییر مکان طوری کنترل شده است که نمونه تحت تغییر مکان برای ضریب شکل پذیری اسمی (μ_n) در سیکل اول قرار گرفته است.

چرخش تیر (θ) بصورت دیفرانسیل تغییر مکان بین دو انتهای تیر در راستای بار گذاری تقسیم بر طول خالص دهانه (L) تعریف می شود، که با استفاده از تغییر مکانهای اندازه گیری شده توسط محاسبه می شود. چرخش تسایم (θ_{yn}) با استفاده از مقدار متوسط متناظر با بار گذاری LVDIS

مثبت و منفی در ۷۵٪ نظرفیت برشی تئوری در زاویه تسلیم واقعی (θ_y) بدست می آید در شکل ۱۷-۲ جز بیان آزمایش دیده می شود.



شکل ۱۷-۲ تصویر نحوه آزمایش دیوار برشی کوپله بتونی [۴]



شکل ۱۸-۲: تصویر نحوه آزمایش وبار گذاری دیوار برشی کوپله بتونی [۴]

۲-۴-۳-نتایج آزمایش

۱- مقاومت و شکل پذیری

کار این نمونه با توجه به اطلاعات LVDT و کرنش های اندازه گیری و بوسیله آسیب های مشاهده شده و الگوی ترک ارزیابی می شود. جدول ۲-۵ جمع بندی نتایج آزمایش هر سه نمونه را نشان می دهد. پلیت های متصل شده باعث افزایش ظرفیت نهایی و شکل پذیری تیرهای نمونه CB2، CB3 می شود. برش نهایی V_{u^*} وزاویه چرخش قطعی نهایی اندازه گیری شده (θu) برای نمونه CB2 به ترتیب ۳۷ و ۲۳ درصد افزایش می یابد. ضریب شکل پذیری اسمی ماکزیمم که بصورت چرخش نهایی تقسیم بر چرخش تسلیم $\mu = \frac{(\theta u)}{(\theta y n)}$ تعريف می شوند، برای نمونه CB3 به ترتیب معادل $5/14$ است. ضریب شکل پذیری ماکزیمم که بصورت چرخش نهایی تقسیم بر چرخش اسمی تسلیم بدست آمده از آزمایش $\mu = \frac{(\theta u)}{(\theta y)}$ برای نمونه CB1 و CB2 و CB3 به ترتیب برابر $3/7$ و $4/8$ می باشد.

پلیت های متصل شده به مقدار کمی شکل پذیری تیر پیوند را کاهش می دهند. زیرا چسباندن پلیت فولادی شکل پذیر به تیرها باعث افزایش (θy) که کمی بیشتر از زاویه چرخش نهایی اندازه گیری شده است، می شود. شکل پذیری بصورت $\mu = \frac{(\theta u)}{(\theta y)}$ تعريف می شود بنابراین بوسیله اضافه کردن پلیت شکل می شود. تغییر شکل زیاد باعث خردشیدگی بتن در فشار و منجر به شکست نهایی بتن می شود.

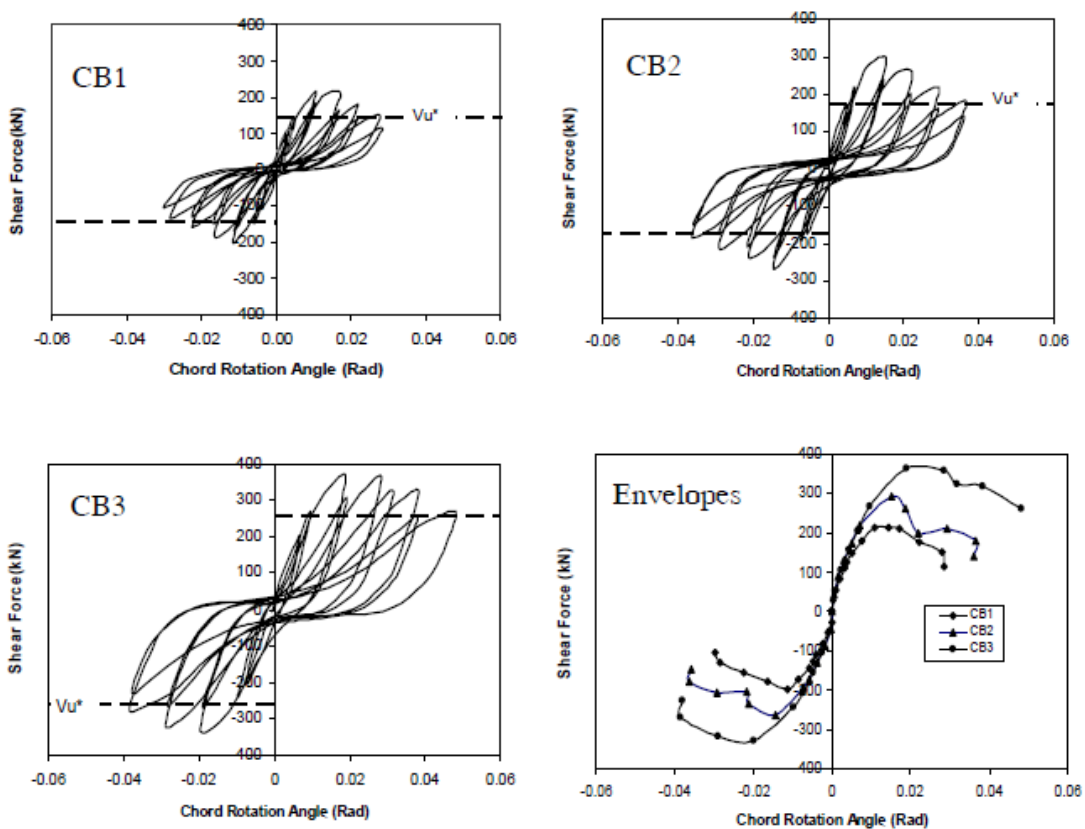
جدول ۲-۵: نتایج آزمایش دیوار برشی کوپله بتنی [۴]

Specimen	V_u^* (kN)	V_{max} (kN)	V_{max} / V_u	θ_{jm} (rad)	θ_y (rad)	θ_u (rad)	μ_u	μ
CB1	151	213	1.4	0.0048	0.0078	0.0297	6.2	4.0
CB2	232	291	1.3	0.0072	0.0095	0.0365	5.1	3.8
CB3	274	363	1.3	0.0095	0.0129	0.0482	5.1	3.7

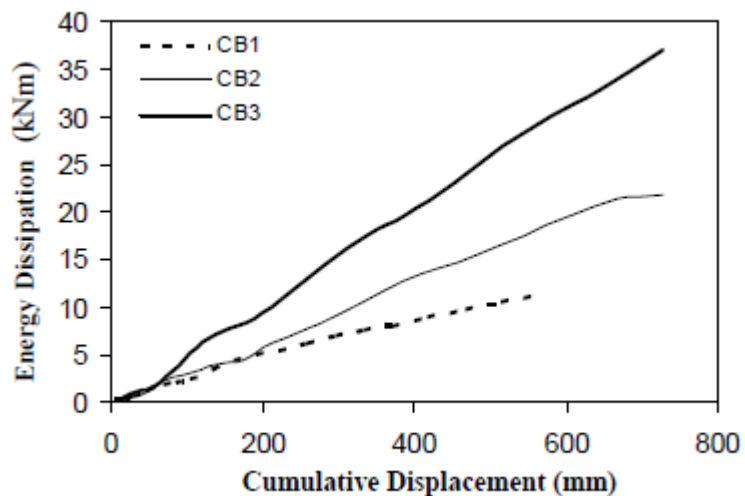
۲- منحنی بار-چرخش زاویه ای

شکل ۲-۹ نیروی برشی اعمال شده در مقابل زاویه چرخش را برای همه نمونه ها نشان میدهد.

در شکل دیده می شود که سختی خمشی همه تیرهای پیوند تقویت شده با پلیت در مقایسه با نمونه کنترل افزایش می یابد منحنی نیروی برشی -چرخش قطری نمونه CB1 نشان دهنده Pinching خصوصا در دامنه تغییر مکان های بزرگ است. که این Pinching باعث کاهش سریع سختی منحنی و کم شدن اتلاف انرژی می شود. منحنی برش -چرخش قطری در نمونه CB2 و CB3 مشابه هستند و کمتری دارند. هر دو نمونه نسبت به نمونه CB1 ظرفیت اتلاف انرژی و حلقه های هیستریک پایدارتری دارند.



شکل ۲-۱۹- پاسخهای هیسترتیک بار-زاویه دوران [۴]

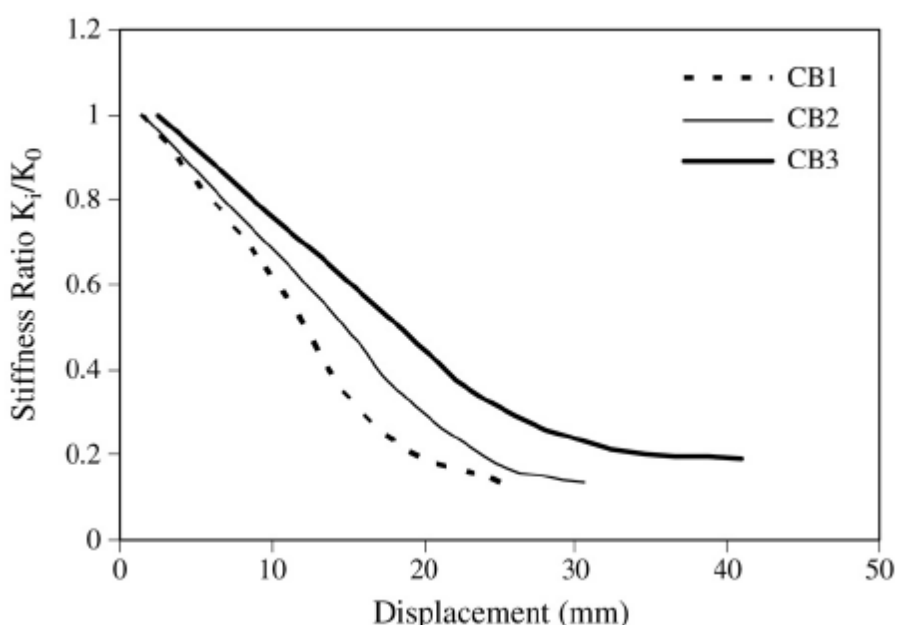


شکل ۲-۲۰- اتلاف انرژی [۴]

مقایسه اتلاف انرژی در CB2 و CB3 نشان میدهد که در بین دونمونه، تیر تقویت شده با پلیت ضخیم تر اتلاف انرژی بهتری دارد که دلیل آن این است که پلیت فولادی شکل پذیر بهتر تغییر شکل نشان میدهد و بهتر انرژی جذب میکند. در تغییر شکل های پلاستیک نتایج نشان میدهد که ورق های خارجی متصل شده می تواند بطور زیادی رفتار غیر الاستیک را در ترم هایی چون اتلاف انرژی بالا و کاهش افت مقاومت تیر پیوند بهبود ببخشد. کاهش سختی همه نمونه ها آزمایش شده در شکل ۲-۱۸ آمده است در این شکل سختی اولیه K_0 بصورت نیروی برشی نهایی تقسیم بر تغییر مکان تسلیم فرضی است.

۳- دیاگرام سختی نمونه ها

سختی اولیه K_0 برای CB1 و CB2 و CB3 به ترتیب برابر $37.46, 40.82, 30.6 \text{ kn/mm}$ است اگرچه باورق ضخیم تری تقویت شده است. سختی اولیه کمتری از CB2 دارد که ناشی از پارگی ناقص جوش اتصالات در CB3 است. با توجه به شکل ۲-۱ دیده می شود که تیرهای پیوند تقویت شده CB2 و CB3 در صد افت سختی کمتر و ظرفیت تغییر شکل بیشتری نسبت به تیر پیوند بتنی CB1 دارد.



شکل ۲-۲: کاهش سختی نسبت به جابجایی [۴]

٤-الگوی آسیب و ترک

الگوی ترک در همه پایه های دیوار در همه نمونه ها مشابه بود. در شکل ۲-۲ الگوهای ترک در گسیختگی همه تیرهای پیوند نشان داده شده است. مفاصل پلاستیک مجاور اتصال تیر به دیوار و خردشده‌گی بتن در امتداد آرماتورهای طولی را می‌توان در نمونه CB1 مشاهده نمود. مدهای آسیب بصورت شکست خمشی برشی طبقه بندی می‌شود. برای نمونه CB2 ترکها در امتداد دهانه تیر پیوند پراکنده شده اند و مفصل پلاستیک مهمی مشاهده نمی‌شود.

نحوه قرار گیری مهارها (BOLT) در تیر پیوند می‌تواند با روشهای طراحی بهینه گروه بولت مورد مطالعه قرار گیرد. مفصل پلاستیک شکل گرفته در انتهای تیر مشاهده می‌شود. پلیت فولادی ضخیم تر (6mm) می‌تواند موثر باشد و کمانش پلیت را کم کند بطوریکه باعث افزایش در ضربه شکل پذیری شود. پوشش بتن برای آرماتورهای اصلی تیر بتدريج تخریب می‌شود که ناشی از افزایش نیروی فشاری در طول تیر است. خردشده‌گی های بتن تحت فشار منجر به گسیختگی نهایی تیر می‌شود.

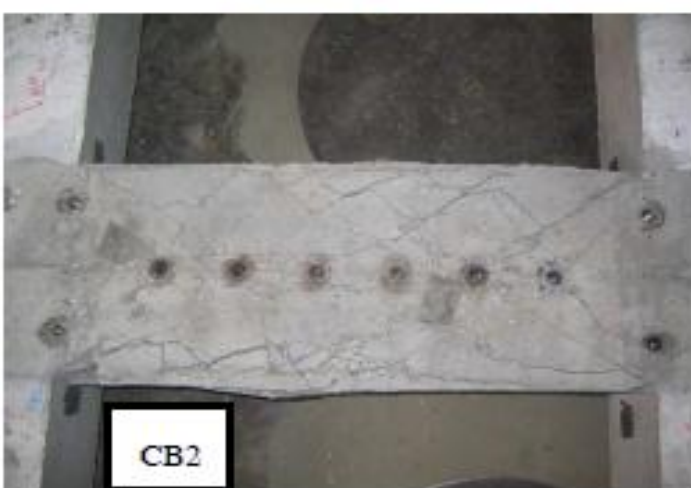
٥- رفتار پلیت فولادی خارجی

تنش و کرنش و نیروهای داخلی پلیت های خارجی فولادی را می‌توان بوسیله آنالیز اطلاعات بدست آمده از گلبرگ کرنش گیج های متصل شده به سطح پلیت به علاوه بصورت مشاهدات تغییر شکل های بزرگ مشاهده کرد. کرنش محوری و برشی در پلیت فولادی ابتدا با اندازه گیری کرنش بدست می‌آید. سپس بوسیله فرض تغییرات خطی کرنش بین گیج های کرنش و روابط تنش-کرنش نیروهای داخلی هر مقطع می‌تواند محاسبه شود.

شکل ۲-۳ تغییرات برشی و نیروی محوری در وسط دهانه در پلیت فولادی را نشان میدهد. نتایج نشان میدهد که پلیتهای فولادی برای CB2 و CB3 نیروی برشی بیشتری جذب می‌کنند که در نتیجه آن



CB1



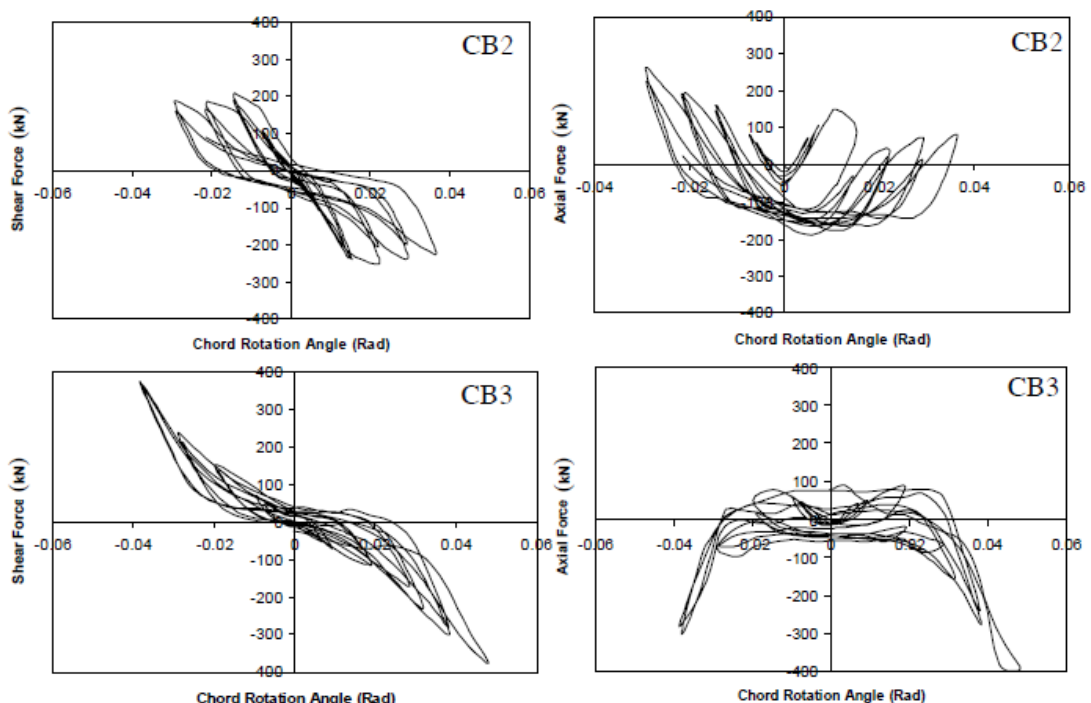
CB2



CB3

شکل ۲-۲: مدهای شکست نمونه ها [۴]

چرخش تیز افزایش می یابد. پلیت تقریبا همه نیروی برش را وقتی که ضریب شکل پذیری اسمی بیشتر از ۳ است تحمل میکند. برای CB2 مقاومت برشی پلیت فولادی بعد از ضریب شکل پذیری ۲+ به ماکزیمم مقدار میرسد که این به علت تسلیم موضعی و کمانش پلیت فولادی است و ظرفیت باربری را محدود میکند.



شکل ۲-۲۳: نیروهای داخلی مقطع - زاویه دوران [۴]

به علت طویل بودن تیربتنی، تحت بارهای تنابی نیروی کششی در پلیت فولادی وقتی که به نقاط ماکزیمم بارگذاری (در سیکل منفی یا مثبت) میرسد افزایش پیدا می کند.

بعد از ضریب شکل پذیری ۲+ تشکیل مفاصل پلاستیک دائمی رخ میدهد و در پلیت انسسات بوجودمی آید. سازگاری کرنش بین بتن آرمه و پلیت فولادی منجر به افزایش فشار در پلیت فولادی و تولید کشنش در بتن آرمه می شود.

انرژی اتلاف شده بوسیله پلیت فولادی CB3 کمتر از CB2 است. در طی آزمایش در پلیت فولادی ترکیبی از خمث، برش و نیروی محوری ایجاد می شود. وقتی که بار اعمال شده بیشتر از حد بحرانی شود نیروی فشاری قطری ایجاد شده سبب کمانش موضعی در ورق می شود. این پدیده برای تیر پیوند تقویت شده با پلیت فولادی در اثر بارهای متناوب یک حالت بحرانی است.



شکل ۲-۲ : مدهای کمانش موضعی پلیت فولادی خارجی در CB2 و CB3 [۴]

کمانش موضعی پلیت فولادی در نزدیکی اتصال تیر به دیوار رخ میدهد. همانطور که پلیت فولادی نازکتر که در نمونه CB2 استفاده شده است در مقایسه با CB3 کمانش های موضعی جدی تری در CB2 رخ میدهد. به علاوه بولتها که در طول دهانه تیر CB2 قرار گرفته اند کمانش را کنترل می کنند. علیرغم کمانش در پلیت فولادی کاهش زیادی در مقاومت CB2, CB3 پدید نمی آید که این به علت نیروی فشاری است که بوسیله پلیت فولادی به بتن بعد از کمانش پلیت منتقل می شود.

۶- نیروی توزیع شده در بولتها

بر مبنای کرنش اندازه گیری شده از گیج های گلبرگ کرنش متصل شده به سطح پلیت و روابط تنش-کرنش فولاد، تنش داخلی در مقاطع عرضی پلیت فولادی محاسبه می شود. نیروی بولتها از ارزیابی بوسیله

در نظر گرفتن تعادل نیروبر روی پیکره آزاد جسم از سمت چپ تا سمت راست پلیت بدست آمده است. جدول ۲-۶-الف نیروی توزیع شده بولتها در بار نهایی در نمونه CB2 را نشان میدهد.

۶-۲-الف نیروی توزیع شده در بولتها در نمونه CB2 [۴]

No. Force(kN)	Bolt1	Bolt2	Bolt3	Bolt4	Bolt5	Bolt6	Bolt7	Bolt8	Bolt9
X-Direction	-21.1	-21.1	10.0	10.0	30.1	30.1	-17.4	-7.2	-6.9
Y-Direction	33.6	3.5	8.1	-12.2	-5.7	20.8	-3.4	12.5	-3.8

۶-۲-ب نیروی توزیع شده در بولتها در نمونه CB3 [۴]

No. Force(kN)	Bolt1	Bolt2	Bolt3	Bolt4	Bolt5	Bolt6
X-Direction	-14.2	-14.3	-23.2	-23.2	-21.3	-21.3
Y-Direction	35.5	-25.5	5.9	23.4	3.2	28.6

نیروی بولتها در دهانه نمونه (بولت ۷ تا ۹) CB2 خیلی کوچکتر از نیروی بولت مهاری دیوار (بولت ۱ و ۲) است. نیروی بولتها در محلهای داخلی مهاری دیوار (بولت ۳ و ۴) نسبتاً کم است. همچنین نتایج نشان میدهد بولتها قسمتهای خارجی گروه و بولتها موجود در دهانه تیر تاثیر کم بر روی نیروی منتقل شده بین پلیت فولادی و بتون دارد. با این حال اهمیت بولتها در دهانه تیر در جلوگیری از کمانش پلیت است.

جدول ۲-۶-ب نیروی توزیع شده بین بولتها در نمونه CB3 را نشان می‌دهد. مشاهده می‌شود که نیروی بولتها در محلهای داخلی خیلی کمتر از نیروهای بولتهاست که در گوشه قرار دارند. ماکریم نیروی برش بوسیله بولتها kn ۴۰ است که خیلی کمتر از ظرفیت برش Kn ۹۱ همه بولتهاست. بر مبنای مشاهدات تجربی، بیشترین تاثیر نحوه قرار گیری بولتها در گروه بولتها برای چهار بولت گوشه در مها دیوار است.

۲-۵. رفتار لرزه ای و طراحی تیرهای پیوند فولادی در دیوار برشی های پیونددوگانه [۹]

۱-۵-۲: مقدمه

در ساختمان های چند طبقه بتن آرمه دیوار برشی پیوند دوگانه می تواند باعث فراهم آوردن سیستم سازه ای موثر برای مقاومت در برابر بارهای افقی ناشی از باد یا زلزله گردند. در دهه گذشته برنامه های آزمایش متعددی برای اندر کنش بین تیر پیوند فولادی و دیوار برشی بتنی انجام گرفته است آزمایش مسروج در دانشگاه Cincinnati مورد بررسی قرار گرفت. در مورد پاسخ های تیر پیوند فولادی و رفتار کلی سیستم دیوار برشی دو گانه آزمایش بر روی سیستم دیوار برشی دو گانه در دانشگاه mcgill,montreal منجر به یک نظریه در مورد طراحی این سیستم شد. مطالعه تجربی تیرهای پیوند کامپوزیت بتن و فولاد در دانشگاه Tsinghua برای بررسی تاثیر محدود کردن تیر پیوند در تسلیم برشی انجام شد. این مطالعه تجربی مقدمتا در ارتباط با رفتار چرخه ای غیر الاستیک تیر پیوند فولادی با سیستم دیوار برشی پیوند استاما به طور عمیق به بررسی مقاومت اتصال نپرداخته است. یک مطالعه تجربی در دانشگاه Chungnum در دانشگاه Daejeon نیز برای بررسی رفتار لرزه ای تیر پیوند فولادی در دیوار برش های دوگانه پرداخت. بر مبنای مشاهدات مطالعات تجربی، چندین نوع از تیرهای پیوند با جزئیات متفاوت به طوریکه در شکل ۲-۲ نشان داده شده است مورد بررسی قرار گرفت تعدادی از مطالعات قبلی نیز برای بررسی رفتار لرزه ای تیرهای پیوند فولادی در دیوار برش های دوگانه متمرکز شده بود. با این حال روش طراحی این تیرها با جزئیات اتصال و در نظر گرفتن گل میخ و خاموتهاي افقی مورد بررسی قرار نگرفته است.

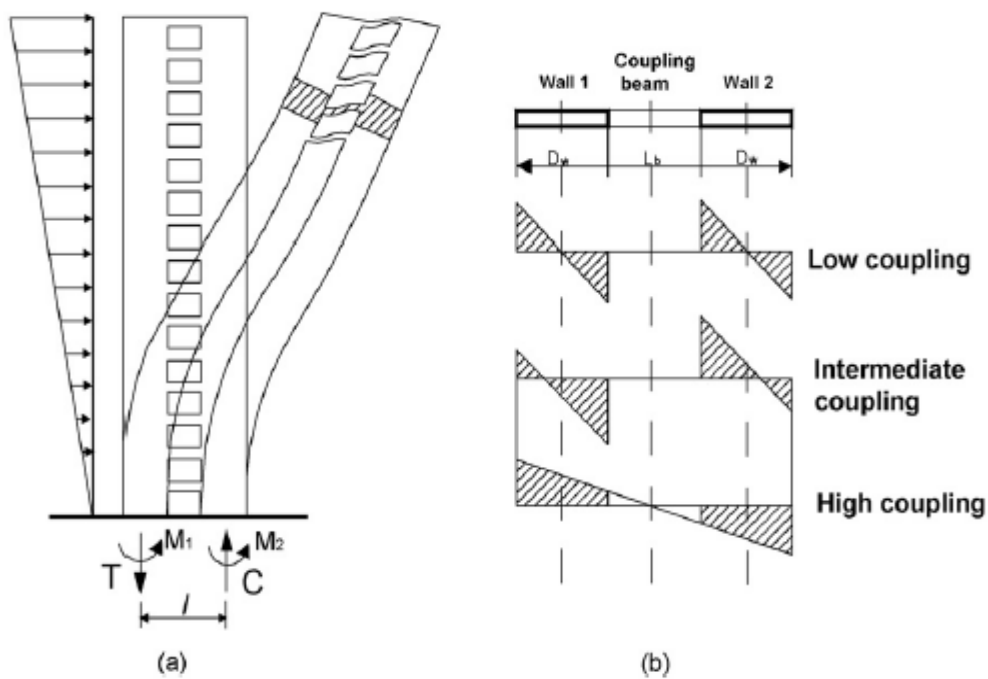
در مطالعه موجود رفتار لرزه ای تیر های پیوند فولادی و مکانیسم های شکست و پاسخ های هیسترزیس، مقاومت، سختی، طول مدفون موثر و مشخصه های اتلاف انرژی به علاوه روش طراحی لرزه ای ارائه می شود



Coupling beams: (a) concrete coupling beam (Harries et al., 2005), (b) PS coupling beam (Kurama and Shen, 2004), (c) composite coupling beam (Su and Zhu, 2005), (d) shear plate coupling beam (Fortney et al., 2006), (e) fuse coupling beam (Shahrooz and Fortney, 2005) and (f) HPFRCCs coupling beam (Yun et al.

شکل ۲۵-۲ چندین نوع از تیرهای پیوند باجزیهات متفاوت [۹]

تسلييم زودرس جان در دهانه آزاد تير پیوند فولادی قبل از آنکه شکست بتن اتفاق بیفتند نزدیک به وجه دیوار برشی رخ میدهد. نمونه FCF دهانه آزادی به طول 1200mm دارد که به صورت تیر پیوند با حالت خمش بحرانی طراحی میشود.



شکل ۲-۲۶: رفتار دیوار برشی کوپله دوگانه با چند درجه آزادی [۹]

۲-۵-۲: برنامه آزمایش

سازه شامل ۵ دیوار برشی بتن آرمه میباشد که بصورت هسته مرکزی به هم متصل هستند سیستم سقف دال میباشد و سیستم سازه ای قاب فولادی است برش و ممان طراحی در طبقه ۳۷ از همه طبقات بیشتر است. به همین دلیل تیرهای پیوند در این طبقه اهمیت زیادی دارند.

الف: مشخصات نمونه ها

ابعاد کلی دیوار و تیر پیوند فولادی استفاده شده در شکل ۲-۲۷ جمع بندی شده است. متغیرهای آزمایش و جزئیات مورد استفاده در این مطالعه در جدول ۲-۸ آمده است.

Test variables										
Detail	Specimen name	h (mm)	b_f (mm)	t_w (mm)	t_f (mm)	l_{clear} (mm)	l_c (mm)	l/h	Loading history	Predicted failure mode ^a
	SBVRF	350	175	7	11	800	300	3.43	C	CF
	SCF	244	175	7	11	600	300	3.43	C	SCF
	FCF	244	175	7	11	1200	300	3.43	C	FCF

^a CF, connection failure; FCF, flexural critical failure; SCF, shear critical failure.

جدول ۲-۷: مشخصات نمونه های آزمایش [۹]

Details of test specimens

Specimens	Stud bolts	Horizontal ties	Item		Eccentricity of vertical load ϵ (mm)	Remark
			In wall	In connections		
SBVRT	12- ϕ 19	4-HD10	HD13@230	HD13@230	+150	Connection failure $l/(M_n/V_n) = 1.8$
SCF	12- ϕ 19	4-HD10	HD13@230	HD13@230	+150	Shear critical $l/(M_n/V_n) = 1.4$
FCF	12- ϕ 19	4-HD10	HD13@230	HD19@100	+150	Flexure critical $l/(M_n/V_n) = 2.8$

جدول ۲-۸-جزییات نمونه های آزمایش [۹]

ب: مشخصات مصالح

Average concrete compressive strengths

Compressive strength (MPa)	Ultimate strain (μ)	Slump (mm)	Elastic modulus (GPa)	Poisson's ratio
30.0	2340	150	26.2	0.11

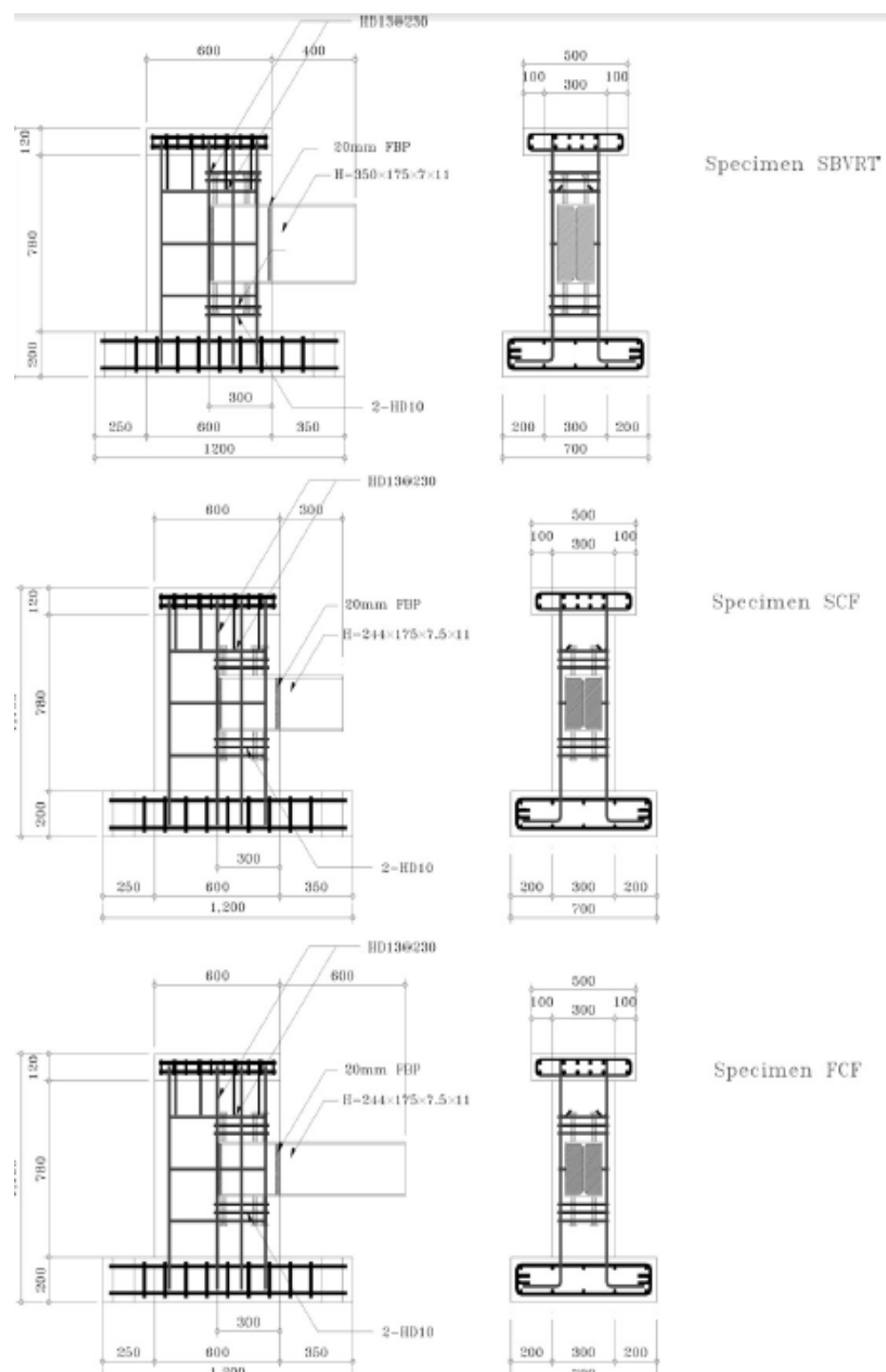
At the time of testing.

Mechanical properties of steel

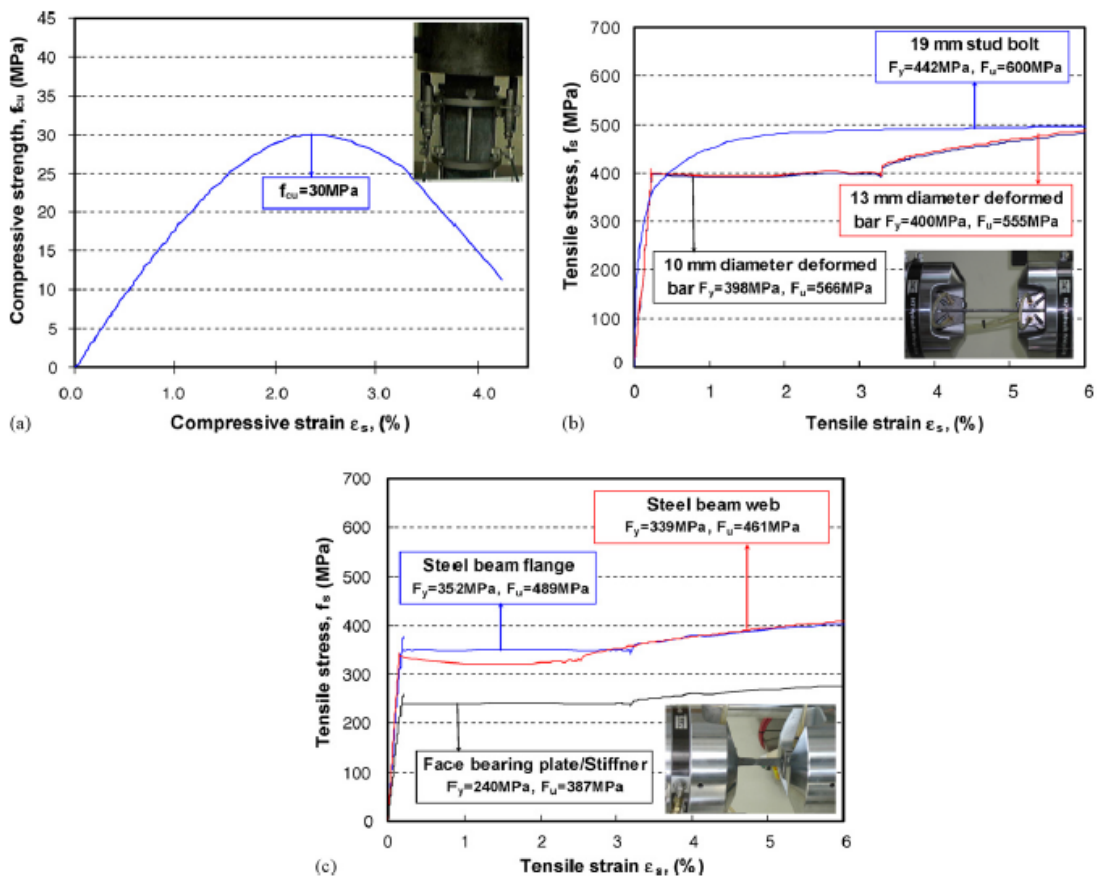
Type		Item			
		Yield strength f_y (MPa)	Yield strain $\varepsilon_y (\times 10^{-6})$	Elastic modulus E_z (GPa)	Ultimate strength f_{zu} (MPa)
Reinforcement	10 mm diameter deformed bar	398	2325	171.2	566
	13 mm diameter deformed bar	400	2533	157.9	555
Steel	Beam flange	339	1682	201.2	461
	Beam web	352	1827	192.7	489
Stud bolts	19 mm diameter deformed bar	362	1701	215.8	449

جدول ۲-۹: مشخصات فولاد و بتن [۸]

مقاومت ۲۸ روزه بتن 30Mpa هر سه نمونه مدنظر قرار می گیرد. ماکزیمم بعد سنگدانه ها برای اطمینان از تراکم خوب بتن است. در نمونه آزمایش اسلام پ بتن 150mm است. برای هر نمونه یک نمونه استوانه ای برای اندازه گیری مقاومت تهیه شد. مدول الاستیسیته و مقاومت فشاری با استفاده از روش های شرح داده شده در ASTM A370 انجام شد. قطر آرماتورهای افقی و قائم هستند. آزمایش کشش بروی همه ابعاد نمونه با توجه استاندارد ASTM A370 برای تعیین تنفس تسليیم و تنفس نهایی فولاد انجام شد.



شکل ۲-۲: جزیات تیرهای پیوندو اتصال تیر به دیوار [۶]

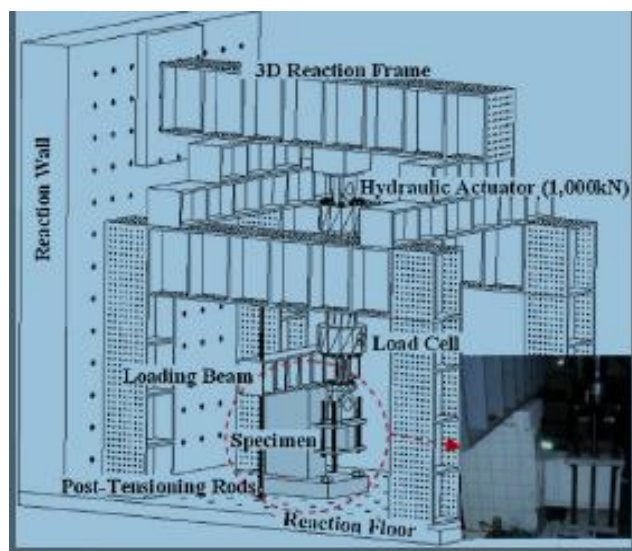


Material properties of concrete and steel: (a) concrete, (b) reinforcing steel, (c) steel coupling beam flange, web and FBP/Stiffner

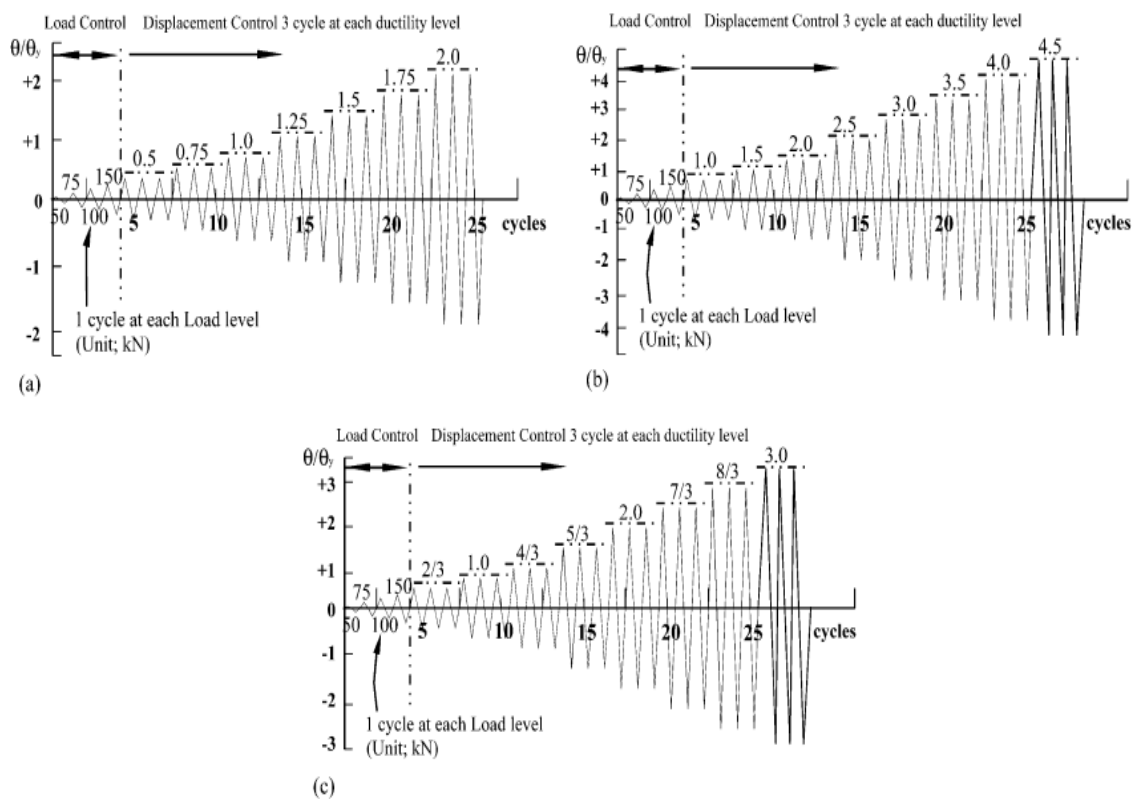
شکل ۲-۲: مشخصات مصالح بتن و فولاد [۹]

ج: روش آزمایش

یک دیاگرام شماتیک از آزمایش در شکل ۲-۲۹ آمده است. بار گذاری نمونه توسط ۲ محرک کنترل شونده که یک جک هیدرولیکی ۱۰۰۰kn برای اعمال بار به دیوار و جک هیدرولیکی ۲۰۰۰kn برای اعمال بار به تیر پیوند فولادی بکار گرفته می شود. هر دو محرک توسط کامپیوتر کنترل می شوند. جابجایی های همه نمونه ها برای تغییر مکان های مشابه با افزایش تدریجی دامنه کنترل خواهد شد. جابجایی های طبقه در طول تست در شکل ۲-۳۰ نشان داده شده است. θ نشان دهنده زاویه چرخش متناظر با جابجایی حد تسلیم تیر پیوند است. اطلاعاتی که از بار گذاری جکهای هیدرولیکی بدست می آیند شامل: خیز و زاویه دوران تیر پیوند، کرنش بتن در ناحیه مدفون و کرنش بال و جان تیر فولادی است.



شکل ۲۹-۲: روش آزمایش [۶]



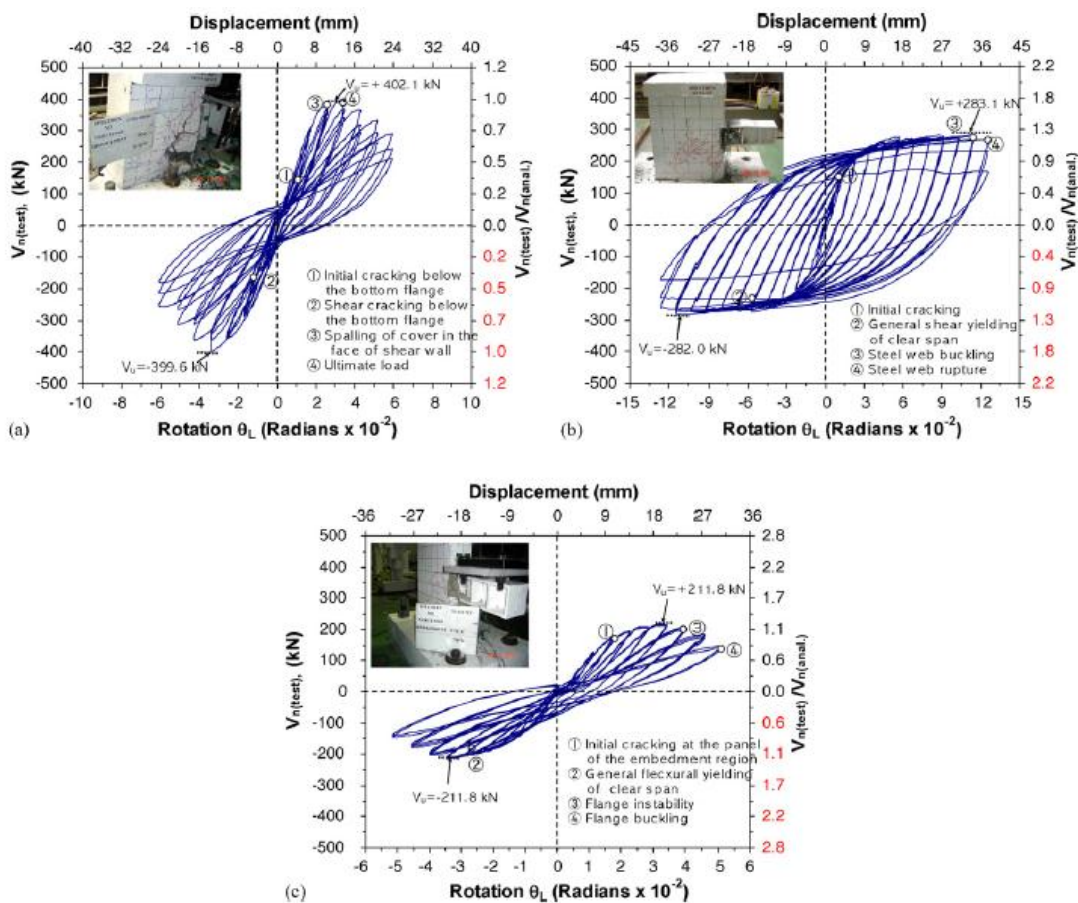
Displacement history: (a) load history 1 (Specimen SBVRT), (b) load history 2 (Specimen SCF), (c) load history 3 (Specimen FCF)

شکل ۲۹-۳: تاریخچه بارگذاری [۶]

۳-۵-۲-نتایج آزمایش

۱-الگوی ترک و پاسخ هیسترتیک

الگوی ترک و پاسخ های هیسترزیس نمونه های FCF، SCF و SBVRT در شکل ۳۱-۲ آمده است.



Load-rotational angle hysteretic loops: (a) Specimen SBVRT, (b) Specimen SCF, (c) Specimen FCF.

شکل ۲-۳۱: منحنی هیسترزیس بار - زاویه دوران [۹]

نمونه SBVRT ابتدا ترک های قائم در سطح تماس بتن و بال تیر فولادی در بالا و پایین بال با زاویه چرخش ۰.۰۱۷ رادیان مشاهده می شود. ترکهای مایل در سطح تماس بال و بتن با زاویه حدود ۰.۰۱۹ رادیان در سطح داخلی دیوار ادامه می یابند. شکست بتن در امتداد بالا و پایین تیر پیوند در جلوی ناحیه فشار ابتدا با زاویه ۰.۰۴۳ رادیان مشاهده می شود که در شکل ۳۱-۲ نشان داده شده است. در

نمونه SCF چندین کمانش جان در دهانه خالص تیر پیوند فولادی که منجر به شکست شده است در شکل ۲-۳۱ نشان داده شده است.

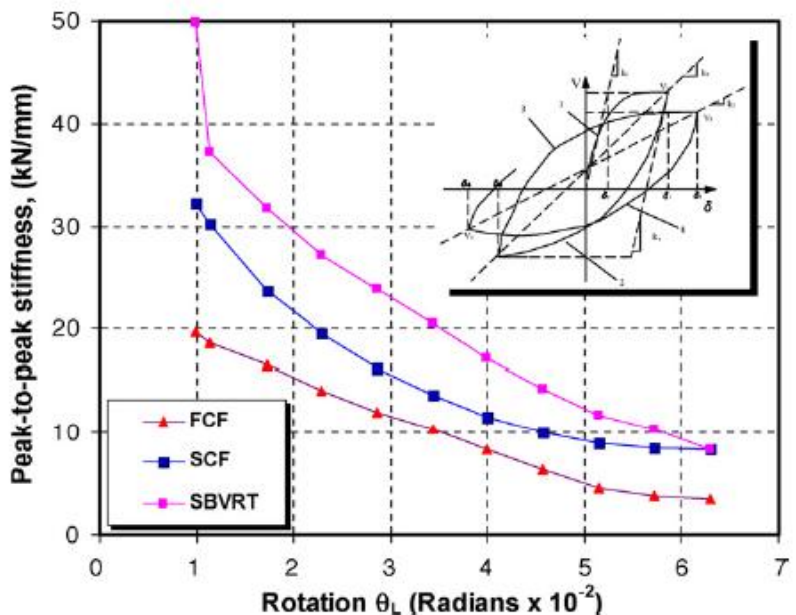
طول دهانه آزاد نمونه FCF ۱۲۰۰mm است که بر اساس رفتار خمشی تیر پیوند طراحی خواهد شد. پاسخ نمونه FCF به طور قابل توجهی صلبیت کمتری از نمونه SCF دارد. مفاصل خمشی در نواحی دور از ممان ماکریم رخ میدهد به طوریکه در شکل ۲-۳۱ نشان داده شده است با مشاهده مدهای شکست وقتیکه درجه خسارت سازه ها را درنظر می گیریم پیوند برشی برای بهسازی و احیا کردن معقولتر است.

۲- مشخصات سختی نمونه ها

شکل ۲-۳۲ افت سختی را در مقابل زاویه دوران نشان میدهد. اولیه سختی نمونه FCF، SCF و SBVRT در بین ۴۹.۸۲KN و ۱۹.۸۱KN قرار دارد اما در زاویه دوران ۰.۰۶۳ رادیان مقدار سختی همه نمونه ها مشابه به هم هستند. و بین ۳.۵۱- ۶.۲۹KN قرار دارد.

برای زاویه دوران ۰.۰۱۴ رادیان افت منحنی نمونه FCF، SCF و SBVRT ۹۴/۳٪، ۹۳/۹٪، ۷۴/۷٪ منحنی اولیه به ترتیب میباشد. افت منحنی کلی نیز همچنین برای نمونه FCF در مقایسه با SCF و SBVRT کمتر است. در مقایسه با نتایج آزمایش قبلی نسبت افت سختی در تیر پیوند برش بحرانی دهانه آزاد کوتاهتری نسبت به تیر با حالت خمش بحرانی دارد.

بر مبنای سه نتیجه آزمایش موثرترین نقطه ثابت تیر پیوند فولادی با میلگرد های فرعی در گوش دیوار با طول مدفون حدود $\frac{1}{6}$ تا $\frac{1}{5}$ طول می باشد. که این مقدار خیلی کمتر از $\frac{le}{4} - \frac{le}{3}$ که در آزمایش های قبلی یافت شده بوده است. برای افزایش درجه صلیب تیر پیوند فولادی در وجه دیوار وجود میلگرد های فرعی می توانند مفید باشند



شکل ۲-۳۲ افت سختی را در مقابل زاویه دوران [۱۹]

۳- جذب و استهلاک انرژی

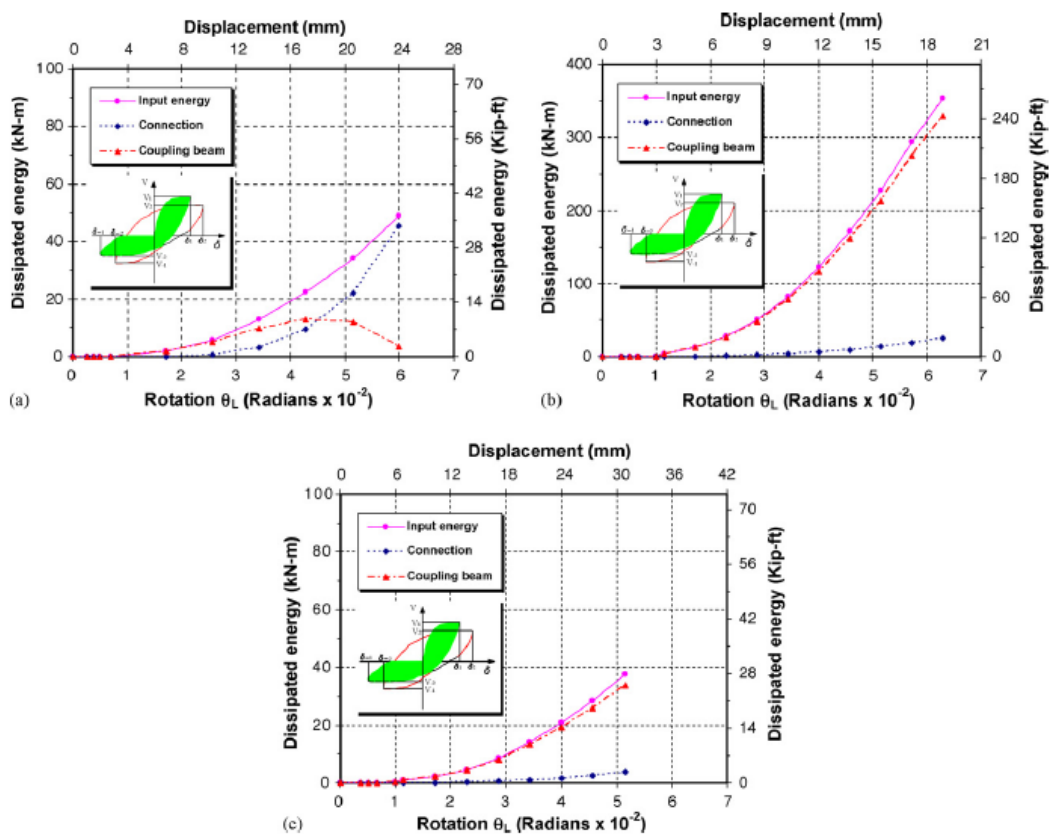
مشخصه های جذب انرژی یک عضو اهمیت زیادی بر روی کارایی لرزه ای عضو دارد. پاسخ های هیسترو تیک تیر پیوند فولادی متأثر از تسلیم تیر در بیرون از دیوار برشی و پلاستیک شدن در ناحیه اتصال (تسلیم تیر در نواحی مدفون و شکست بتن در اطراف اتصال) است.

شکل ۲-۳۳ توزیع انرژی ورودی را در مقابل زاویه دوران نشان می دهد، انرژی نهایی ورودی برای نمونه های FCF, SCF, SBVRT غالباً بوسیله عمل غیر الاستیک در نواحی اتصالات تلف خواهد شد. برای زاویه چرخش در حدود 0.043 بیشتر انرژی ورودی برای نمونه SBVRT غالباً بوسیله تیر پیوند که در شکل ۲-۳۳-a نشان داده شده است تلف می شود، به طوری که در شکل ۲-۳۳-b نشان داده شده است.

انرژی تلف شده بوسیله اتصال تیر پیوند-دیوار بیشتر از اتصال انتقال انرژی بوسیله تیر پیوند بعد از رسیدن

زاویه چرخش حدود 0.0515 رادیان است. فراتر از زاویه چرخش حدود 0.0515 رادیان آسیب های زیاد در اتصال تیر پیوند به دیوار پدید خواهد آمد.

برای نمونه SBVRT انرژی جذب شده بوسیله اتصال KN 45/29 در طی آزمایش بود و بیشتر انرژی ورودی غالباً توسط اتصال جذب می شود. برای نمونه SCF انرژی جذب شده بوسیله تیر پیوند فولادی به طور زیادی بیشتر از انرژی جذب شده توسط اتصال است به طوری که در شکل ۲ ۳۳-۲ نشان داده شده برای نمونه SCF انرژی جذب شده بوسیله تیر پیوند فولادی در زاویه چرخش حدود 0.0629 رادیان برابر KN 329/97 است که حدود ۱۳ برابر انرژی جذب شده توسط اتصال است. وجود گل میخ و plate و خاموتها در نواحی اتصال به طور مشهودی مشخصات اتلاف انرژی را بهبود می بخشد. برای نمونه FCF مشخصات انرژی جذب شده مشابه نمونه SCF است. انرژی جذب شده توسط تیر پیوند در زاویه چرخش در زاویه چرخش 0.0515 رادیان برابر 33.67KN است.



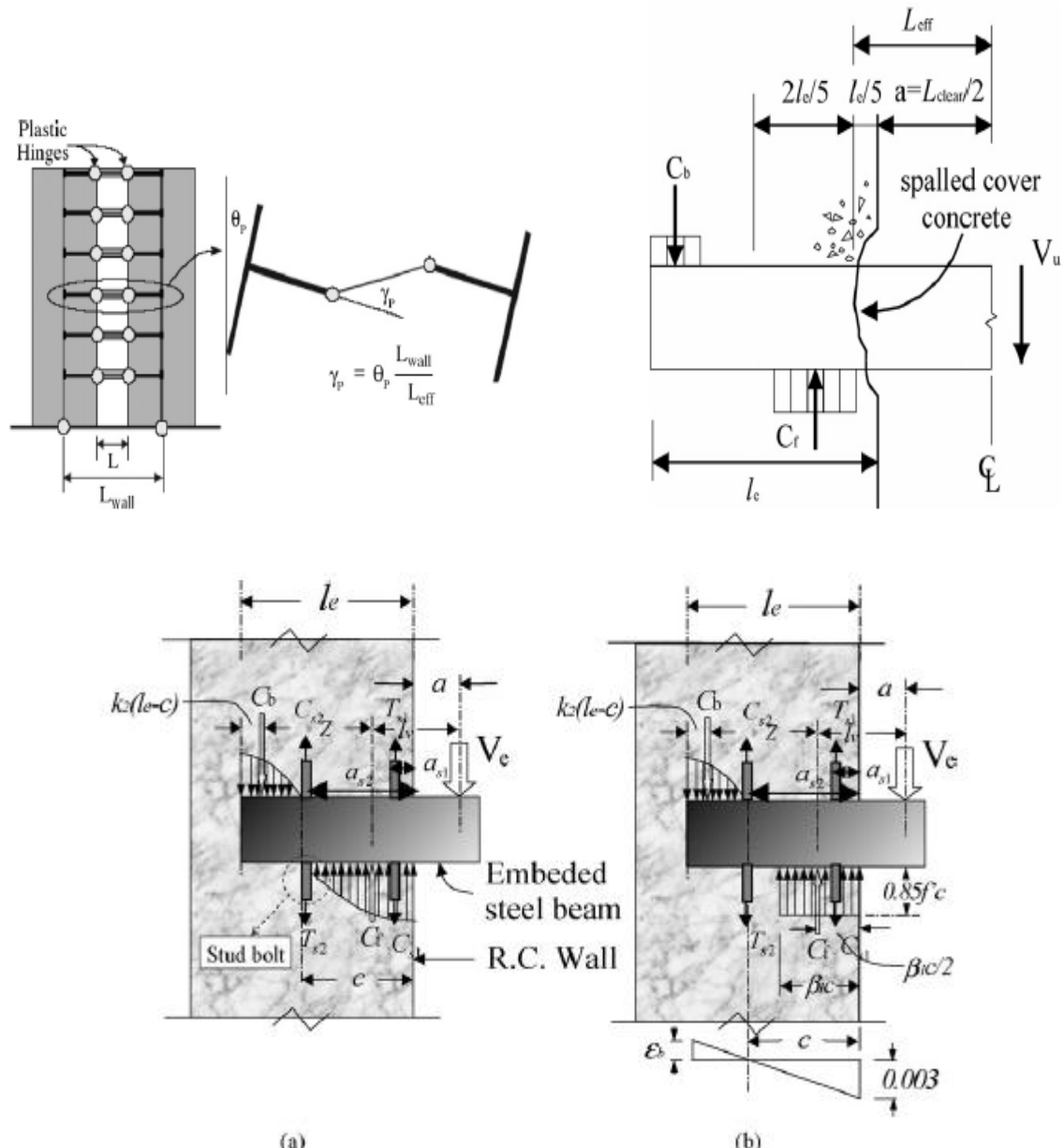
Distribution of dissipated energy: (a) Specimen SBVRT, (b) Specimen SCF, (c) Specimen FCF.

شکل ۲-۳۳: توزیع انرژی ورودی در مقابل زاویه دوران [۱۹]

۲-۵-۴ روش طراحی

روش طراحی استفاده شده در طراحی تیرهای پیوند مانند تیرهای رابط در بادبندهای برون محور است که بر اساس AISC 2002 طراحی می شود. این زاویه با توجه به مکانیسم شکست نشان داده شده در شکل ۲-۳۴ محاسبه خواهد شد، که این متناظر است با رفتار قابل انتظار از دیوار برشی دوگانه، مفاصل پلاستیک در پایه و در انتهای دیوار اتفاق می افتد. مقدار زاویه دریفت پلاستیک θ_p بصورت $C_d \theta_e$ است که θ_e زاویه دریفت الاستیک است که از آئین نامه ICBO 2000 بدست می آید. با دانستن زاویه برش θ_p زاویه برش Y_p بصورت $\frac{\theta_p L_{wall}}{L_{eff}}$ بدست می آید. که در آن L_{wall} فاصله بین محور مرکزی دیوار برشی و فاصله موثر تیر پیوند فولادی است. بر مبنای نتایج آزمایشات، در حالتی که رفتار برشی است و برش

حاکم است قابلیت جذب انرژی بیشتر است نسبت به حالتی که اتصال شکست پیدا می کند یا تسليم تیر پیوند خمشی است. بنابراین برای رفتار مطلوب تیرهای پیوند دوگانه تسليم برشی در نظر گرفته می شود. چون مزایای بیشتری برای طراحی تیر پیوند بصورت یک عضو با تسليم برشی دارد.



شکل ۲-۳۴: توزیع تنش در ناحیه اتصال تیر پیوند به دیوار [۹]

الف : طراحی طول تیر پیوند برشی

گام ۱: برای پایداری در برابر نیروی برش مساحت جان مورد نیاز (A_n) با توجه به ظرفیت برش اسمی

بدست می آید V_{u}

$$V_u \leq \Phi_v 0.60 F_y A_w = \Phi_v 0.60 F_y (h - 2t_f) \quad (24-2)$$

که Φ_v ضریب کاهش مقاومت برای نیروی برشی و مقدار آن $6/9$ و h ارتفاع کلی مقطع میباشد.

گام ۲: برای اینکه حالت برش حاکم باشد مقدار Z مورد نیاز از معادله زیر بدست می آید. و مقطع باید

طوری انتخاب شود که ممان مقاوم M_s بزرگتر از ممان معادل برشی کرنش سخت شدگی در برش باشد.

$$Z_{req} = M_s / (\Phi_b F_y) \quad (25-2)$$

$$M_s = L_{eff} \frac{V_p}{2} = \{(L_{clear} + 2L_e/5)/2\} * 1.35 V_p \quad (26-2)$$

که Φ_b ضریب کاهش مقاومت برای لنگر خمشی و مقدار آن $9/6$ ارتفاع کلی مقطع و t_f ضخامت بال

تیر پیوند w ضخامت جان تیراست. ضریب $1/35$ برای تعریف کرنش سخت شدگی جان تیر پیوند در نظر

گرفته می شود. در تعیین Z_{req} باید از جان صرف نظر شود چون در برش باید تسلیم شود.

گام ۳: برای اطمینان از عدم کمانش موضعی بال و جان باید روابط زیر برقرار باشد.

$$h/t_w \leq 3.05 \sqrt{\left(\frac{E_s}{F_y}\right)} \quad (27-2)$$

$$b_f/t_f \leq 0.31 \sqrt{\left(\frac{E_s}{F_y}\right)} \quad (28-2)$$

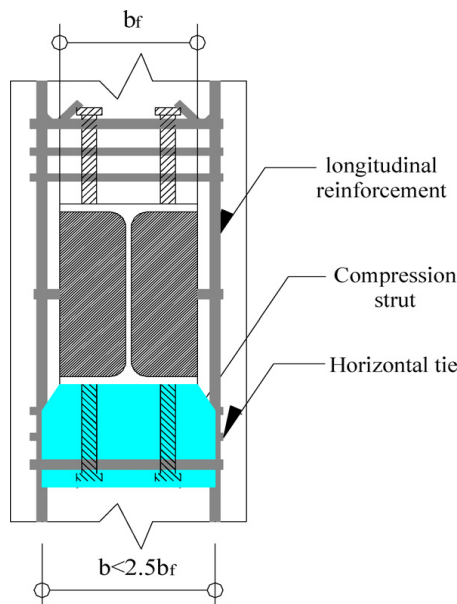
گام ۴: سخت کننده های میانی در ناحیه مدفون تیر پیوند در طول معادل برای نقاط ثابت موثر از وجه

دیوار باید تعبیه گردد. این سخت کننده ها برای تضمین اینکه در جان خوش رخ ندهد قرار داده می

شوند و اگر طول مدفون کم باشد سبب خرد شدگی کاور خواهد شد.

ب: طراحی طول مدفعون تیر در دیوار

شکل ۲-۳۴-۲ نش و کرنش فرض شده و واقعی را برای یک تیر پیوند در محل اتصال با دیوار نشان می دهد. تنش فشاری در بتن در بالا و پایین مقطع مدفعون که ناشی از V_n که در فاصله ای ازوجه دیوار عمل می کند در شکل ۲-۳۴-۲ نشان داده است. برش اعمال شده V_n بوسیله یک ممان داخلی ناشی شده از C_b و C_f تحمل می شود. برای محاسبه تنش در بتن در تنش نهایی فرض می شود به صورت شکل ۲-۳۴-۲ باشد. تنش سهمی شکل گسترده پایین تیر پیوند مدفعون با تنش گسترده مستطیلی معادل می شود که معادل ۰.۸۵Fc است که در بند ۷-۲-۰ آین نامه ACI318-05 آمده است. تنش سهمی شکل بالای تیر پیوند فرض می شود از روابط تنش-کرنش پیروی کند که به وسیله park,kent ارائه شده است. روابطی برای مقاومت اتصال تیر به دیوار بوسیله ممان گیری به مرکز عمل Cb برای محاسبه طول مدفعون مورد نیاز Le ارائه داده است.



شکل ۲-۳۵-۲: طول موثر تیر کوپله [۶]

$$1.35Vn < \phi Ve = \phi_c f_b \beta_1 b L_e \left(\frac{0.58 - 0.22\beta l}{0.88 + a/le} \right) + \phi s \left(\frac{2 \left(0.88 - \frac{a}{le} \right) \sum_{i=1}^n As_i s_i}{0.88 + \frac{a}{le}} \right) (N)$$

$$fb = 4.5 \sqrt{(f'c)} (t/b)^{0.6} (MPa)$$

فصل سوم

معرفی نرم افزار و صحت سنجی

روش تحلیل مسائل مهندسی :

به طور کلی برای حل مسائل فیزیکی سه روش موجود است:

۱-روش تحلیل دقیق (Exact Solution)

۲-روش عددی (Numerical Solution)

۳-روش تجربی (Experimental Method)

در حل دقیق همان طور که از نام آن پیداست به محاسبه دقیق پارامترهای معادلات دیفرانسیل حاکم بر میدان های فیزیکی همچون میدان تنش، میدان حرارتی یا میدان الکترومغناطیسی و ... پرداخته می شود. در حالی که در روش دوم به حل تقریبی و عددی این مسائل پرداخته خواهد شد. روش تجربی یا آزمایشگاهی نیز با توجه به اینکه مبتنی و بر گرفته از خود واقعیات است، روشی مناسب اما پرهزینه و زمان بر است. در این میان روش های عددی که روش اجزای محدود نیز زیر مجموعه آنها می باشد از کاربردی ترین روشهای مورد استفاده در حل مسائل مهندسی است. از جمله مزیت های حل عددی خصوصا اجزاء محدود، نسبت به سایر روش ها به شرح زیر است:

۱- ضعف عمدی روشهای آزمایشگاهی، پرهزینه و زمان بر بودن آن است. در حالی که در روش حل عددی این چنین نیست.

۲- روش حل دقیق از تحلیل مدل های با هندسه پیچیده عاجز است و تنها روشهای عددی به خصوص اجزاء محدود در این زمینه کاربرد دارد.

۳- در حل مسائلی که شرایط مرزی کمی پیچیده می شود نیز حل دقیق ناتوان است و تنها روش های مرسوم عددی در حل این گونه مسائل به کار می رود.

انتخاب نرم افزار : ABAQUS

نرم افزار ABAQUS یک نرم افزار اجزا محدود است که در حل مسائل مهندسی کاربرد بسیار دارد. این نرم افزار در سال ۱۹۷۷ توسط دکتر هیبیت برای حل مسائل اجزا محدود ارائه شد. این نرم افزار

بسیاری از نقطه ضعفهای نرم‌افزارهای دیگر المان محدود را جبران کرده است. این نرم افزار شامل سه بخش اصلی است. ABAQUS/Standard برای حل تمام مسائل خطی و غیر خطی شامل مسائل استاتیکی و دینامیکی، ABAQUS/Explicit برای مدلسازی مسائل دینامیکی گذرا مانند ضربه، برخورد و همچنین مسائل شبه استاتیکی و ABAQUS/CAE که یک رابط گرافیکی در نرم‌افزار بوده و با استفاده از آن می‌توان مراحل مدلسازی و تعیین شرایط مرزی و بارگذاری اعمالی را به سادگی انجام داد. همچنین خروجی‌های گرافیکی این نرم افزار توسط همین رابط گرافیکی نمایش داده می‌شود. لازم به ذکر است که نرم‌افزار مورد استفاده برای انجام تحلیل‌ها در این تحقیق 6.12-3 ABAQUS می‌باشد. برخی از مزیتهای این نرم افزار که باعث انتخاب آن گردیده است شامل موارد زیر می‌باشد:

۱- دقیق بالای نرم‌افزار در تحلیل مسائل مختلف مهندسی

۲- امکان اعمال هر نوع بارگذاری

۳- قابلیت بسیار بالا در مدل سازی انواع سازه‌های فلزی و بتُنی

۴- داشتن مدل‌های رفتاری متنوع الاستیک - پلاستیک مصالح قلزی و بتُنی

۵- در دسترس بودن نرم‌افزار

۶- داشتن یک مجموعه بسیار کامل راهنمایی و نزدیک به ۴۰۰۰ صفحه تئوری، راهنمایی و مثال

۷- تنوع بسیار زیاد المان‌های موجود در کتابخانه نرم افزار، و در دسترس بودن المان‌های مختلف

۳-۱. معرفی کلی نرم افزار

امروزه در دنیای صنعت نرم افزار ABAQUS به عنوان یکی از کاربردی‌ترین و حرفه‌ای ترین برنامه‌های اجزا محدود شناخته شده است. پس از مدتی کار با این برنامه، دو مزیت بسیار بزرگ نسبت به سایر برم افزارهای موجود در آن یافت می‌شود:

اول آنکه این برنامه در تحلیل‌های معمولی (که سایر نرم افزارها نیز قادر به انجام آنها هستند) مشخصاً دارای قابلیت بسیار زیادی است. به عنوان چند نمونه کوچک می‌توان به موارد زیر اشاره کرد:

۱-المان های موجود در ABAQUS بسیار متنوع تر، دقیق تر و تخصصی تر از نرم افزارهای مشابه است. به عنوان مثال، المان Shell در این نرم افزار، گستره وسیعی از نسبت های طول به ضخامت را شامل می شود. به عبارت دیگر، نرم افزار قادر به تحلیل سازه های پوسته ای کم ضخامت و ضخیم با دقت بسیار بالایی به کمک المان Shell است.

۲-شاید یکی از عیب های نرم افزارهای تجاری موجود، ضعف مدل سازی در آن ها باشد. اما در این میان ABAQUS با امکانات بسیار زیادی که برای مدل سازی دارد، حتی با نرم افزارهای تخصصی مدل سازی رقابت می کنند. به عنوان مثال امکان ساخت چندین قطعه (part) و سپس کنار هم قرار دادن قطعات (Assembly) و قابلیت اصلاح مدل در مراحل مختلف مدل سازی از جمله این امکانات هستند.

۳-در صورت وجود هر گونه اشکال که منجر به متوقف شدن حل شود، نرم افزار با دادن پیغام خط، کاربر را برای رفع عیب در حد مطلوبی راهنمایی می کند.

۴-یکی از موارد بسیار معمولی در مسائل علمی، وجود تماس بین چندین قطعه است. برنامه ABAQUS با تاکید خاصی که در این بخش دارد، تحلیل چنین مسائلی را بسیار ساده و دقیق تر از سایر نرم افزار های مشابه انجام می دهد.

۵-یکی از موارد کاربردی نرم افزارهای اجزا محدود، تحلیل دینامیکی به کمک روش Explicit است که معمولاً استفاده از آن بسیار پیچیده است. تحلیل دینامیکی به کمک روش Explicit در برنامه ABAQUS نسبتاً ساده تر و دقیق تر از سایر برنامه هاست. در عین حال، یکی از مشکلات استفاده از روش Explicit طولانی شدن زمان تحلیل می باشد. ABAQUS با استفاده از روش های زمان بندی بسیار دقیق، تا حد قابل قبولی این مشکل را حل کرده است.

۶-برنامه ABAQUS در ایجاد مش بندی مناسب بسیار قدرتمند است و در نتیجه می توان حتی برای مدل های پیچیده، مش مناسبی ایجاد کرد.

۷- تمامی قید ها و بارهای خارجی توسط کاربر روی مدل هندسی ایجاد می شود نه روی مدل اجزا محدود؛ به این ترتیب در صورت لزوم به ایجاد تغییر در مدل اجزا محدود، لازم نیست بارها یا قیود دوباره اعمال شوند.

۲-۳. سیستم المان محدود آباکوس

آنالیزهای المان محدود در حالت کلی دارای مرحله زیر است:

۱- پیش پردازش

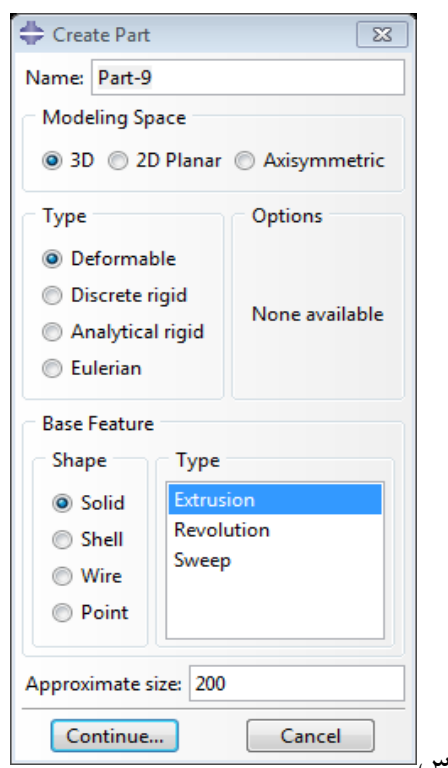
۲- تحلیل المان محدود

۳- پردازش نتایج

فایل نتایج می تواند شامل تمام یا قسمتی از اطلاعات زیر باشد:

تنش - کرنش - تغییرمکان - سرعت - شتاب - عکس العمل و غیره.

۲-۳-۱- معرفی Part

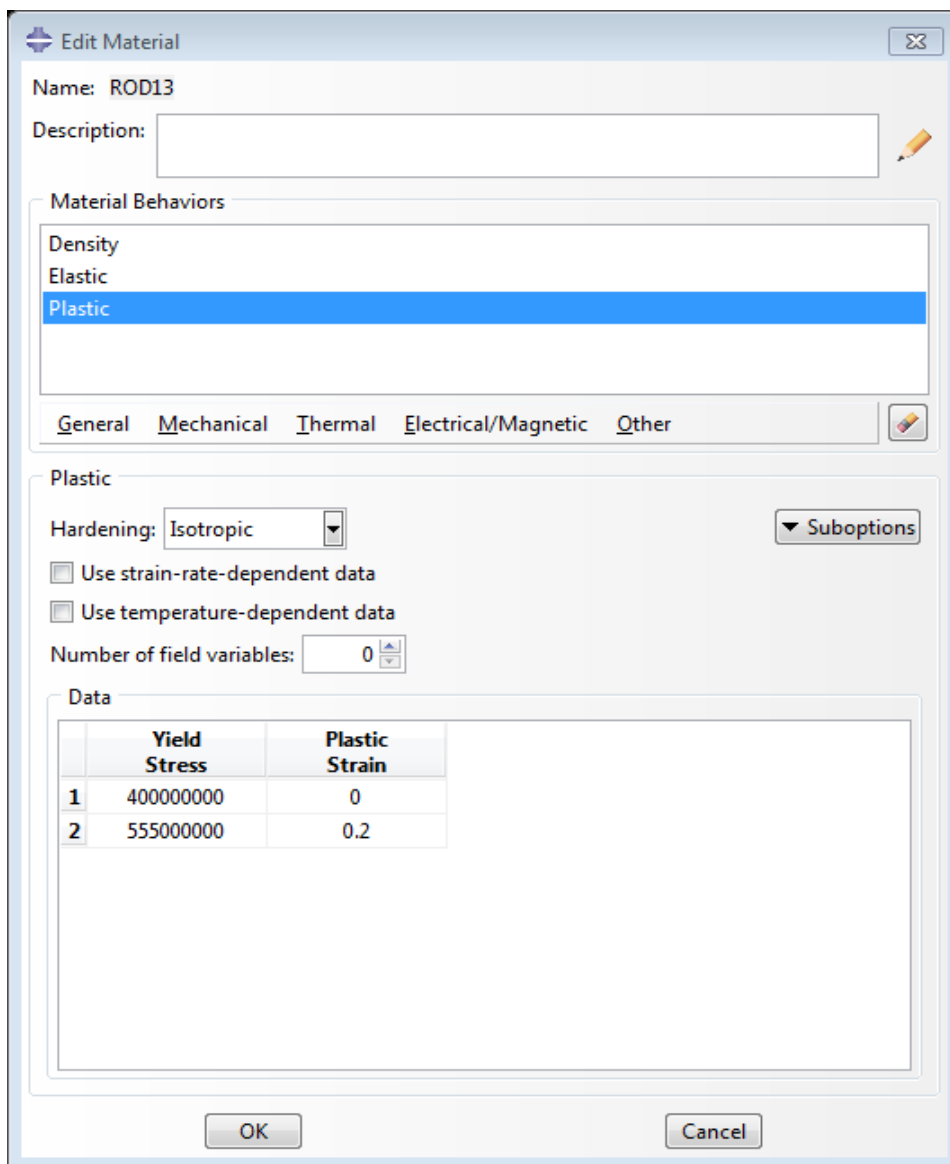


شکل ۳-۱- پنجره part

در محیط part شکل هندسی سازه ایجاد می گردد. با انتخاب نوع و شکل پایه، تک تک اجزا رسم می شود و به محیط part انتقال می یابد.

۲-۲-۳ تعیین خواص در property

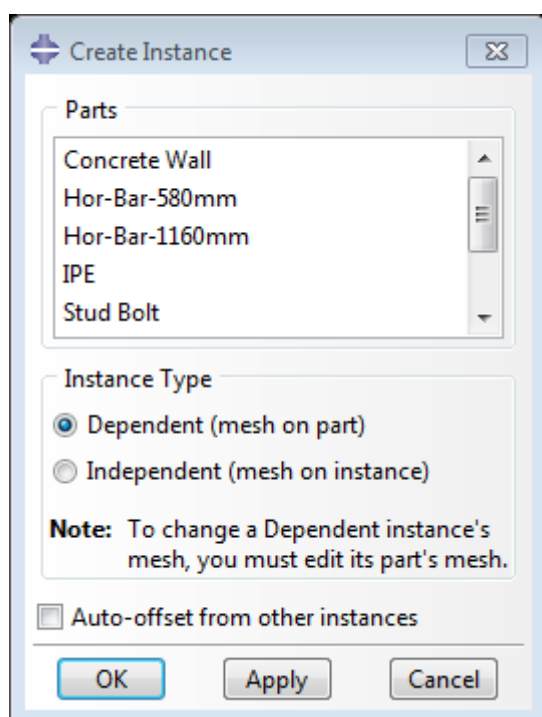
در این محیط نوع و خواص ماده معرفی می شود. یکی از ویژگی های این نرم افزار، گستره وسیع آن در تعریف انواع مدل های رفتاری برای مصالح است.



شکل ۳-۲- پنجره property

۳-۲-۳- مونتاژ کردن قطعات

در این محیط قطعات به هر تعداد دلخواه مونتاژ می‌گردند. لازم به ذکر است که اگر حتی مونتاژی در کار نباشد، باید قطعه را وارد این محیط کرد. در حقیقت این محیط، قطعه خام ساخته شده در مراحل قبل را کاربردی می‌کند.

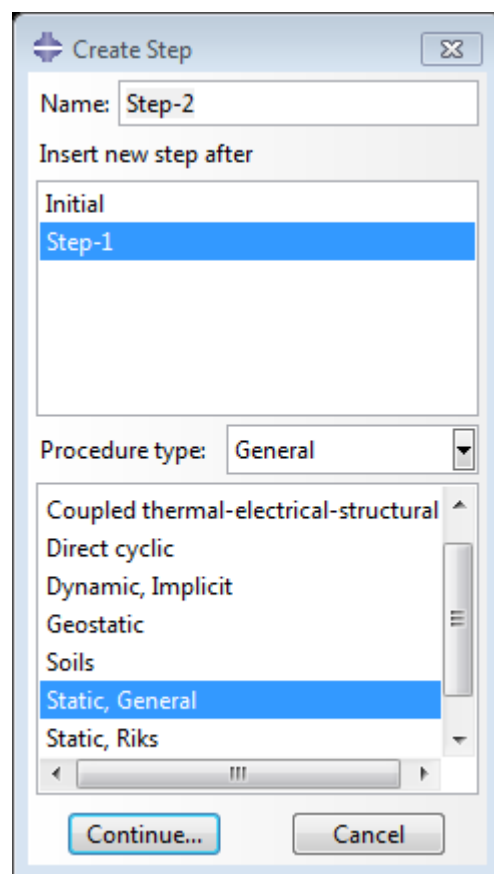


شکل ۳-۳ پنجره Assembly

Step ۴-۲-۳ مرحله

در این مرحله می توان نوع حل و تعداد مراحل حل را انتخاب نمود. نوع حل می تواند استاتیکی، دینامیکی، انتقال حرارت و... باشد.

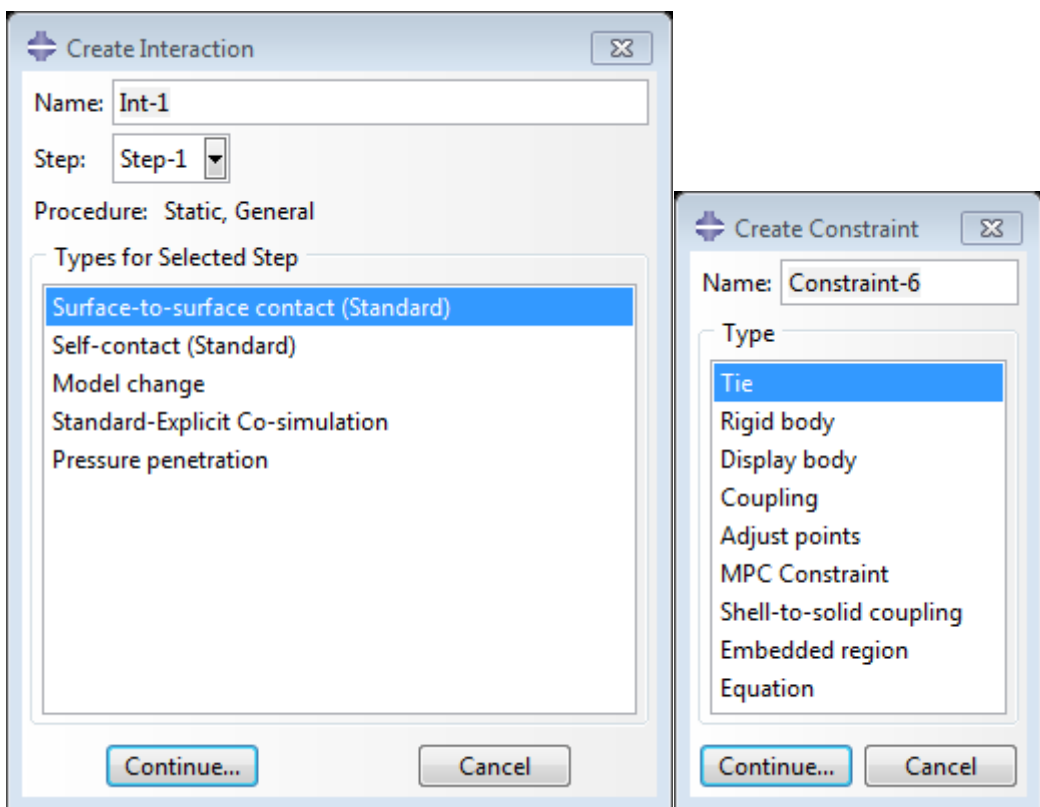
در این تحقیق نوع حل General Static مد نظر است.



شکل ۴-۳ پنجره Step

Interaction ۵-۲-۳ مرحله

این محیط برای ایجاد اتصالات، قیود، و تعریف تماس بین دو سطح به کار می رود.



شکل ۳-۵: پنجره قیود و سطوح تماس

۶-۲-۳- مرحله بارگذاری و ایجاد شئراپت مرزی (Load)

محیط creat load برای بارگذاری انجام می‌شود. ما بر اساس نوع step انتخاب شده می‌توانیم بارگذاری را انجام دهیم.

این قسمت شامل بارهای زیر است:

Concentrated Force : نیروی متمرکز نقطه‌ای

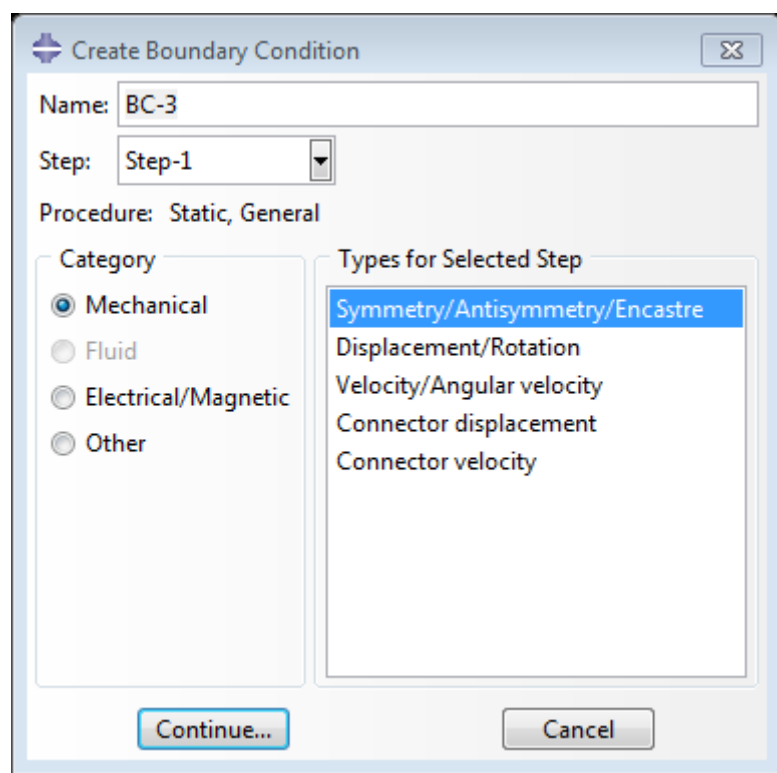
Moment : گشتاور

Pressure : بار فشاری روی سطح

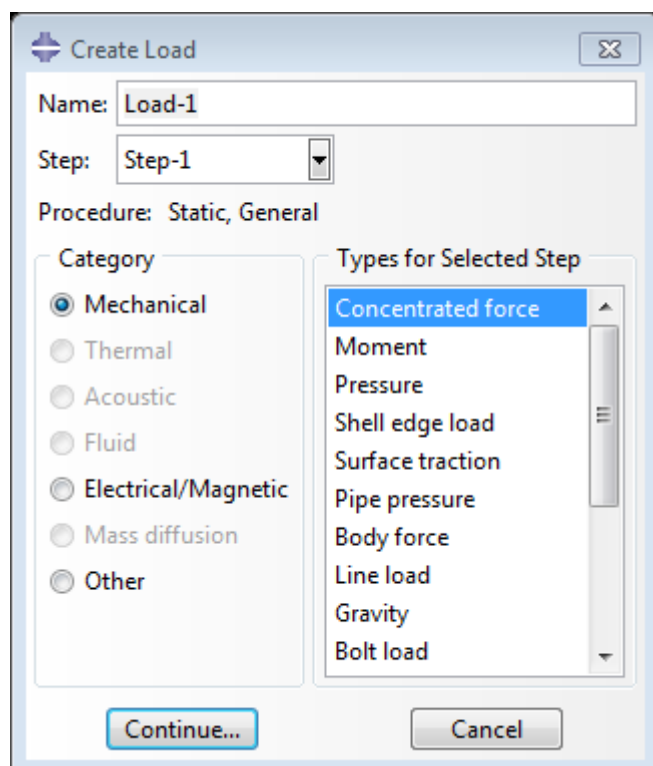
Body force : نیروی حجمی

Line Load : بار گسترده روی خط

Gravity : نیروی گرانش زمین و ...



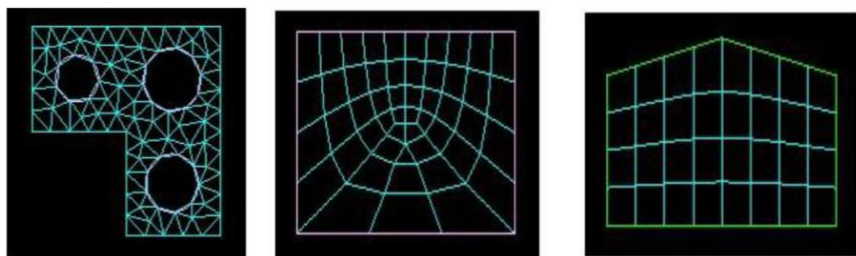
کل ۳-۶: پنجره اعمال شرایط مرزی



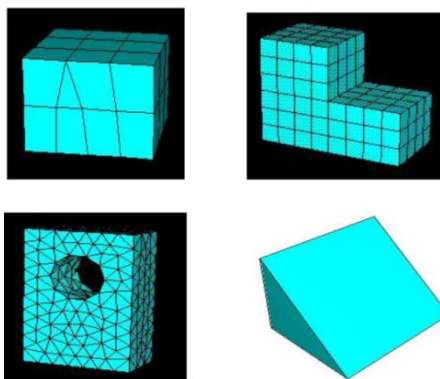
شکل ۳-۷: پنجره معرفی بارگذاری مدل

(Mesh) بندی - ۲ - ۷

این محیط برای مش بندی و تعیین نوع و اندازه المان ها به کار می رود. انواع المان های به کار رفته در نرم افزار به صورت زیر است:



شکل ۳-۹: انواع المان های مورد استفاده در مدل دو بعدی



شکل ۳-۱۰: انواع المان های مورد استفاده در مدل سه بعدی

برای مش بندی باید مراحل زیر را پیمود:

۱ - Seed : تعیین اندازه المان

۲ - Element type , Controls element : تعیین نوع المان و ساختمان

۳ - Mesh : مش بندی

لازم به ذکر است در جاهایی که تمرکز تنش داریم، ما می توانیم مش بندی را ریز تر انجام دهیم. برای

این کار نیاز به partition بندی جسم است که در قسمت part انجام می گیرد.

۳-۲-۸- حل مساله (Job)

این محیط برای حل مساله به کار می رود. بعد از تمام مراحل بیان شده در بالا انتخاب گزینه Job و سپس انتخاب گزینه Submit حل آغاز می شود.

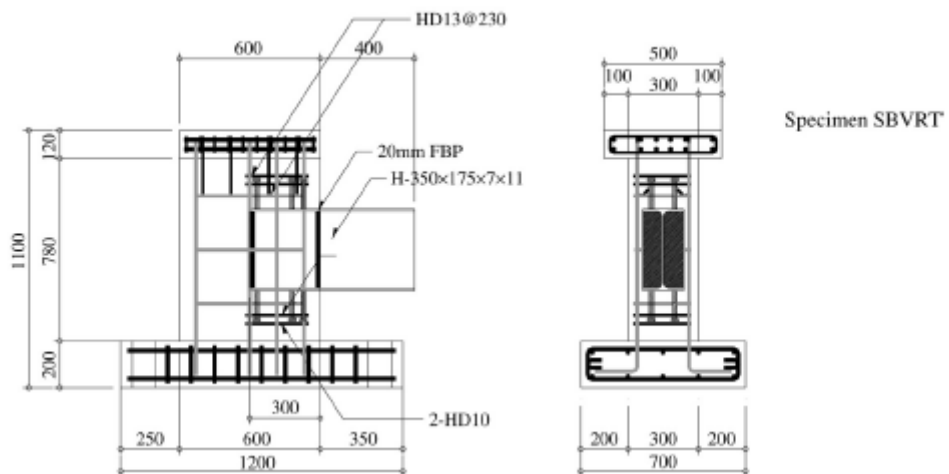
۳-۲-۹- نتایج حل مساله (Visualization)

برای مشاهده نتایج بعد از اتمام حل مساله، در پنجره Job Manager از گزینه Results می توان استفاده کرد تا محیط Visualization ظاهر شود. در این قسمت می توان نتایج حل را مشاهده کرد.

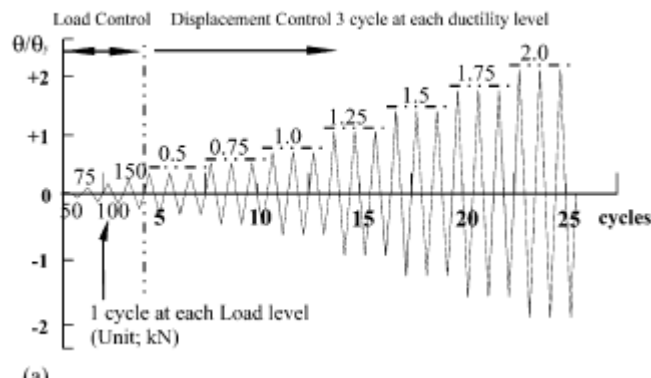
۳-۳. روش ایجاد مدل هندسی دیوار بتنی مورد مطالعه

هدف از این تحقیق بررسی رفتار دیوار بتنی مورد آزمایش و ارزیابی آنها با استفاده از روش عددی توسط نرم افزار المان محدود ABAQUS است. بنابراین به همین منظور مدل دیوار بتنی معرفی شده مدل سازی می شوند. سپس مدل ایجاد شده از دیوار بتنی توسط نرم افزار ABAQUS مورد تحلیل المان محدود قرار خواهد گرفت. نخستین گام در تحلیل المان محدود یک سیستم سازه ای، ایجاد مدل هندسی آن است. بنابراین باید بتوان مدل هندسی مورد نظر را به درستی ایجاد نموده و آن را در صورت نیاز اصلاح نمود و یا قسمتهای نامطلوب را حذف کرد. بنابراین پس از اعمال تغییرات می توان هندسه مورد نظر را به صورت نهایی ایجاد نمود. بنابراین با استفاده مستقیم از ماژول مدل سازی PART در نرم افزار ABAQUS مدل سازی صورت گرفت. در هر شبیه سازی اجزاء محدود، تقسیم بندی هندسه واقعی سازه با استفاده از اجزای کوچکتری به نام المان می باشد. هر المان بیان گر یک جزء جدا شده از المان ها در نقاطی که به آنها گره گفته می شود به هم متصل می گردد. به مجموعه گره ها و المان ها مش گفته می شود. در یک آنالیز تنش، جابجایی ها متغیرهای اصلی بوده و توسط روش المان محدود محاسبه می شوند. پس از آنکه جابجایی ها تعیین گردید، می توان کرنش ها و تنش ها را به سادگی با استفاده از آنها محاسبه نمود. در مسائل اجزاء محدود تبدیل معادلات به ماتریس ادامه کار را راحت

تر خواهد کرد. بنابراین نیروهای داخلی و خارجی به شکل ماتریسی تبدیل خواهند شد. در اولین مرحله این تحقیق ایجاد مدل هندسی دیوار بتنی ها لازم است که این کار در ماژول Part نرم افزار پیشرفته آباکوس انجام گردیده است. این مدل ها با استفاده از قابلیت های نرم افزار آباکوس در ایجاد مدل های cut پیچیده تولید گردیده اند. پس از ایجاد سطح مقطع دیوار بتنی از دستوراتی مانند extrude و پیچیده تولید گردیده اند. پس از ایجاد مدل های هندسی به کار گرفته شده قابلیت های بسیار مفید دیگر در نرم افزار آباکوس برای ایجاد مدل های هندسی به کار گرفته شده است. مدل هندسی ایجاد شده از دیوار بتنی، پس از انتقال به ماژول Mesh در نرم افزار ABAQUS به منظور تولید المان ها و ایجاد مدل المان محدود مورد استفاده قرار می گیرند. همچنین پس از نهایی شدن مدل هندسی دیوار بتنی در نرم افزار ABAQUS و در ماژول Property خصوصیات مصالح مربوط به دیوار بتنی اعمال خواهد شد. در اشکال زیر مدل های هندسی ایجاد شده از دیوار بتنی در نرم افزار آباکوس نشان داده شده است :



شکل ۳-۱۱: جزئیات دیوار بتنی مورد مطالعه در مقاله مرجع و پروتکل بارگذاری وارد [8]



(a)

جدول ۳-۱ خواص آرماتورها [8]

Mechanical properties of steel

Type		Item			
		Yield strength f_y (MPa)	Yield strain $\epsilon_y \times 10^{-6}$	Elastic modulus E_s (GPa)	Ultimate strength f_{su} (MPa)
Reinforcement	10 mm diameter deformed bar	398	2325	171.2	566
	13 mm diameter deformed bar	400	2533	157.9	555
Steel	Beam flange	339	1682	201.2	461
	Beam web	352	1827	192.7	489
Stud bolts	19 mm diameter deformed bar	362	1701	215.8	449

جدول ۳-۲ خواص بتن [8]

Average concrete compressive strengths

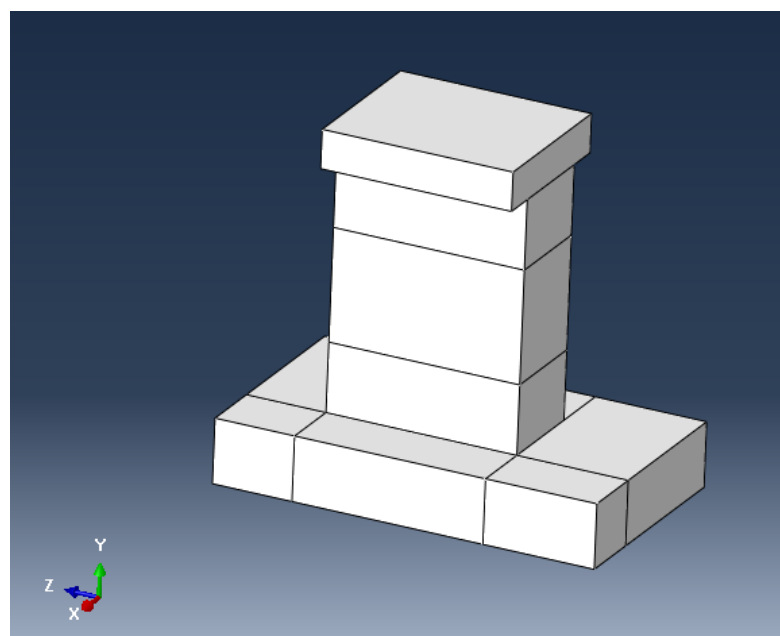
Compressive strength (MPa)	Ultimate strain (μ)	Slump (mm)	Elastic modulus (GPa)	Poisson's ratio
30.0	2340	150	26.2	0.11

at the time of testing.

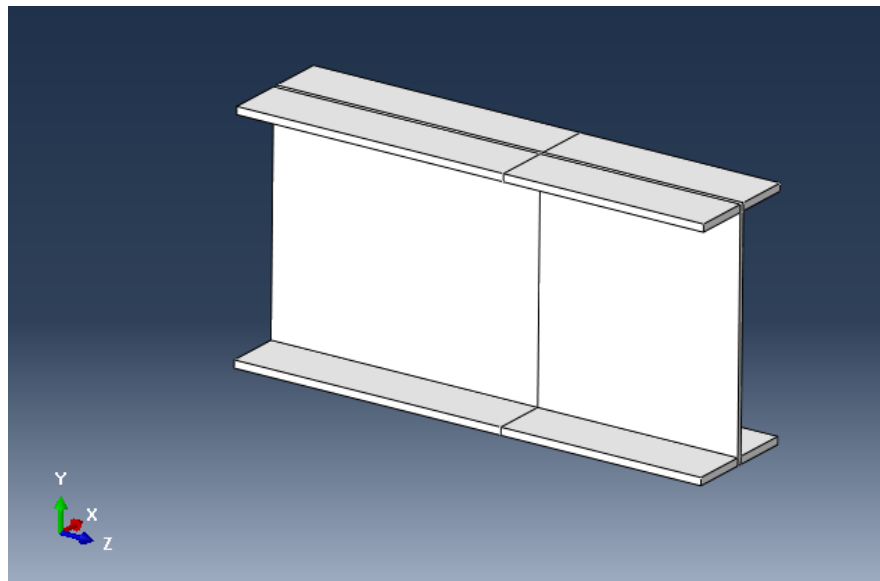
جدول ۳-۳ جزئیات نمونه [8]

Details of test specimens

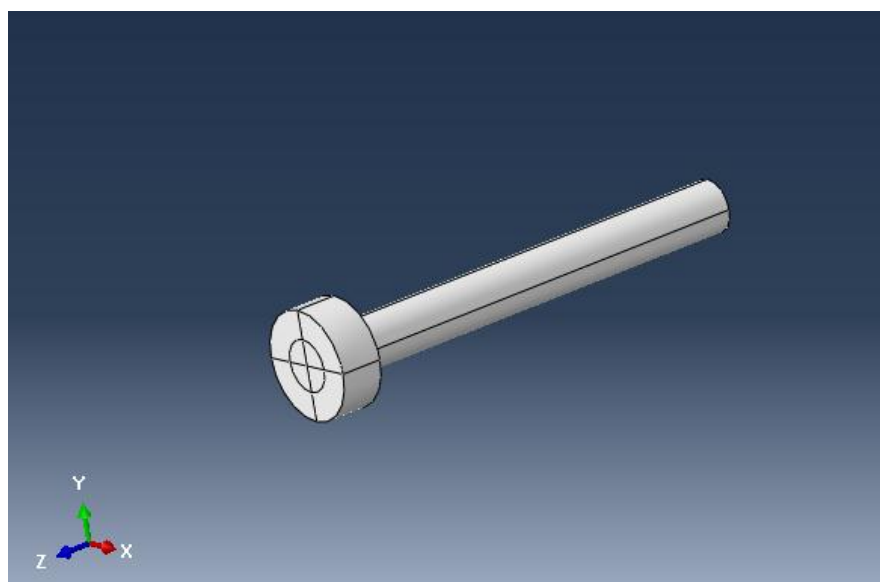
Specimens	Item					
	Stud bolts	Horizontal ties	Wall reinforcements		Eccentricity of vertical load e (mm)	Remark
			In wall	In connections		
SBVRT	12-φ19	4-HD10	HD13@230	HD13@230	+150	Connection failure $I/(M_n/V_n) = 1.8$
SCF	12-φ19	4-HD10	HD13@230	HD13@230	+150	Shear critical $I/(M_n/V_n) = 1.4$
FCF	12-φ19	4-HD10	HD13@230	HD19@100	+150	Flexure critical $I/(M_n/V_n) = 2.8$



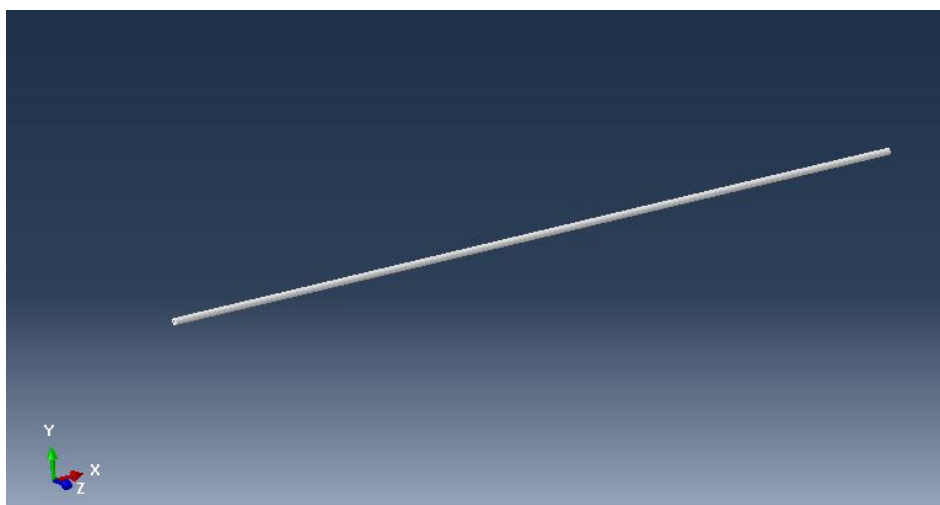
شکل ۳-۱۲: ایجاد مدل هندسی دیوار بتونی در آباکوس



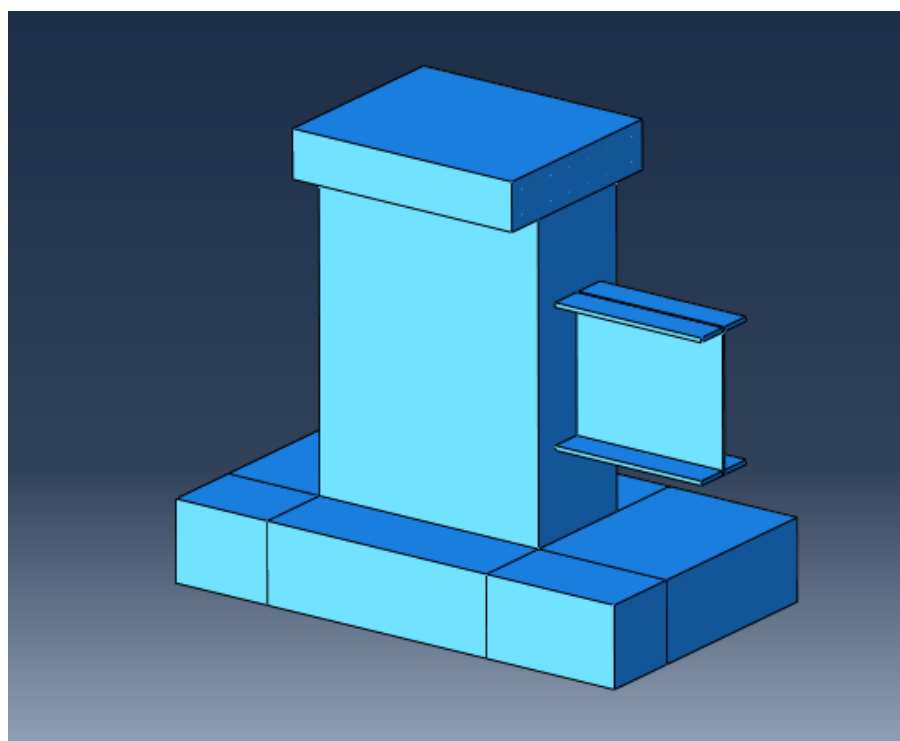
شکل ۳-۱۳: ایجاد مدل هندسی دیوار تیر در آباکوس



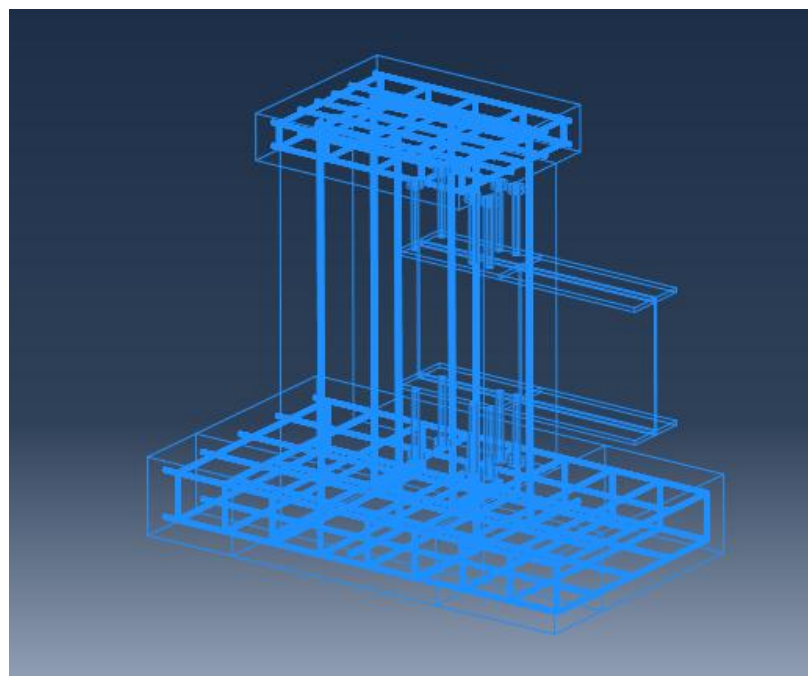
شکل ۱۴-۳: ایجاد مدل هندسی استاد در آباکوس



شکل ۱۵-۳: ایجاد مدل هندسی نمونه ای از آرماتورها در آباکوس



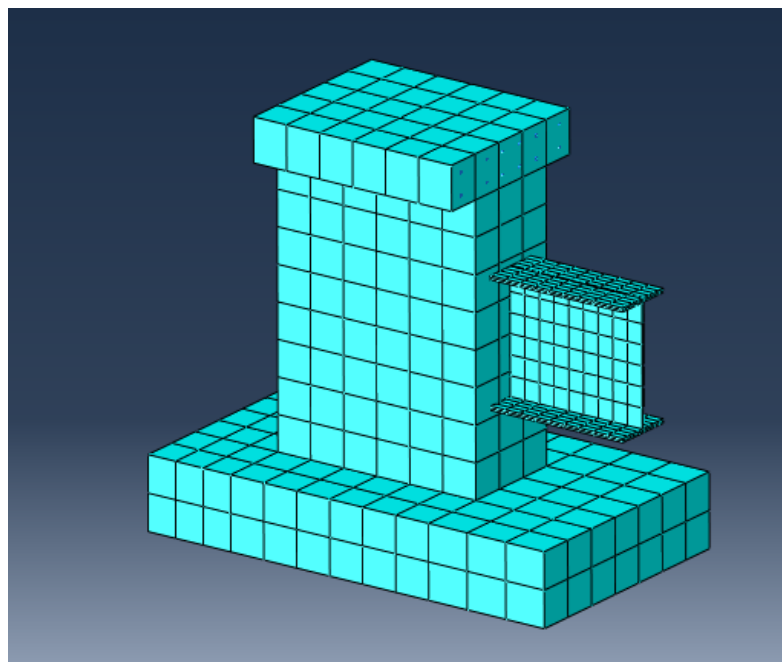
شکل ۳-۱۶: مونتاژ مدل هندسی نهایی دیوار بتنی در آباکوس



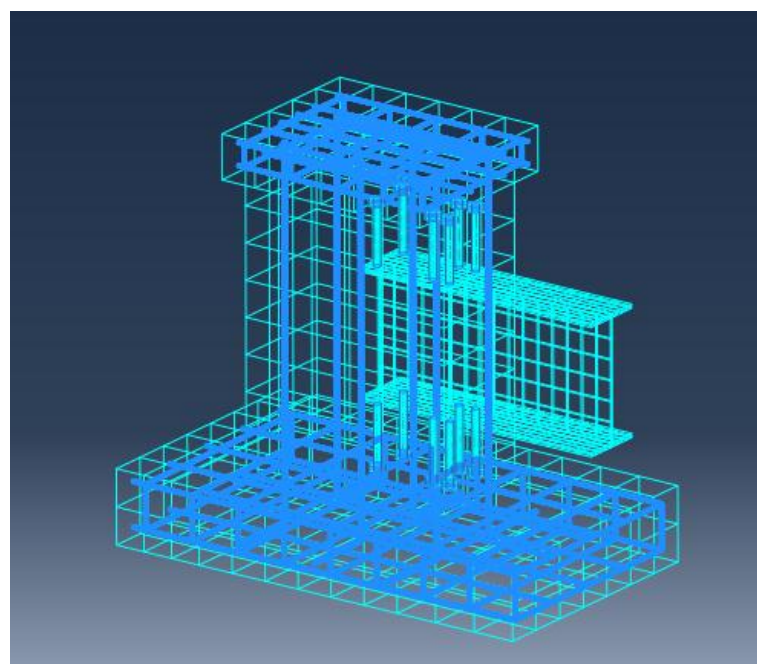
شکل ۳-۱۷: مونتاژ مدل هندسی نهایی دیوار بتنی در آباکوس با جزئیات

۴-۳. توصیف مدل المان محدود دیوار بتنی های مورد مطالعه

همان طور که در بخش های قبل بیان گردید، نخستین گام در تحلیل المان محدود دیوار بتنی، ایجاد مدل هندسی آن ها است. به طوری که کاربر باید مدل هندسی مورد نظر را ایجاد نموده و آن را در صورت نیاز اصلاح نماید و یا قسمت های نامطلوب را حذف کند. بنابراین پس از اعمال تغییرات می توان هندسه مورد نظر را به صورت نهایی ایجاد کرد. این مدل های هندسی مورد مطالعه در نرم افزار ABAQUS، جهت مش زدن و تولید المان ها مورد استفاده قرار می گیرند. در یک آنالیز تنش، جابجایی ها متغیرهای اصلی بوده و توسط روش المان محدود محاسبه می شوند. پس از آنکه جابجایی ها تعیین گردید، می توان کرنش ها و تنش ها را به سادگی با استفاده از آنها محاسبه نمود. در این تحقیق تحلیل رفتار سیستم سازه ای دیوار بتنی تحت بار رفت و برگشتی چرخه ای با استفاده از نرم افزار المان محدود ABAQUS صورت گرفته است. برای مدل سازی اجزای محدود سیستم دیوار بتنی از ماذول Mesh استفاده شده است. المان های اجزای مختلف دیوار بتنی شامل دیوار، تیر باربر و آرماتورها و استادها در این ماذول ایجاد شده است. این المان دارای قابلیت های خرزش، پلاستیسیته، تورم، تنش سخت شدگی، کرنش سخت شدگی و تغییر شکل های بزرگ می باشد. در اشکال زیر مدل المان محدود ایجاد شده برای یک نمونه از دیوار بتنی به صورت اسمبل ارائه شده است.



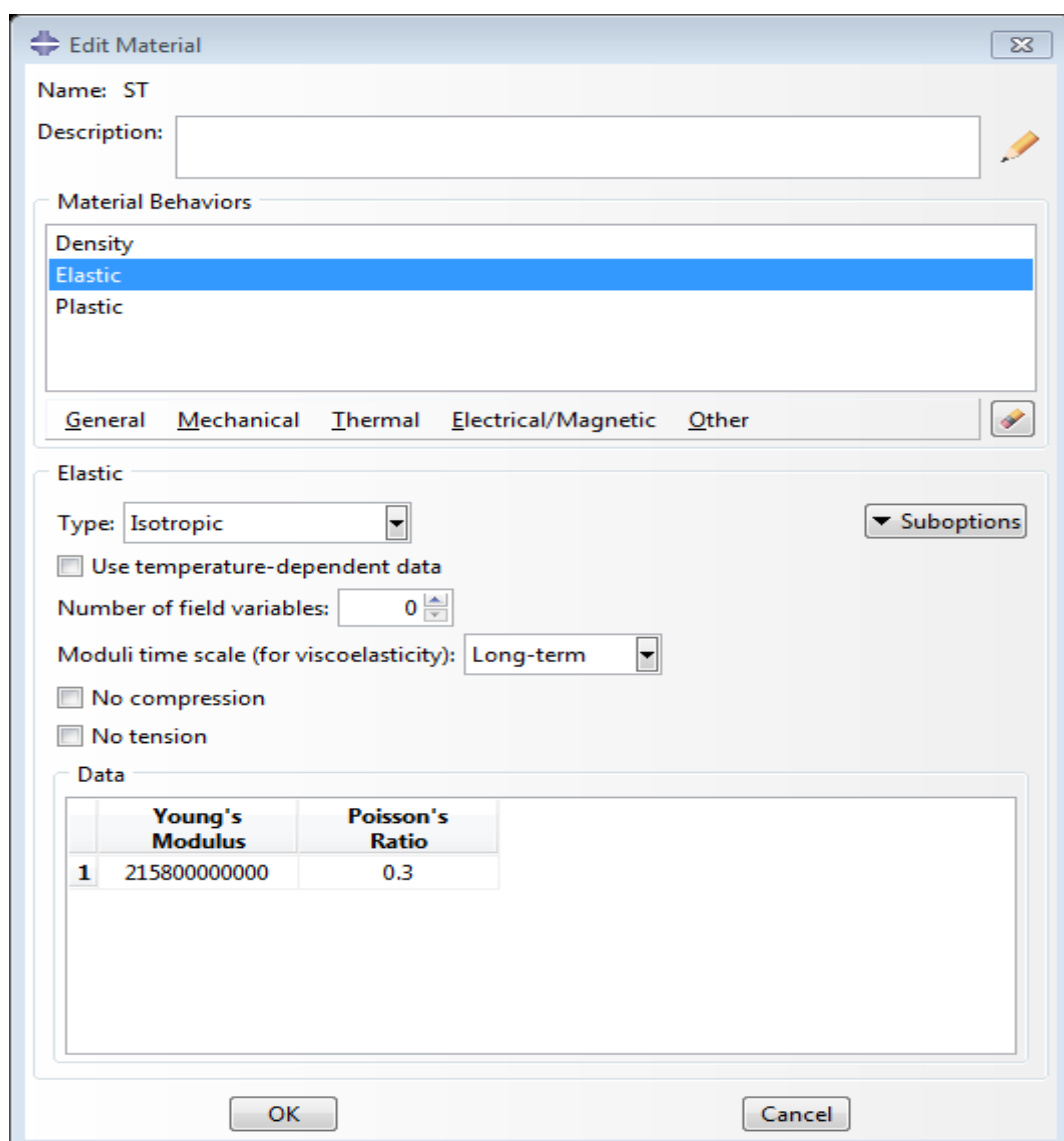
شکل ۳-۱۸: مدل المان محدود نهایی دیوار بتنی در آباکوس



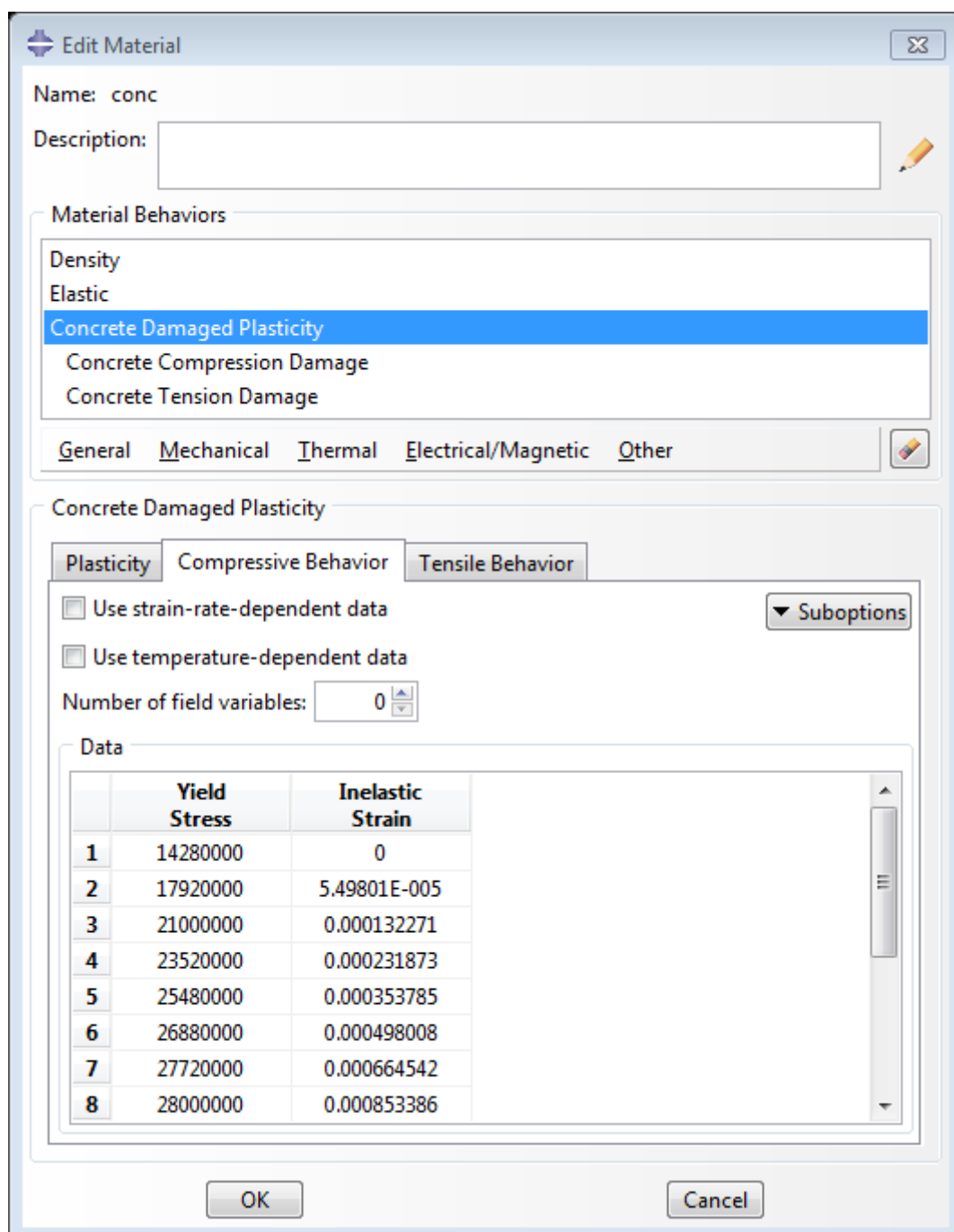
شکل ۳-۱۹: مدل المان محدود نهایی دیوار بتنی در آباکوس با جزئیات

۳-۵. خصوصیات مصالح استفاده شده در دیوار بتنی مورد مطالعه

با توجه به اینکه سیستم دیوار بتنی از مصالح بتنی و فولادی ساخته شده بنابراین در این تحقیق رفتار مصالح فولادی و بتنی به صورت کامل الاستیک - پلاستیک فرض شده است. بنابراین مطابق شکل زیر این خصوصیات، بر تمامی بخش های فولادی و بتنی دیوار در نرم افزار ABAQUS اعمال می گردد.



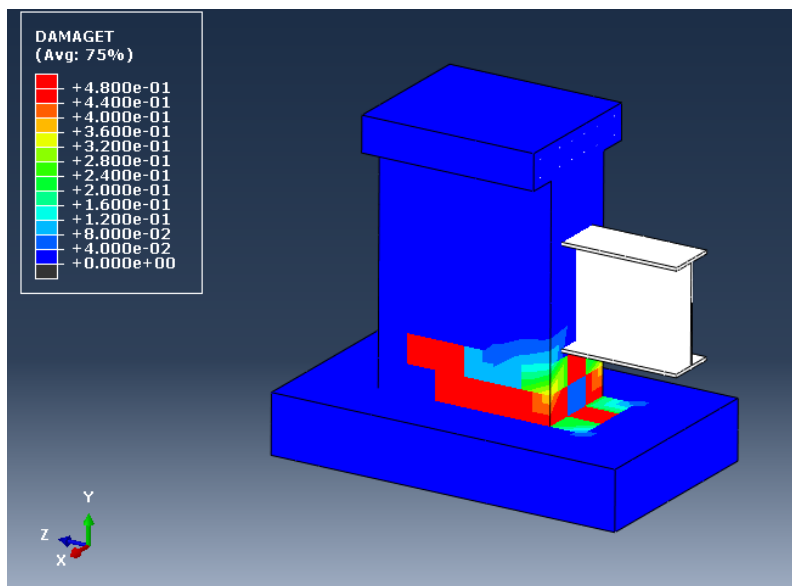
شکل ۳-۲۰: اعمال خصوصیات فولاد در نرم افزار ABAQUS



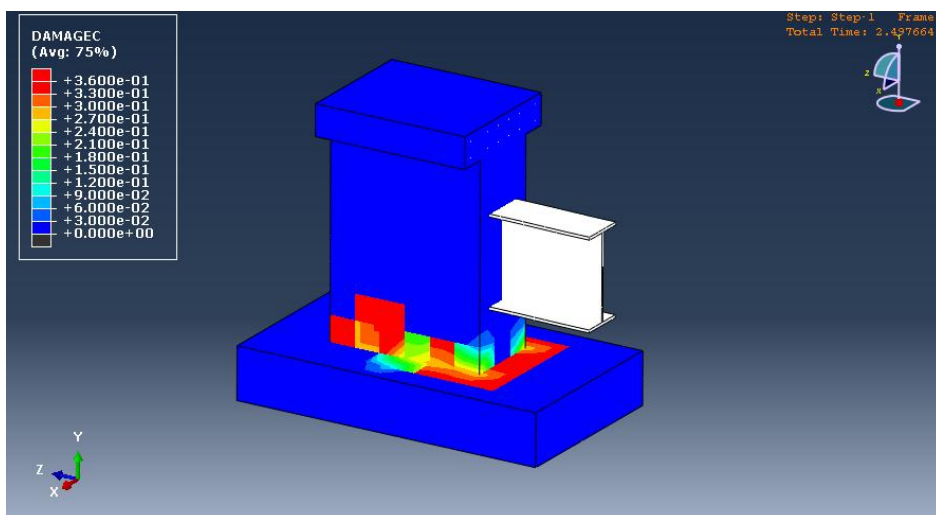
شکل ۳-۲۱: اعمال خصوصیات بتن در نرم افزار ABAQUS

۶-۳. نتیجه گیری

در ادامه نتایج حاصل از تحلیل دیوار بتی به روش المان محدود با استفاده از نرم افزار آباکوس نشان داده شده است. همان طور که در ادمه مشاهده می گردد نتایج کانتورهای خرابی و همچنین نمودار هیسترزیس انطباق مناسبی با نتایج ارائه شده در مقاله مرجع دارد و بنابراین برای صحه سنجی نتایج مورد استفاده قرار می گیرد. در اشکال زیر کانتور خرابی ناشی از ترک خوردگی کششی و خرد شدگی فشاری در دیوار بتی نشان داده شده است.



شکل ۲۲-۳: کانتور خرابی ترک خوردگی کششی در مدل



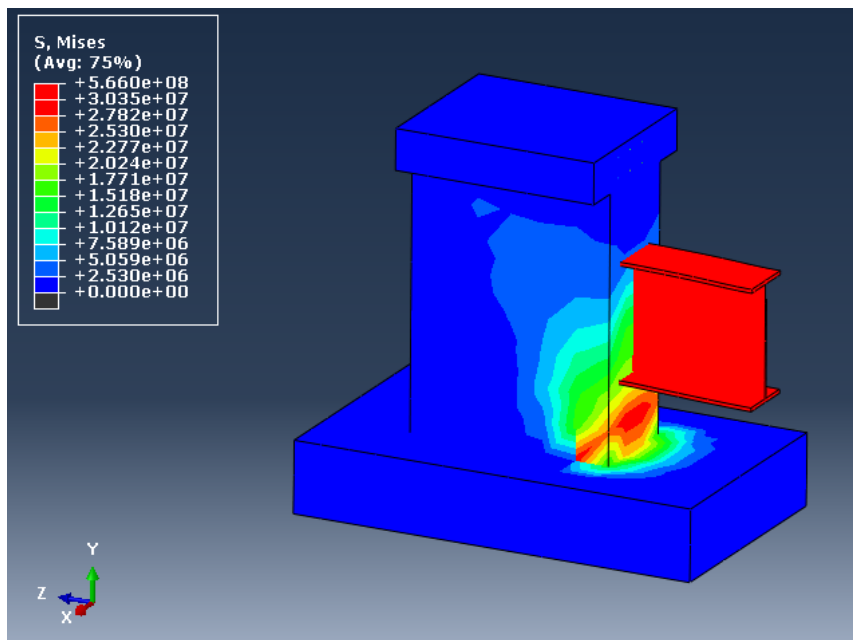
شکل ۲۳-۳: کانتور خرابی ناشی از خرد شدگی فشاری



(a) Specimen SBVRT.

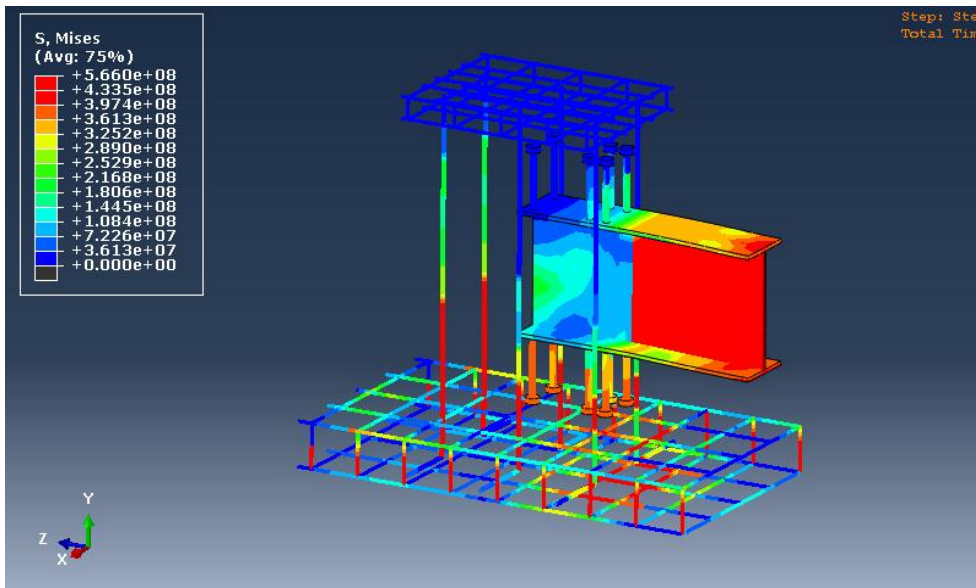
شکل ۳-۲۴: مود خرابی در مقاله مرجع [8]

در شکل زیر کانتور تنش در سازه دیوار بتونی نشان داده شده است. نواحی که در کانتور با رنگ قرمز نشان داده شده است بیان گر سطح تنش بالا و ایجاد خرابی در آنها است:



شکل ۳-۲۵: کانتور تنش در سازه دیوار بتونی

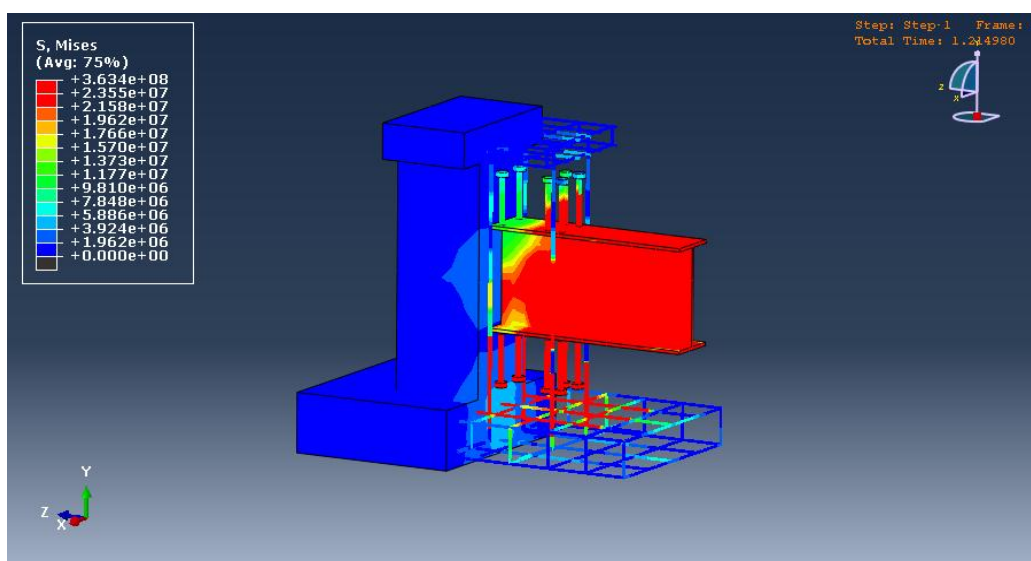
در شکل زیر کانتور تنش در بخش های فولادی دیوار بتونی نشان داده شده است :



شکل ۳-۲۶: کانتور تنش در بخش های فولادی

در شکل زیر کانتور تنش در بخش هایی از دیوار بتونی نشان داده شده است . برای نمایش بهتر شکل

دیوار برش خورده است :

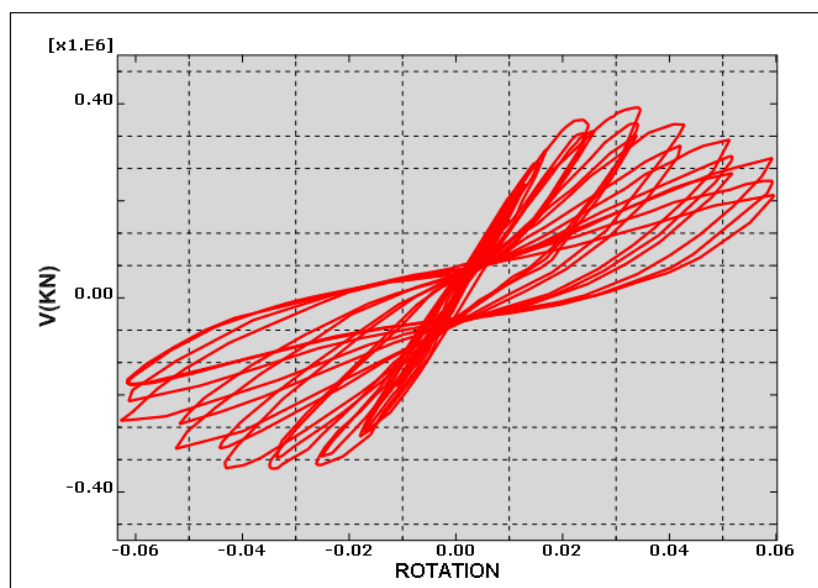


شکل ۳-۲۷: کانتور تنش در بخش هایی از دیوار بتونی

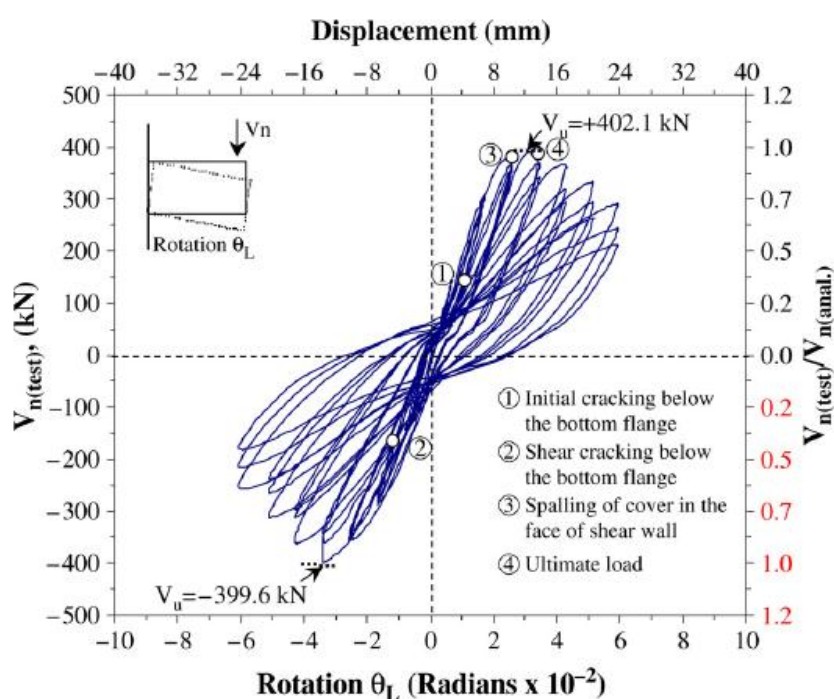
نمودار هیسترزیس :

در شکل زیر نمودار هیسترزیس در زمان اعمال بارگذاری چرخه ای دیوار بتونی نشان داده شده است.

این نمودار انطباق مناسبی با نتایج ارائه شده در مقاله مرجع دارد.



شکل ۲۸-۳: نمودار هیسترزیس ایجاد شده در نرم افزار آباکوس



شکل ۲۹-۳: نمودار هیسترزیس مقاله مرجع [8]

فصل چهارم

مدل‌سازی و تحلیل دیوار برشی

بتنی با تیر پیوند فلزی

در طولهای مختلف

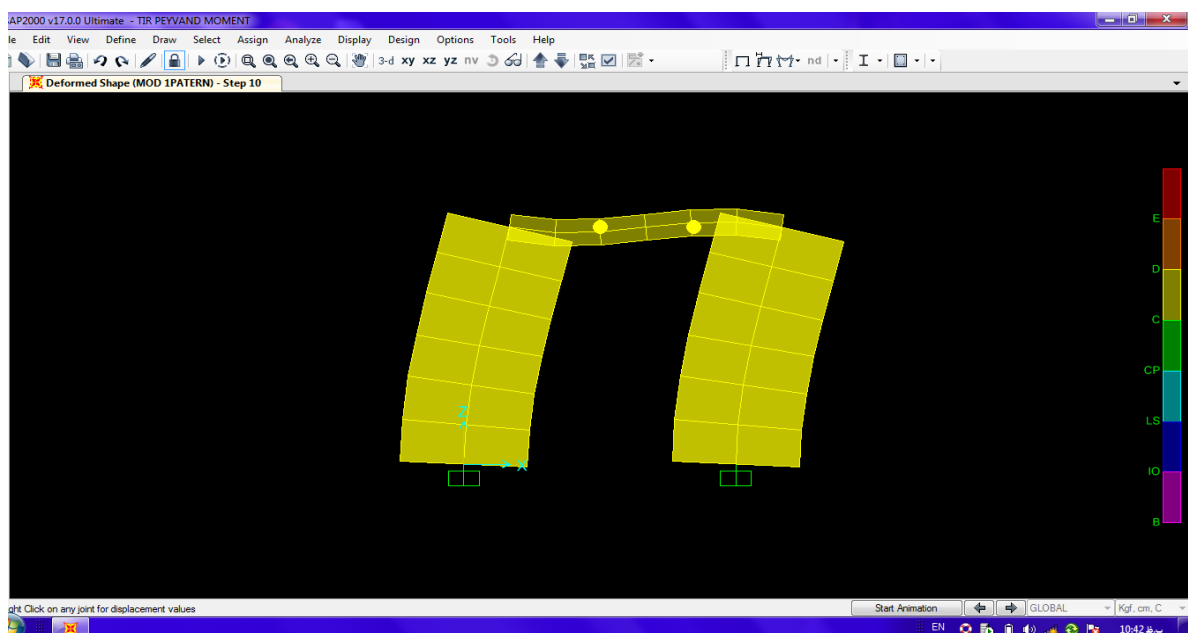
مقدمه

در ادامه کار و پس از صحت سنجی مدل، قرار است یک مدل دیوار برشی کوپله با تیر پیوند فلزی به صورت یک قاب یک طبقه یک دهانه با ارتفاع و ابعاد دیوار ثابت ساخته شود و با افزایش طول تیر پیوند از نیم تا دو و نیم متر با گامهای افزایشی نیم متر در ۵ مدل تحت بار گذاری سایکلینگ به بررسی رفتار غیر خطی و اتلاف انرژی در قاب و تیر پیوند از مد برشی تا خمشی بپردازیم.

۴-۱. استفاده از نرم افزار SAP2000 جهت اطمینان از جاری شدن تیر پیوند

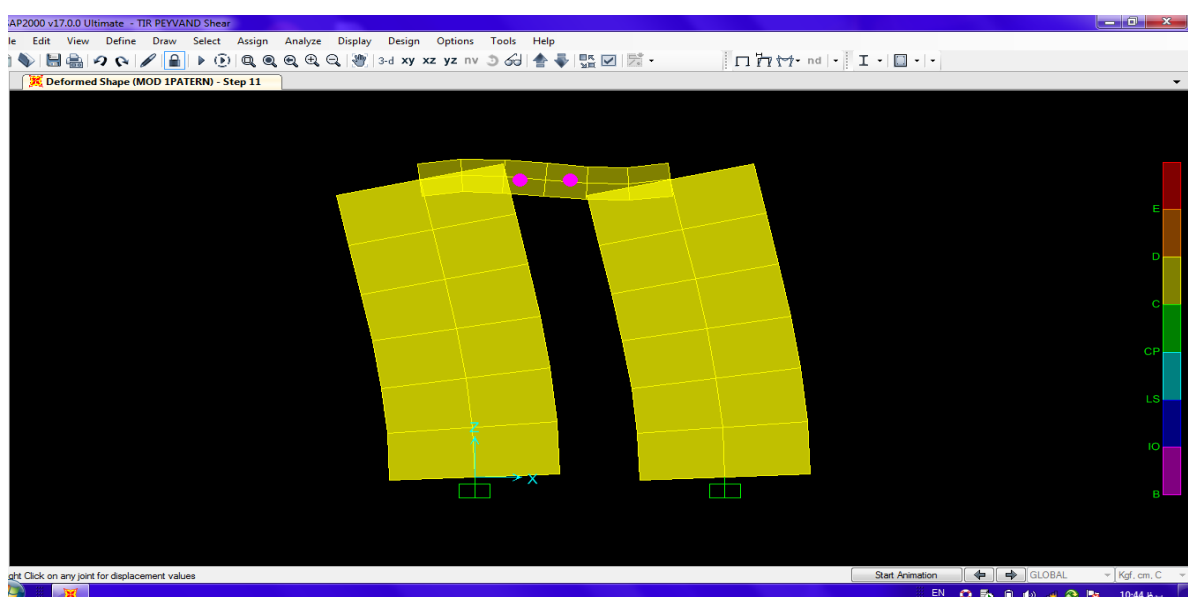
درابتدا مقطع تیر پیوند به صورت IPE330 با اتصال گیردار به دیوار حدس زده میشود وجهت اطمینان از جاری شدن تیر پیوند در بررسیهای عددی توسط نرم افزار آباکوس قاب مورد نظر در محیط نرم افزار SAP2000 تحت پوشی معادل ۰/۰۲ ارتفاع قاب یعنی ۶ سانتی متر قرار میگیرد و با تعریف مفاصل خمشی-برشی در ابتدا و انتهای تیر پیوند تحلیل استاتیکی غیر خطی پوش اور انجام شده و همانطور که در اشکال ۴-۱ و ۴-۲ ملاحظه می شود مفاصل تشکیل شده اند لازم به ذکر است که مقاطع کوچکتر از ۰/۰۳۳۰ بدليل سختی کم سهم نیروی کمتری در مجموعه میبرند و احتمالا به جاری شدن نمیرسند و نیز در بررسی های قبلی توسط محققین نتیجه شد که عمق تیر پیوند نباید کم باشد از اینرو بررسی در مقاطع ۰/۰۳۰۰ به بالاتر صورت گرفت از طرفی با توجه به اینکه مطالعه ما تحلیلی و مقایسه نتایج تحلیل است و نه طراحی دنبال راه حل حدس دقیق مقطع مانند بخش ۲-۳ نیستیم بلکه یک حدس تقریبی با اطمینان از جار شدن آن مکفى است.

۱- قاب بتنی با دیوار کوپله به طول ۵/۱ متر و تیر پیوند خمشی به طول ۷/۱ متر در نرم افزار SAP2000



شکل ۱-۴ تشکیل مفصل خمشی در ابتدا و انتهای تیر پیوند

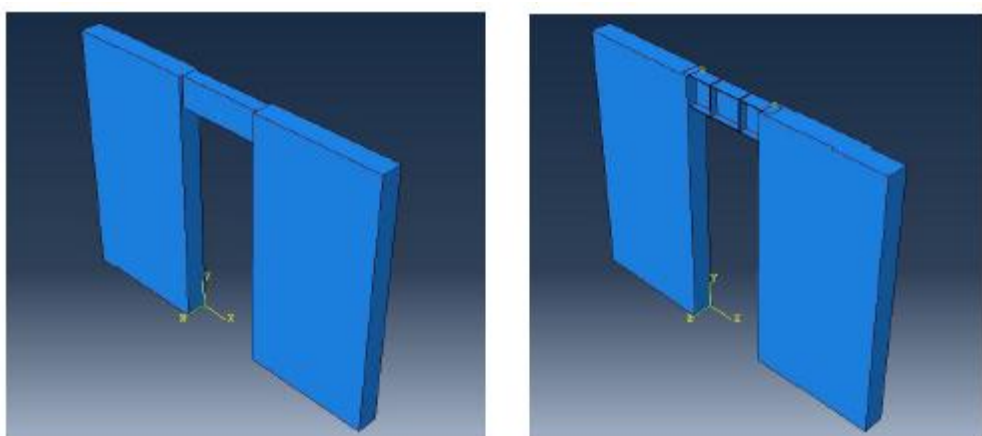
۲- قاب بتنی با دیوار کوپله به طول ۵/۱ متر و تیر پیوند برشی به طول ۷/۰ متر در نرم افزار SAP2000



شکل ۲-۴ تشکیل مفصل برشی در ابتدا و انتهای تیر پیوند

۲-۴. ساخت مدل در محیط اباکوس و تحلیل پوش اور مقایسه با پیوند بتنی

مدل مورد مطالعه در محیط نرم افزار المان محدود آباکوس ساخته می شود(شکل ۳-۴) و یک تغییر مکان معادل $4/0.0$ ارتفاع دیوار یعنی 12 سانتی متر به قاب با طول تیر پیوند 1 متر داده می شود. و در حالت تیر پیوند بتنی و فلزی با سخت کننده، منحنی پوش اور ترسیم می شود(شکل ۴-۴) و پس از مقایسه دو منحنی تیر پیوند فلزی با سخت کننده مورد مطالعه قرار میگیرد.



شکل ۴-۳: مدلسازی قاب با تیر پیوند فلزی(شکل سمت راست) و بتنی(شکل سمت چپ)

پس از مدلسازی و انجام تحلیل نتایج زیر حاصل می شود.

همانطور که از شکل ۴-۴ مشخص است، سطح زیر منحنی پوش اور در حالتی که تیر پیوند فلزی می باشد بیشتر از تیر بتنی است



شکل ۴-۴: منحنی پوش اور

۴-۳. استفاده از مطالعات مشابه صورت گرفته روی تیر پیوند

همانطور که در بیشینه تحقیق اشاره شد MAHMOOD HOSSEINI^{1a}, HOSSEIN SADEGHI² AND SEIDALI HABIBY²[7]

سه قاب با طول تیر پیوند یکسان در سه حالت تیر پیوند بتنی-

فلزی-فلزی با سخت کننده جان را مورد بررسی قرار داد (شکل ۴-۵) و تحت بارگذاری سایکلنگ با

بدست آوردن منحنی های هیسترزیس (شکل ۴-۶) و ترسیم منحنی اتلاف انرژی در برابر جبابجایی

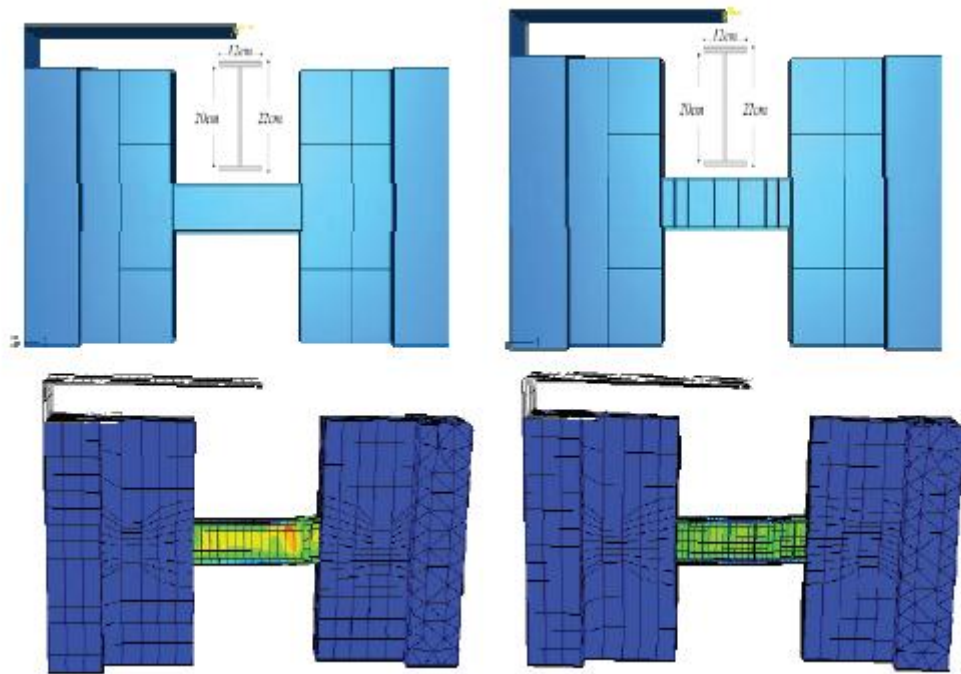
(شکل ۴-۷) به این نتیجه رسید که رفتار لرزه ای تیر پیوند فلزی خصوصاً با سخت کننده بهتر از تیر

پیوند بتنی است و با فلزی کردن تیر پیوند استهلاک انرژی در قاب به سه برابر حالت تیر پیوند بتنی

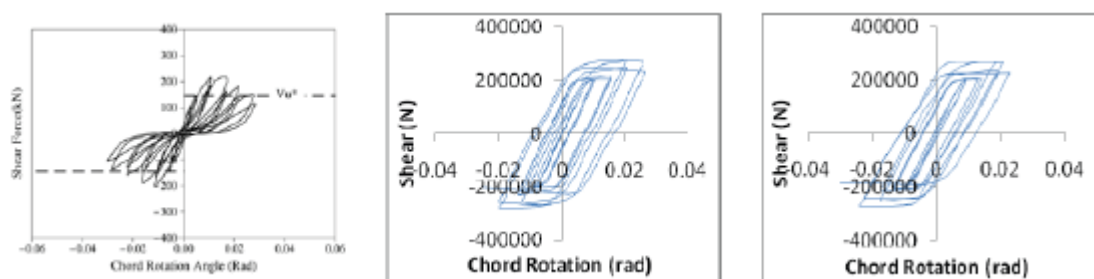
میرسد در حالیکه سخت کننده های جان فقط ۱۰٪ به اتلاف انرژی و بهبود رفتار لرزه ای کمک میکنند.

با استناد به مطالعات فوق در این تحقیق تیر پیوند فلزی با سخت کننده های جان طبق ضوابط مورد

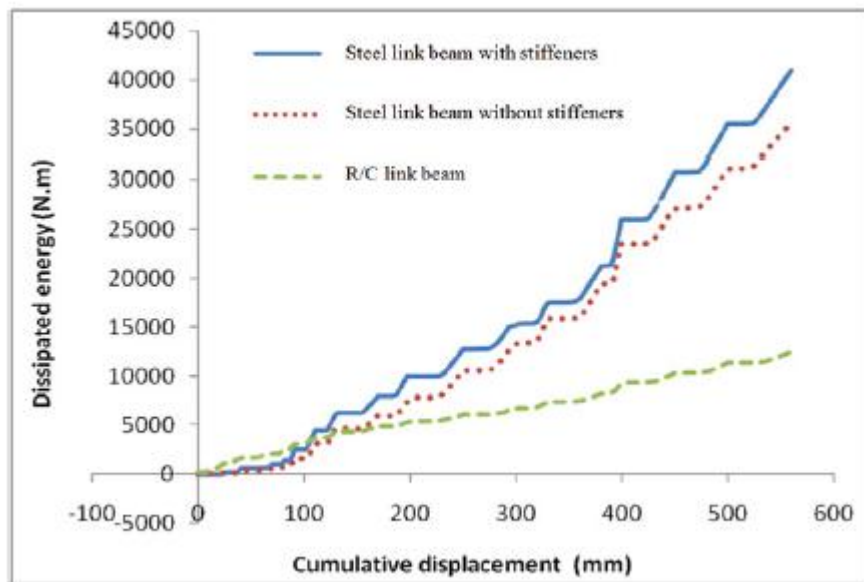
مطالعه قرار گرفته است.



شکل ۴-۵ قاب با تیر پیوند فلزی بدون (چپ) و با (راست) سخت کننده و مطابقت با پیوند بتنی [۷]



شکل ۴-۶ منحنی های هیسترزیس تیر پیوند بتنی (چپ) فلزی بدون سخت کننده (راست) فلزی با سخت کننده (میانی) [۷]



شکل ۷-۴ منحنی انرژی تلف شده در برابر جابجایی تجمعی [۷]

۴-۴- مجاسبات مربوط به تیر پیوند و فواصل سخت کننده ها

همانطور که در فصل دوم پرداخته شد با توجه به اینکه ضوابط تیرهای پیوند فولادی مشابه بادبندهای برون محور است [۲۲] با فرض استفاده از مقطع IPE330 جهت تیر پیوند طبق بند ۱-۴ به بررسی و محاسبه قاب مانند قاب مهاربندی شده با مهاربند و اگرایی پردازیم:

$$M_p = ZF_y = 810 * 2400 = 1944000 \text{ kg-cm}$$

$$V_p = 0.6 F_y A_w = 0.60 * 2400 * (33-2 * 1.15) * 0.701 = 33000 \text{ kg}$$

$$1.6 M_p / V_p = 1.6 * 63 = 95 \text{ cm}$$

$$2.6 M_p / V_p = 2.6 * 63 = 160 \text{ cm}$$

$$5 M_p / V_p = 5.0 * 63 = 315 \text{ cm}$$

بر طبق آیین نامه [22] AISC2002 مقدار چرخش پلاستیک رابط رفتار برشی ۸٪/رادیان معرفی میکند.

برای تیر های پیوند برشی اگر دستیابی به دوران نهایی ۸٪/رادیان مورد نظر باشد فاصله سخت کننده ها نباید بیش از $\{30t_w-d/5\}$ و اگر دستیابی به دوران ۲٪/رادیان مورد نظر باشد فاصله سخت کننده ها نباید بیش از $\{52tw-d/5\}$ باشد.

در تیر های پیوند با طول بزرگتر از $2.6M_p/V_p$ و کوچکتر از $5M_p/V_p$ در فاصله $1.5b_f$ از هر انتهای یک سخت کننده قائم جان قرار میگیرد. برای پیوند بین حالت برش و خمش باید ضوابط مربوط به سخت کننده ها در دو حالت برقرار باشد.

طبق توضیحات بالا، در طولهای قبل از ۱۰۰ سانتی متر تیر پیوند قاب بالا به برش کار میکند و در طولهای بیش از ۱۶۰ سانتی متر به خمش و بین این دو توسط ترکیبی از خمش و برش جاری می شود و طولهای بالای ۱۵۳ سانتیمتر مورد بررسی ما نیست.

فاصل سخت کننده های جان بر اساس زاویه چرخش زیر ۰/۰۳ رادیان

$y \leq 0.03 \text{ rad}$ $S \leq 52t_w-d/5$ $S \leq 48 \text{ cm}$ $yp = (l^*\Delta)/(h^*e) = .025$ تیر پیوند با رفتار برشی

$y \leq 0.03 \text{ rad}$ $S \leq 52t_w-d/5$ $S \leq 48 \text{ cm}$ $yp = (l^*\Delta)/(h^*e) = .029$ تیر پیوند با رفتار برشی - خمشی

۴-۵. ساخت هندسه مدل

بر اساس فرضیات عملی ۵ مدل قاب یک طبقه یک دهانه با طول تیر پیوند متفاوت ساخته میشود.

۴-۵-۱- مشخصات مصالح مصرفی

بر اساس مشخصات فنی مصالح ساختمانی موجود در بازار از جمله میلگرد مقاومت بالا و میانگین مقاومت استوانه ای نمونه های بتن جداول ۱-۴ و ۲-۴ تنظیم شده اند.

جدول ۴-۱: مشخصات مکانیکی آرماتور و فولاد در این تحقیق

	Yield strength f_y (MPa)	Yield strain ϵ_y ($\times 10^{-6}$)	Elastic modulus E_s (MPa)	Ultimate strength f_{su} (MPa)	Density γ (n/mm 3)	ν
Reinforcement	400	2533	157900	555	7.85e-5	0.3
Steel	240	1200	200000	370	7.85 e-5	0.3

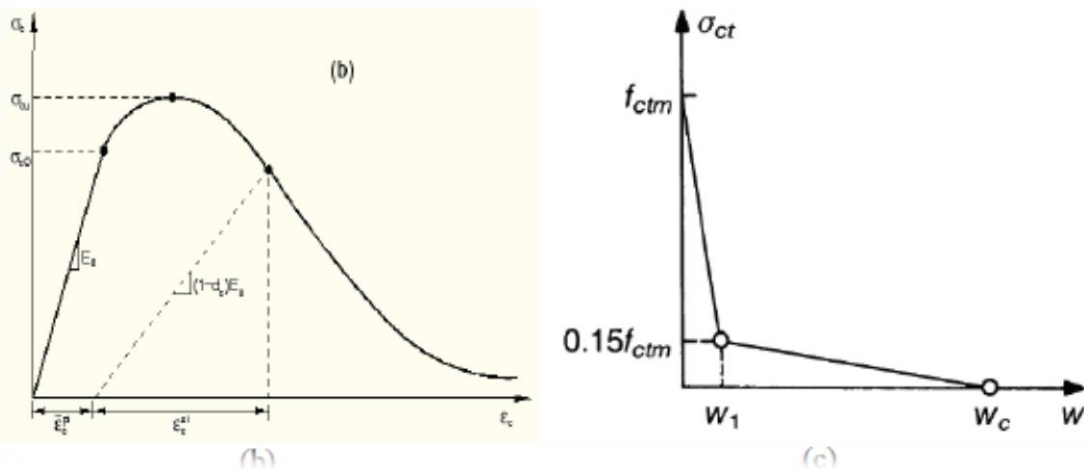
جدول ۲-۴: مشخصات فشاری بتن در این حقیق[23]

	Compressive strength(Mpa) F'_c (MPA)	Density γ (n/mm 3)	Elastic modulus(Mpa) E_c (MPa)	Poisson ratio ν
Concrete	15	2.4E-5	180000	0.18

Concrete	Dilation Angle	Eccentricity	f_b/f_c	K	Viscosity Parameter
	30.5	0.10	1.16	0.666	.001

ABAQUS-۵-۲-نحوه مدلسازی بتن در

در این برنامه برای مدلسازی بتن از concrete damaged plasticity استفاده شده است. توسط این ویژگی می‌توان رفتار کشش و فشار بتن را مدل کرد. نحوه مدلسازی رفتار فشاری بتن در شکل ۴-۸-۱ آمده است برای مدلسازی رفتار کششی بتن چند روش وجود دارد که در این مدل از مقدار باز شدگی ترک در مقابل تنش استفاده شده است (شکل ۴-۸-۲)

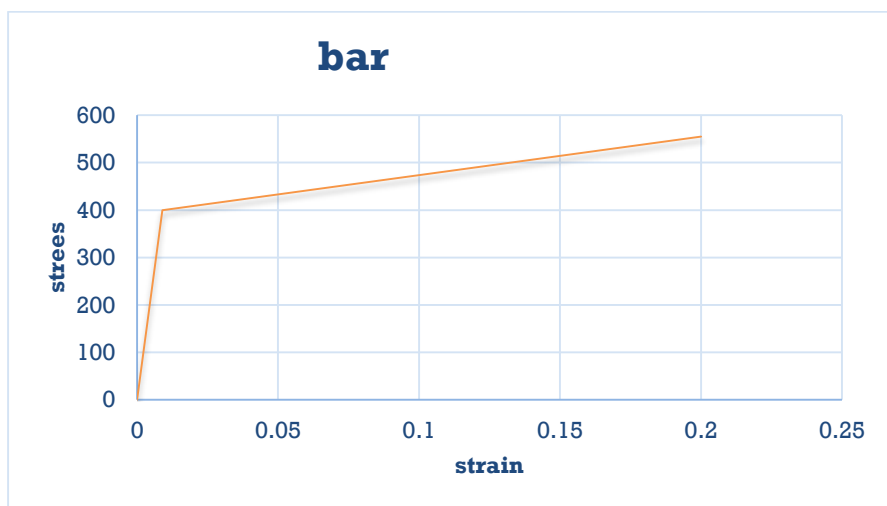


شکل ۸-۴ نمودار رفتار فشاری (b) و کششی (c) بتن [۲۳]

۴-۵-۳-نمودار تنش - کرنش مقطع IPE و میلگردها



شکل ۹-۴ نمودار تنش - کرنش فولاد



شکل ۴-۱۰ نمودار تنش - کرنش میلگرد

۴-۵-۴- مشخصات اجزاء و مقاطع قاب

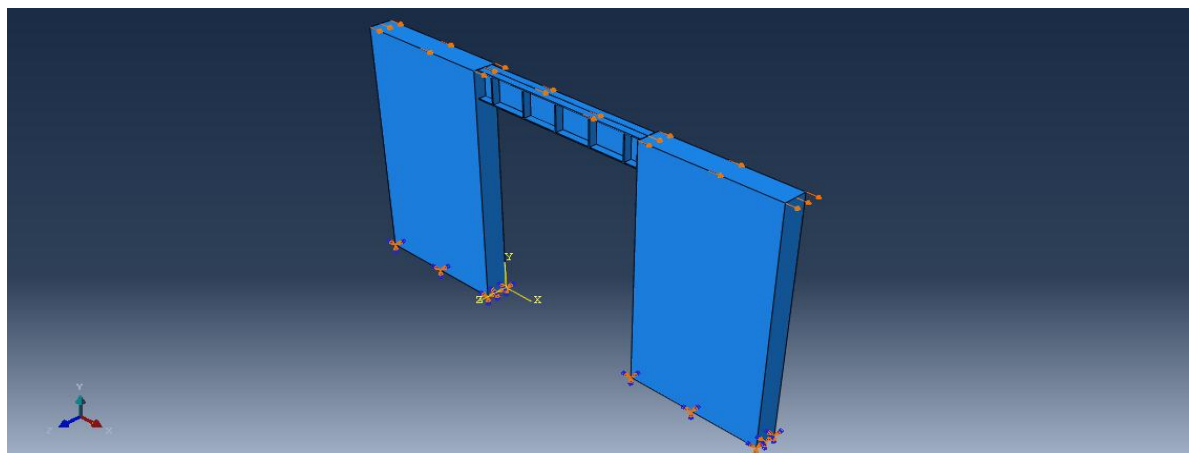
CB1	WALL(l*w*h) Coupling beam(IPE33) Wall Reinforcement Horizontal ties	1500*250*3000 0.5 $\Phi 14 @ 14c/c$ $\Phi 10 @ 15c/c$	CON STEEL bar bar	$\Delta Y=4\text{mm}$
CB2	WALL(l*w*h) Coupling beam(IPE33) Wall Reinforcement Horizontal ties	1500*250*3000 L=1.00 $\Phi 14 @ 14c/c$ $\Phi 10 @ 15c/c$	CON STEEL bar bar	$\Delta Y=5\text{mm}$
CB3	WALL(l*w*h) Coupling beam(IPE33) Wall Reinforcement Horizontal ties	1500*250*3000 L=1.5 $\Phi 14 @ 14c/c$ $\Phi 10 @ 15c/c$	CON STEEL bar bar	$\Delta Y=6\text{mm}$
CB4	WALL(l*w*h) Coupling beam(IPE33) Wall Reinforcement Horizontal ties	1500*250*3000 L=2.0 $\Phi 14 @ 14c/c$ $\Phi 10 @ 15c/c$	CON STEEL bar bar	$\Delta Y=7\text{mm}$
CB5	WALL(l*w*h) Coupling beam(IPE33) Wall Reinforcement Horizontal ties	1500*250*3000 L=2.50 $\Phi 14 @ 14c/c$ $\Phi 10 @ 15c/c$	CON STEEL bar bar	$\Delta Y=8\text{mm}$

جدول ۴-۳- مشخصات مقاطع تشکیل دهنده قاب

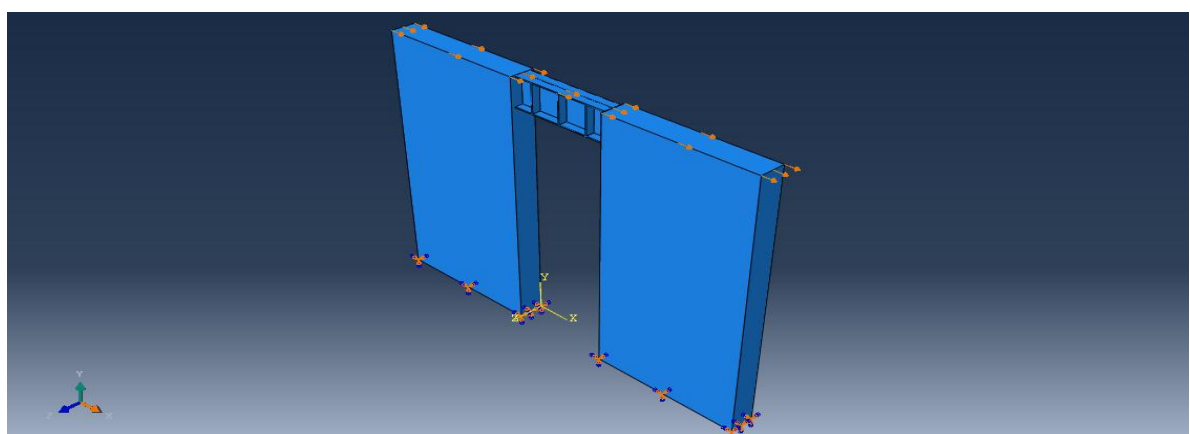
۶-۴. تحلیل پوش اور نمونه ها

هر پنج نمونه پس از ساخت تحت پوشی معادل چهار درصد ارتفاع قاب یعنی ۱۲۰ میلیمتر قرار میگیرند به عبارتی بارگذاری از نوع جابجایی یک طرفه به میزان ۱۲ سانتیمتر به نمونه ها مطابق اشکال ۱۱-۴ و ۱۲-۴ اعمال شده و پس از ملاحظه تعییر شکل قاب مطابق اشکال ۱۳-۴ و ۱۴-۴ منحنی پوش اور نمونه ها (شکل ۱۲-۴) ترسیم میگردد.

الف-ساخت هندسه مدل و بار گذاری

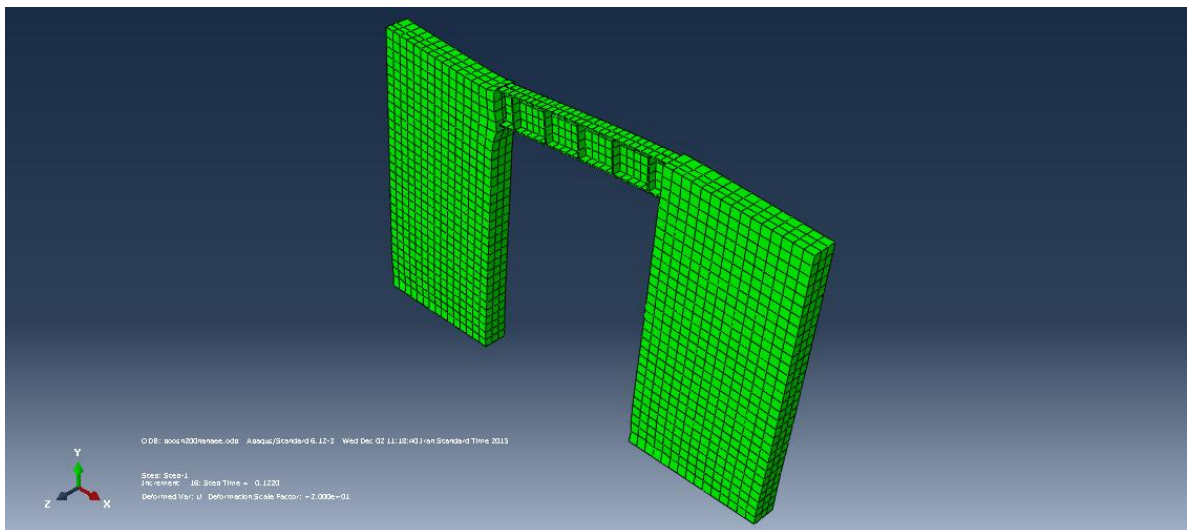


۱۱-۴: مدلسازی قاب با تیر پیوند فلزی به طول ۲ متر

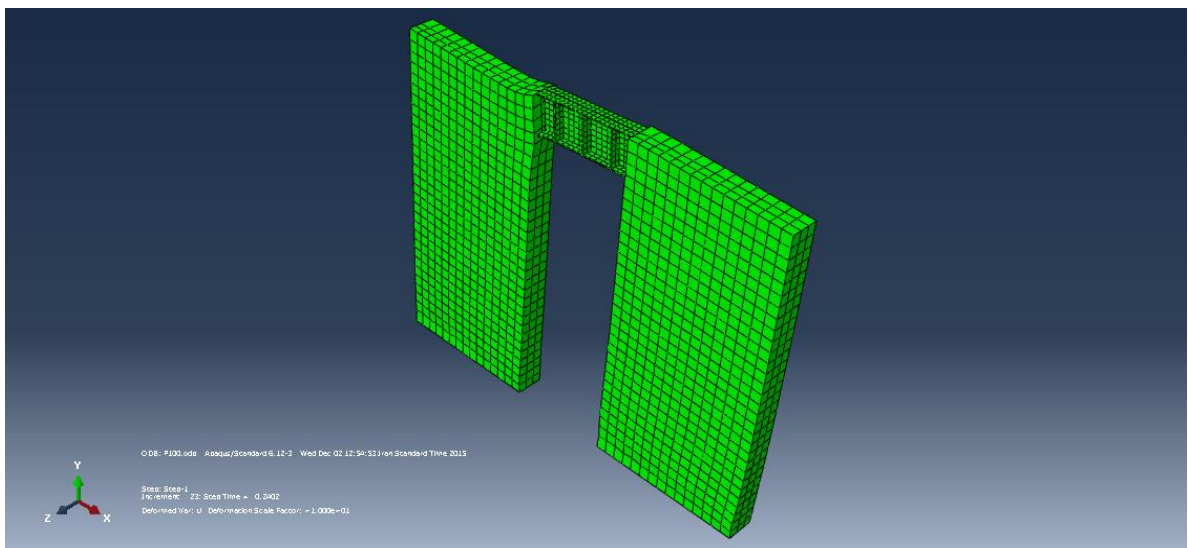


۱۲-۴: مدلسازی قاب با تیر پیوند فلزی به طول ۱ متر

ب-تغییر شکل قاب تحت اعمال پوش(بار جانبی از نوع تغییر مکان)



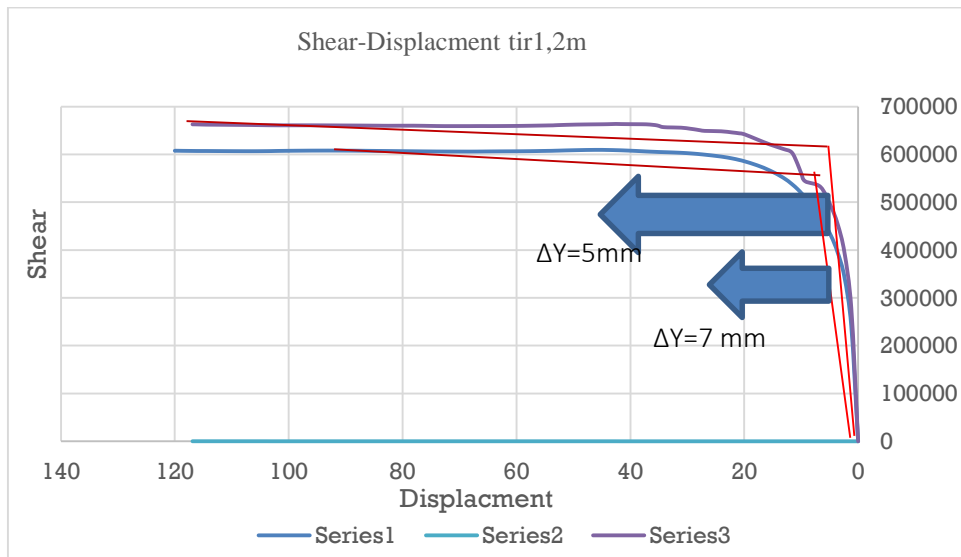
شکل ۱۳-۴: تغییر شکل قاب با تیر پیوند ۲ متری تحت پوش



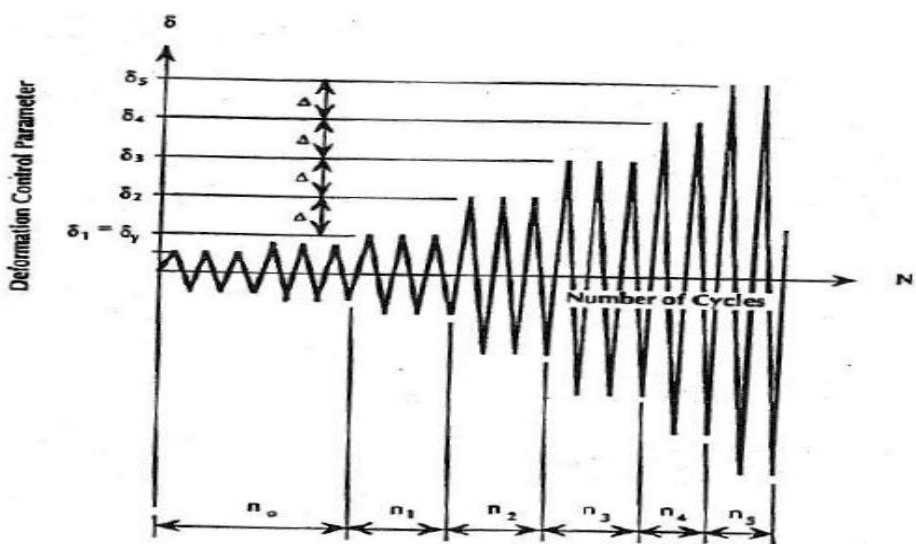
شکل ۱۴-۴: تغییر شکل قاب با تیر پیوند ۱ متری تحت پوش

۷-۴. دوخطه کردن منحنی و بدست آوردن Δy

در نمودار شکل ۱۵-۴ قاب با تیر پیوند ۱ و ۲ متر به طور نمونه طریقه استخراج Δy با دوخطه کردن منحنی پوش طوریکه سطح زیر نمودار دو خطه و منحنی پوش برابر باشد و همچنین در $y=0.6V$ خط اولیه منحنی را قطع کند ترسیم شده است.

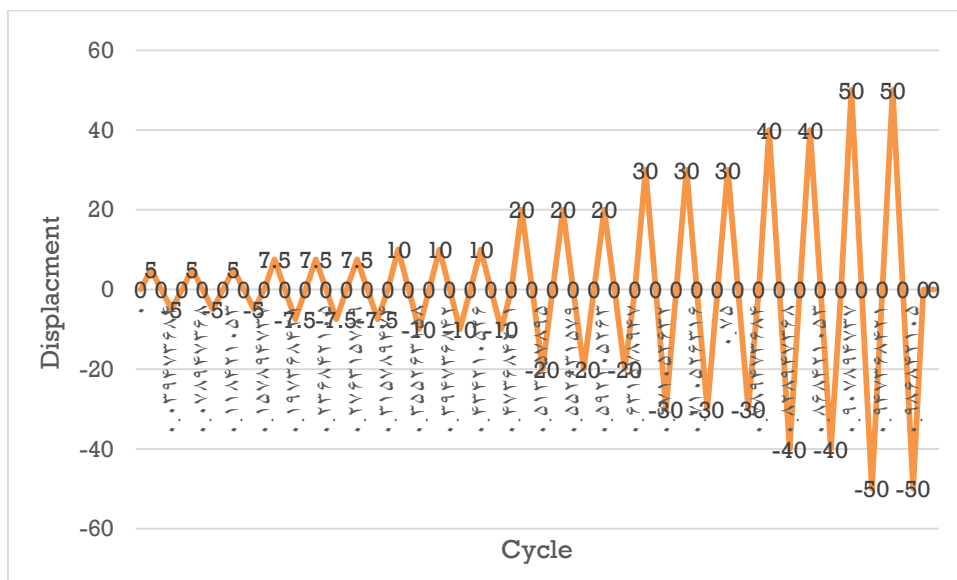


شکل ۱۵-۴ سای

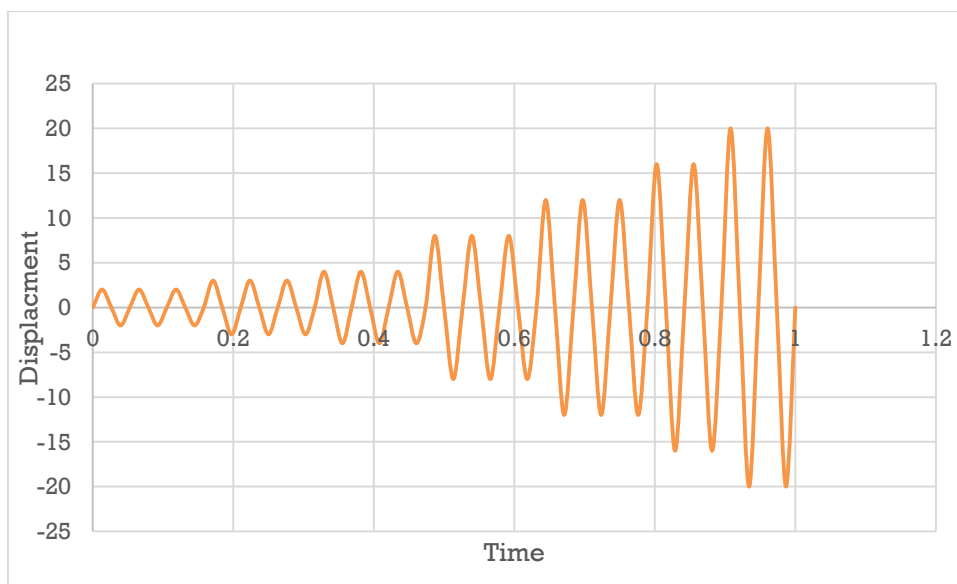


شکل ۱۶-۴ پروتکل بارگذاری به نقل از [24] ATC24

۸-۴. استخراج پروتکل بارگذاری از ATC24 با داشتن Δy



شکل ۴-۱۷ بارگذاری سایکلینگ^۱ نمونه ۲.۵ متری

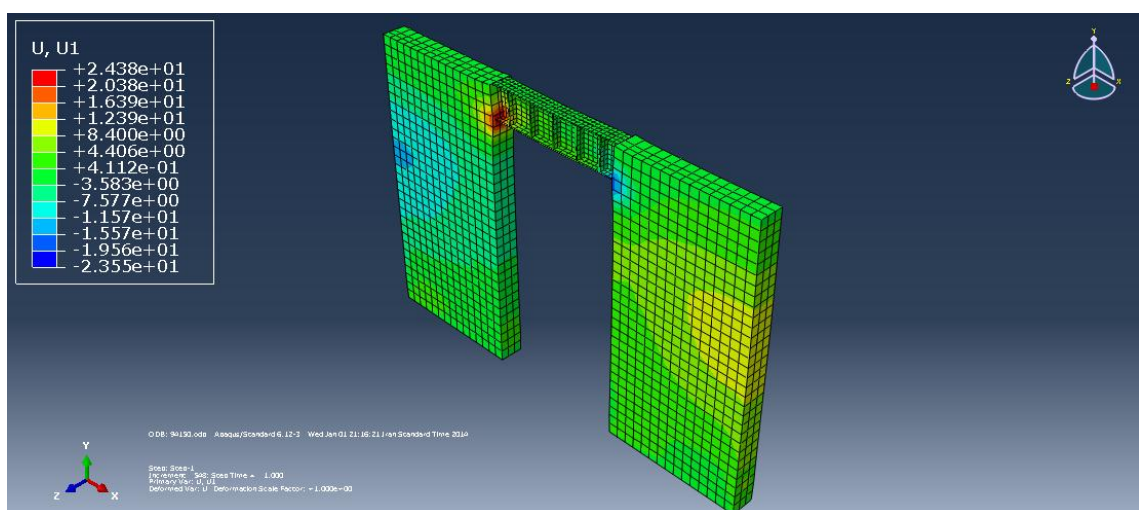
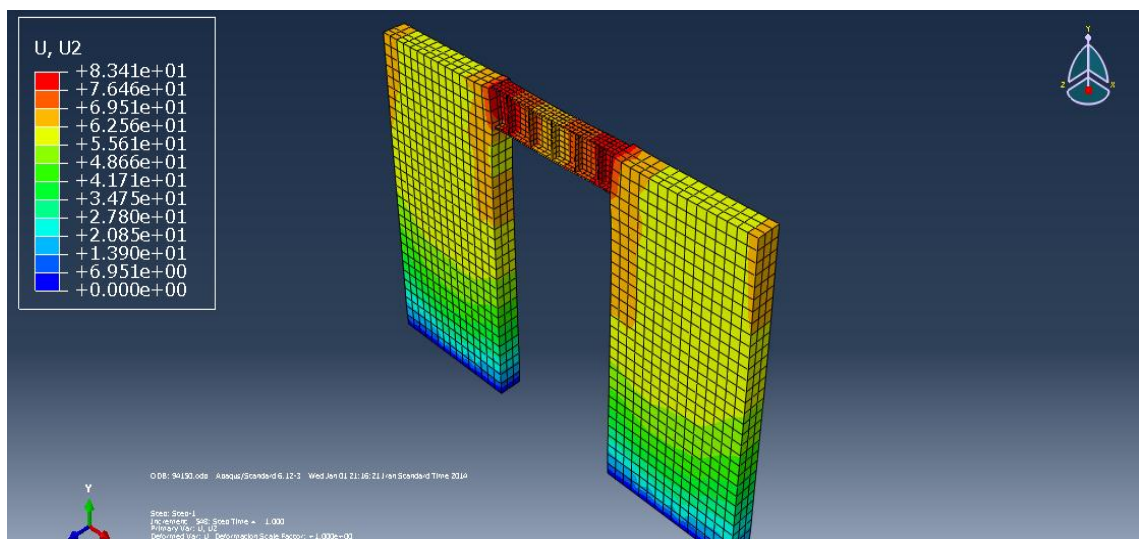


شکل ۴-۱۸ بارگذاری سایکلینگ^۱ نمونه ۰.۵ متری

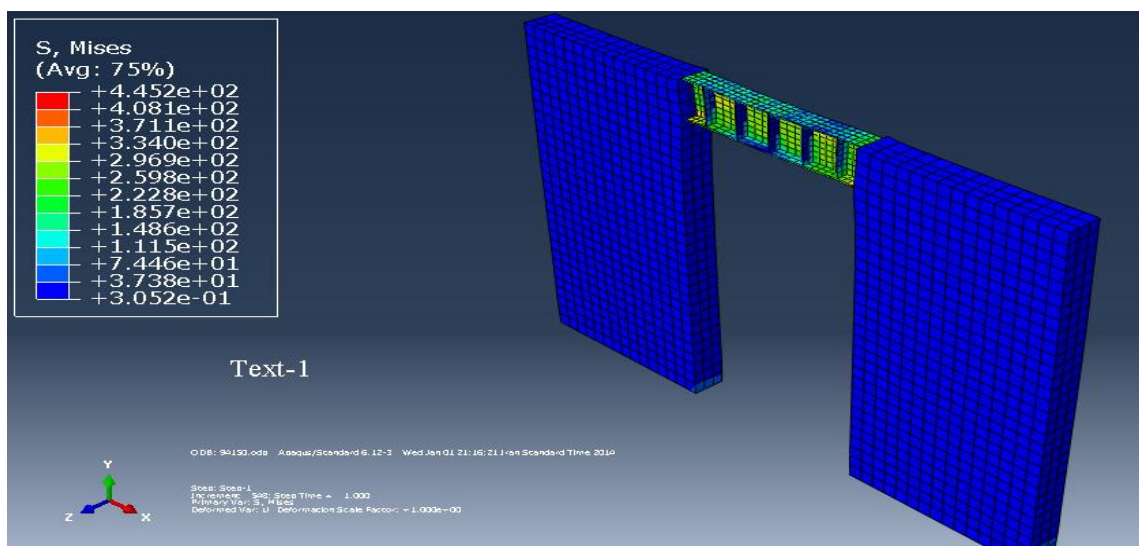
۹-۴. بررسی رفتار لرزه ای

هر پنج نمونه(جدول ۲) تحت بار گذاری سایکلینگ بدست آمده از [24] ATC24 براساس Δy نظری بدست آمده از تحلیل پوش اور قرار گرفته و مورد تحلیل قرار گرفته و نتایج زیر حاصل شدند.

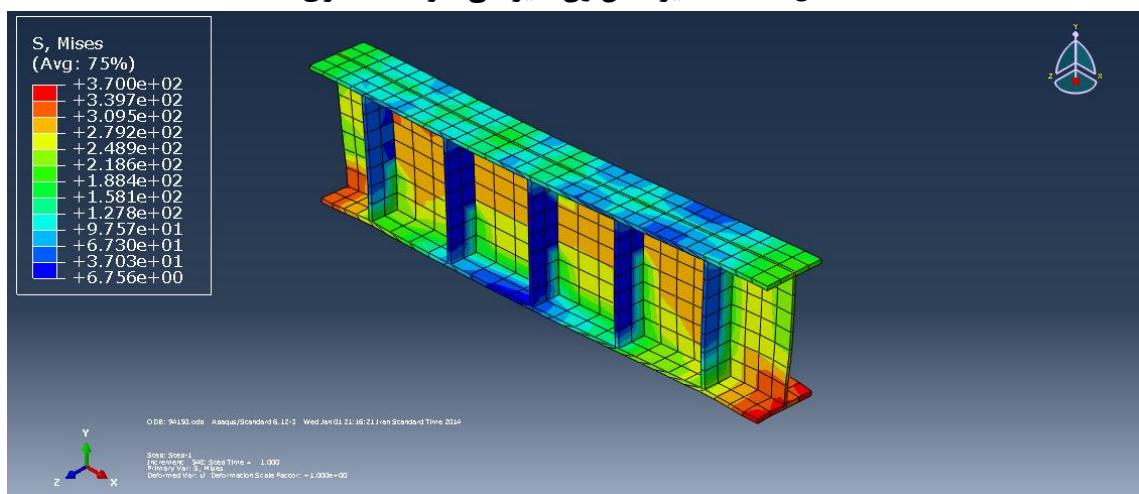
۹-۱-۴- تنش ون مایز و تغییر شکل نمونه ۵/۱ متری و تیر پیوند



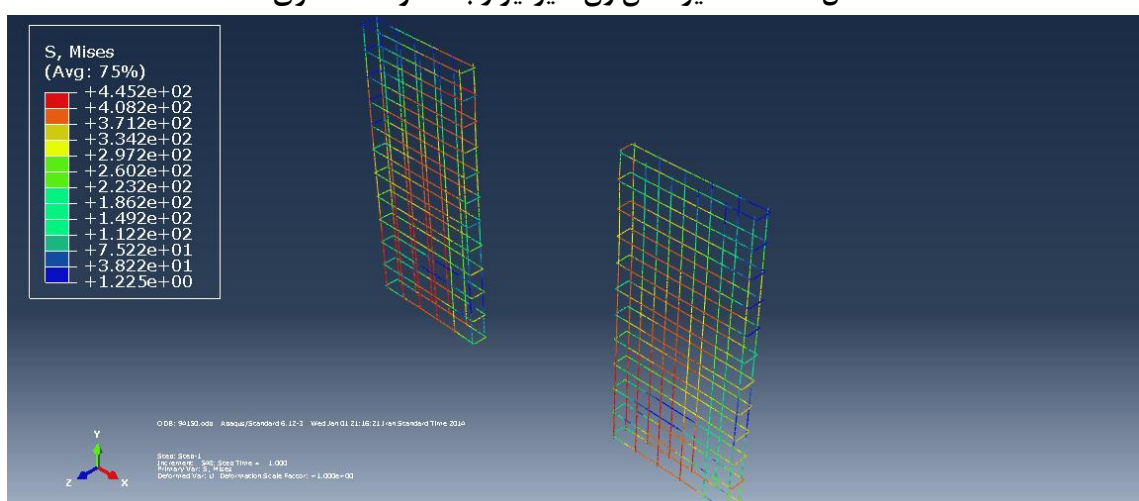
شکل ۴: مقادیر جابجایی کلی نمونه ۵/۱ متری



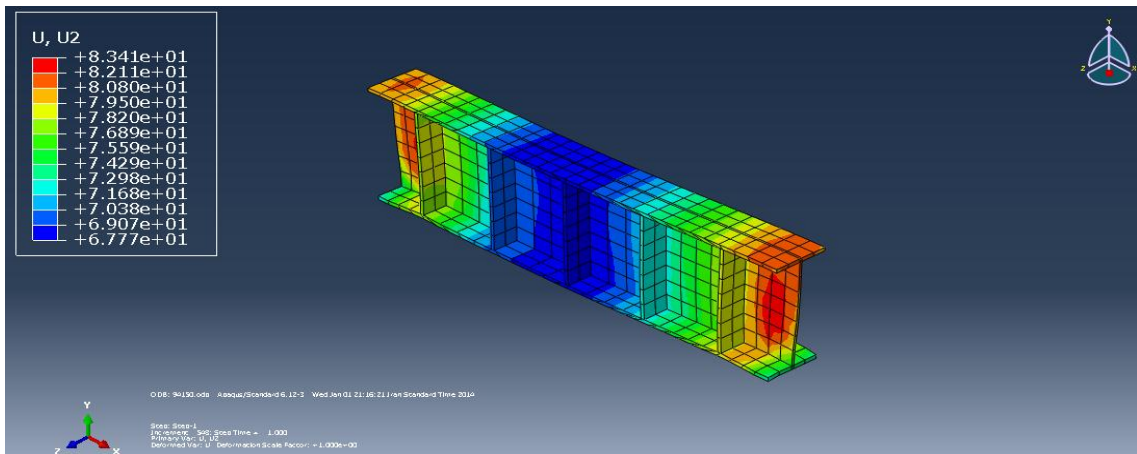
شکل ۴-۲۰: مقادیر تنش ون مایزکلی نمونه ۱/۵ متری



شکل ۴-۲۱: مقادیر تنش ون مایزکلی رابط نمونه ۱/۵ متری



شکل ۴-۲۲: مقادیر تنش ون مایز آرماتورهای طولی نمونه ۱/۵ متری

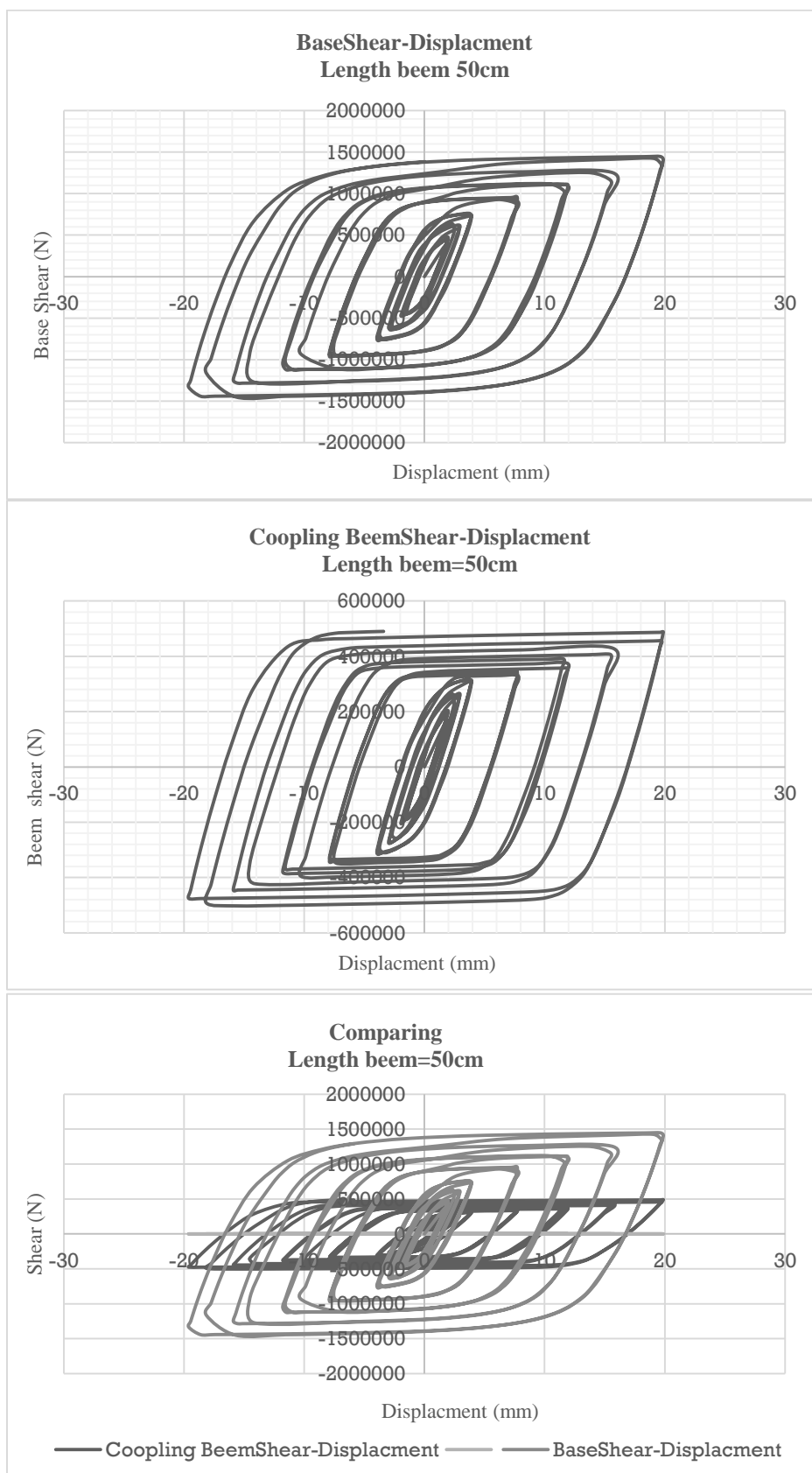


شکل ۴-۲۳: مقادیر جابجایی قائم تیر رابط نمونه ۱/۵ متری

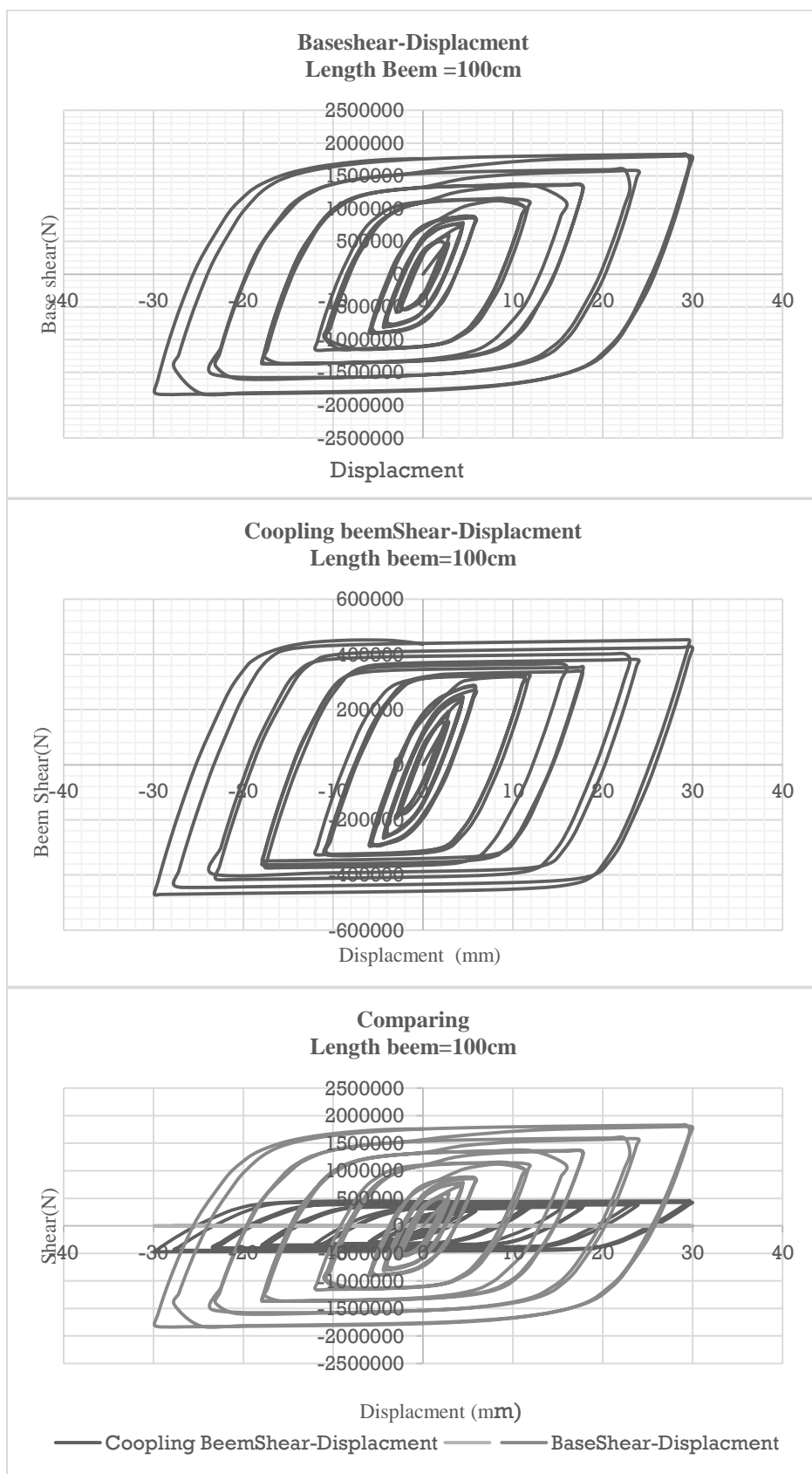
۴-۹-۲- رسم منحنی های هیسترزیس

بعد از تحلیل هیستر تیک قابها دیاگرام مجموع خروجی عکس العمل افقی هر دو تکیه گاه که معادل برش پایه است و مجموع عکس العمل قائم یکی از تکیه گاهها که همان نیروی برشی ایجاد شده در تیر پیوند میباشد و همچنین میانگین جابجایی دو سر قاب تحت بار گذاری سایکلینگ در مقابل زمان بدست آمده واز ترکیب دیاگرام برش و جابجایی در مقابل زمان منحنی هیسترزیس برش پایه و همچنین برش تیر پیوند در مقابل جابجایی قاب ترسیم و داده ها به نرم افزار اکسل جهت رسم دقیق تر منحنی هیسترزیس منتقل می شود و با نرم افزار اکسل منحنی های زیر ترسیم و در فصل پنجم مورد نقد و بررسی قرار میگیرد.

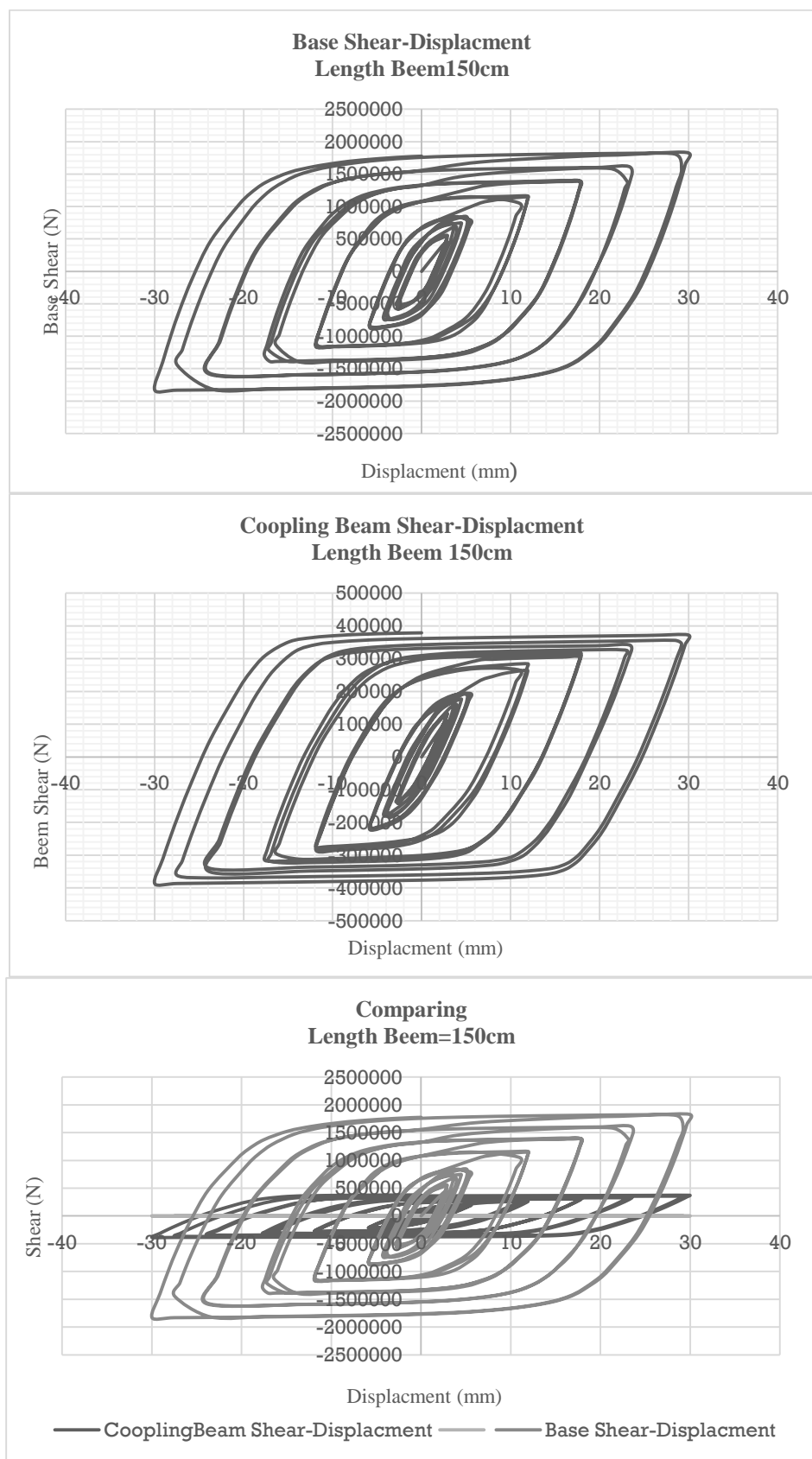
در هر پنج نمونه اولین نمودار برش پایه قاب در مقابل جابجایی آن دومین نمودار رفتار هیستر تیک برش تیر پیوند در مقابل جابجایی قاب و سومین نمودار ترسیم دو نمودار قبلی در یک شیت جهت بررسی در صد اتفاف انرژی ورودی قاب بوسیله تیر پیوند میباشد.



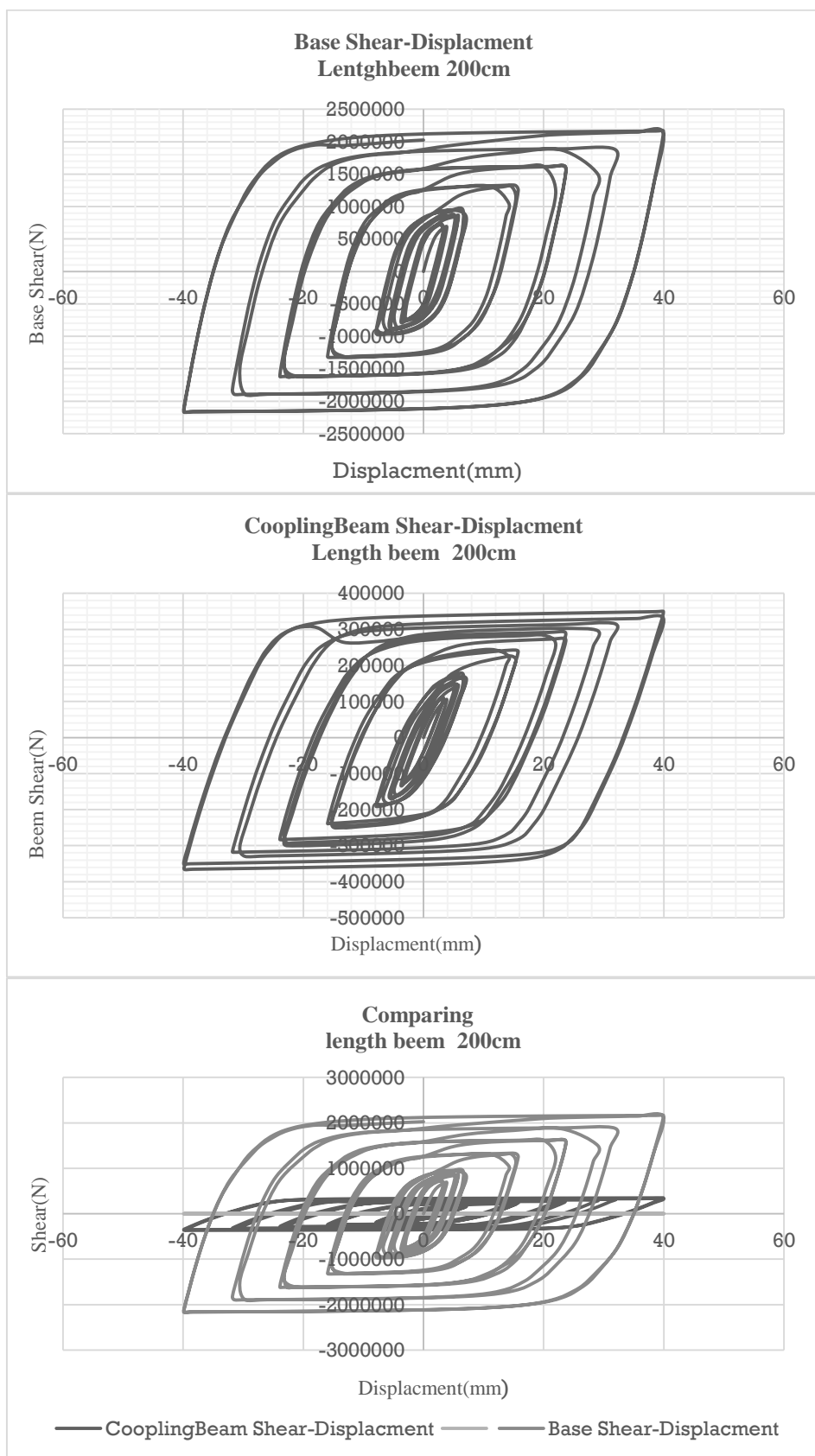
شکل ۴-۲۴: منحنی های هیسترزیس نمونه CB1



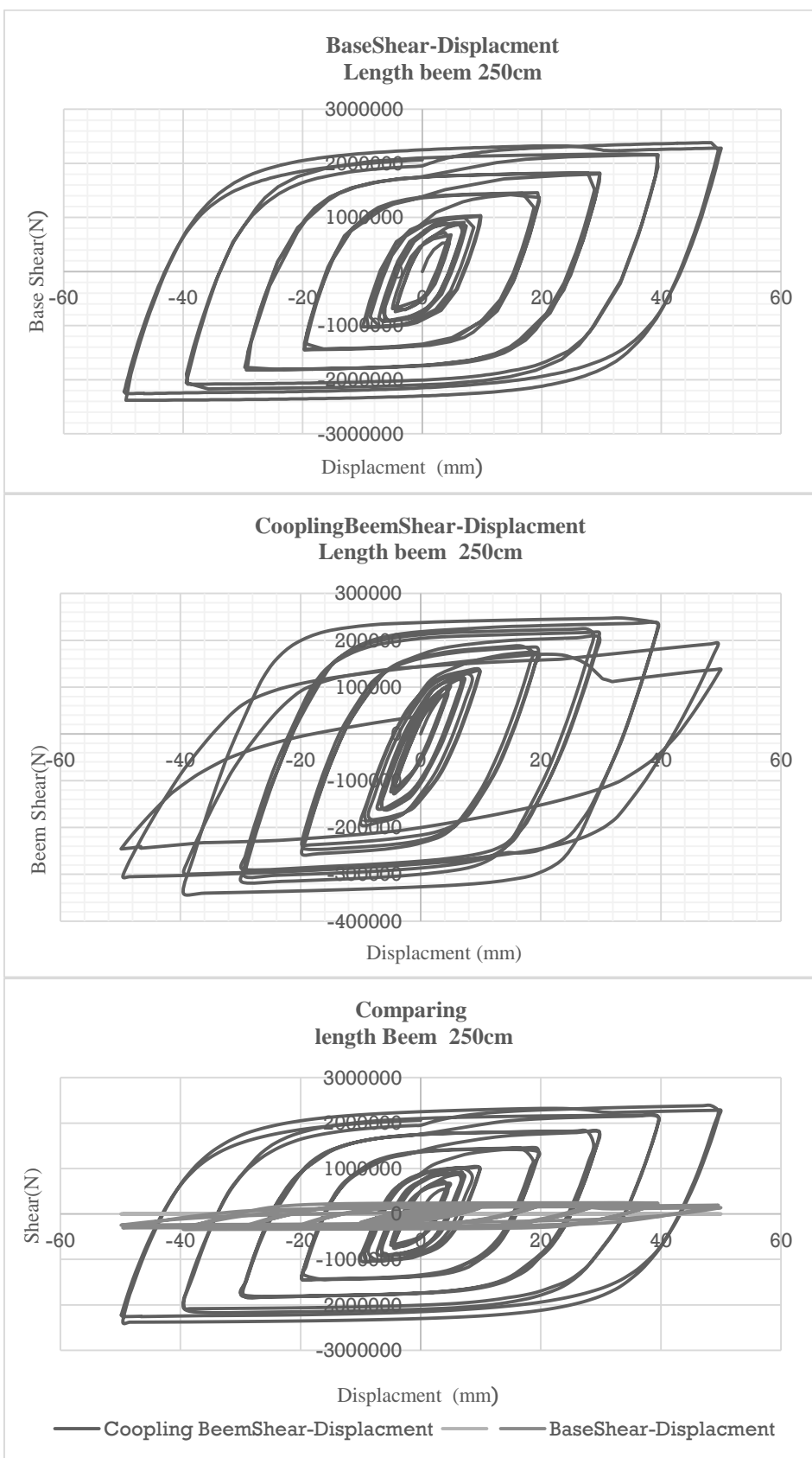
شکل ۴-۲۵: منحنی های هیسترزیس نمونه CB2



شکل ۴-۲۶: منحنی های هیسترزیس نمونه CB3



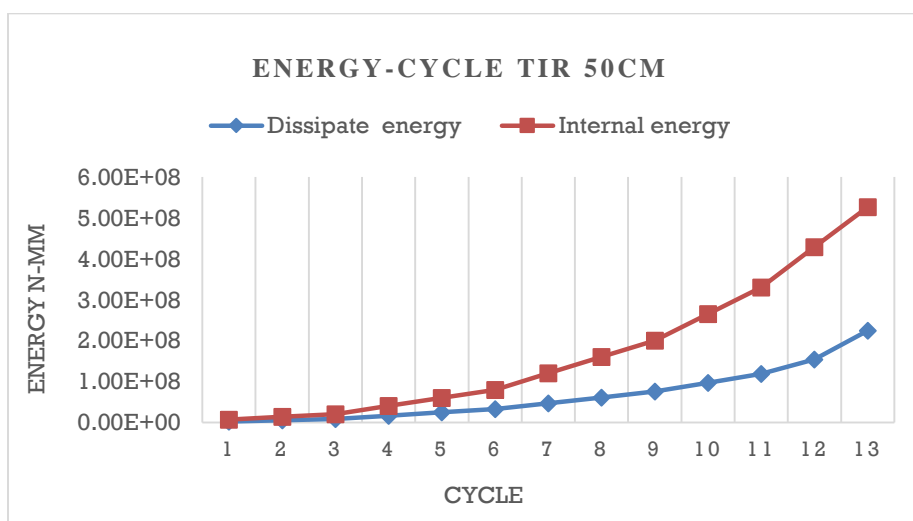
شکل ۴-۲۷: منحنی های هیسترزیس نمونه CB4



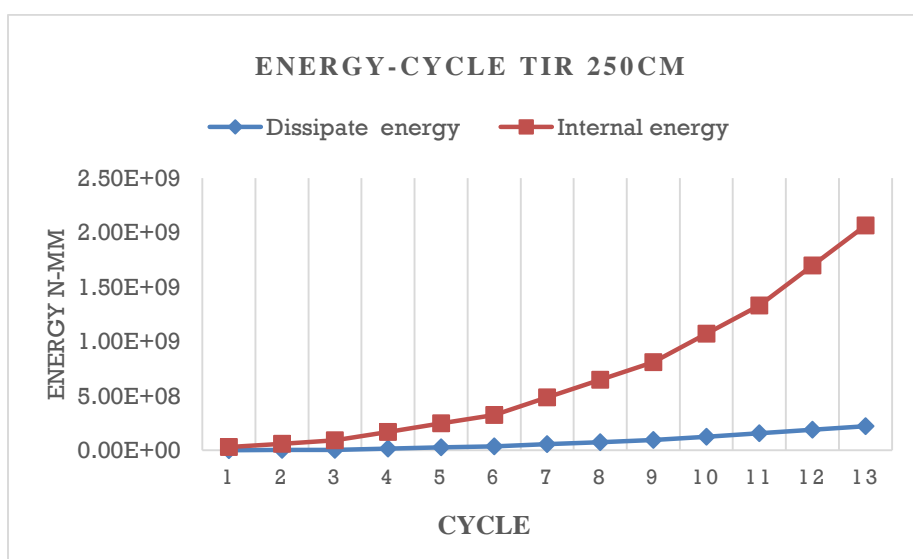
شکل ۴-۲۸: منحنی های هیسترزیس نمونه CB5

۴-۱۰-۲-رسم منحنی های انرژی داخلی و ورودی در مقابل جابجایی

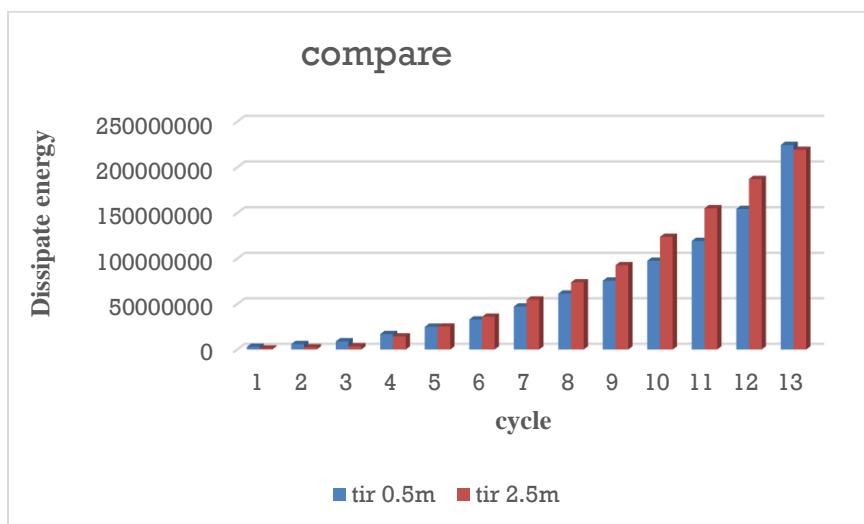
با استفاده از منحنی های هیسترزیس منتج از تحلیل نمونه ها با توجه به روند رو به افول منحنی هیسترزیس برش تیر پیوند و منحنی تقریبا ثابت و یا کمی رو به رشد برش پایه از نمونه یک تا پنج با جمع زدن سطح زیر منحنی هیسترزیس در سیکل ۷ تا ۱۹ و جمع نمودن مقادیر جابجایی منحنی های زیر حاصل شده است.



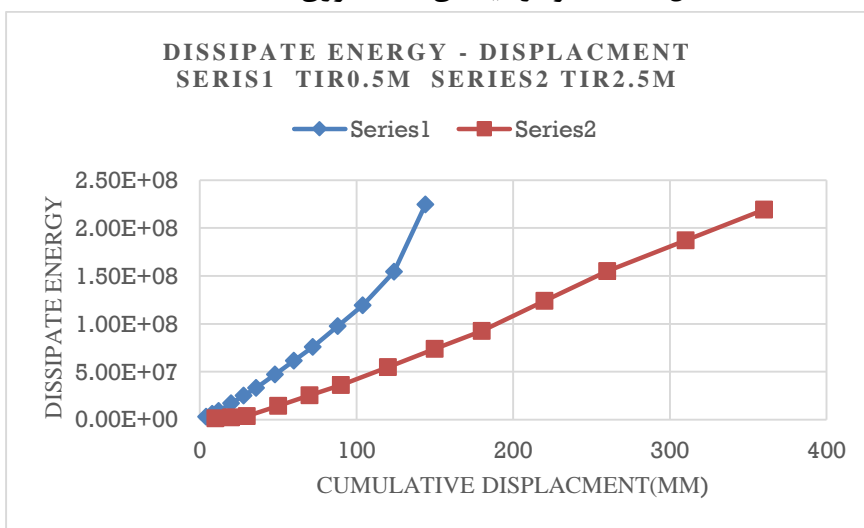
شکل ۴: منحنی های انرژی ورودی کلی و اتلاف انرژی CB1



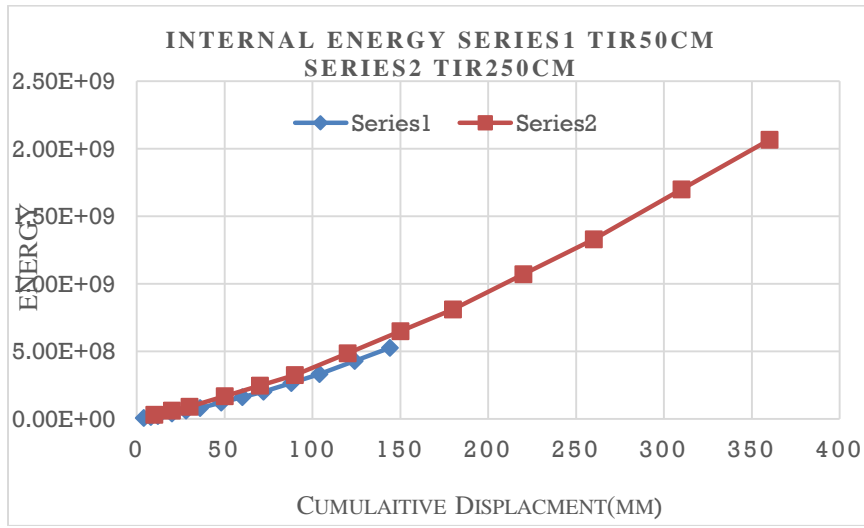
شکل ۴: منحنی های انرژی ورودی کلی و اتلاف انرژی CB5



شکل ۴-۳۱: نمودار میله ای اتلاف انرژی CB5,CB1



شکل ۴-۳۲: منحنی های اتلاف انرژی در تیر پیوند CB5 و CB1



شکل ۴-۳۳: منحنی های انرژی ورودی CB5 و CB1

فصل پنجم

نتیجه گیری و پیشنهادات

ارزیابی منحنی های بدست آمده تحت بار گذاری متناوب از فصل چهارم

الف-بررسی منحنی پوش اور^۱ برش پایه در مقابل جابجایی قاب

طبق بررسی های به عمل آمده روی منحنی برش پایه (شکل ۴-۱۵) در مقابل جابجایی یا همان منحنی پوش اورهر ینچ نمونه مشاهده می شود که با افزایش طول تیر پیوند سازه نرم تر شده و منحنی پوش خمیده تر می شود به عبارتی تغییر مکان تسلیم یا همان Δy از طول کمتر به بیشتر بیشتر شده و برش پایه تسلیم قاب رو به کاهش می گذارد به عبارتی تغییر مکان تسلیم قاب درنیروی جانبی کمتری رخ میدهد.

ب-بررسی منحنی هیسترزیس برش پایه در مقابل جابجایی قاب

با بررسی منحنی هیسترزیس برش پایه در مقابل جابجایی قاب (اشکال ۴-۲۴ الی ۴-۲۸) همانطور که ملاحظه میشود با توجه به افزایش Δy از مد برشی به خمسی با اینکه در مدهای برشی برش اعمالی نهایی تحت بار سایکلینک نسبت به برش نهایی مدهای خمسی کمتر است که این عمدتاً بدلیل تردی شکست برشی نسبت به خمسی تحت بارهای رفت و برگشت است لیکن انرژی ورودی که همان مجموع سطوح زیر منحنی ها در ازای جابجایی تجمعی است در مدهای برشی به ازای جابجایی یکسان قاب، بیشتر یا مساوی است .

ج-بررسی منحنی هیسترزیس برش تیر پیوند در مقابل جابجایی قاب و مقایسه اتلاف انرژی در تیر از مد برشی تا خمسی در مقابل جابجایی

با توجه به اینکه در تمام مقالات اشاره شده در متن آنچه مورد بررسی بوده رفتار هیسترزیس تیر پیوند میباشد می توان گفت قسمت اصلی بحث ما بررسی رفتار تیر پیوند است. همانطور که از منحنی های هیسترزیس برش تیر پیوند در برابر جابجایی قاب (اشکال ۴-۲۴ الی ۴-۲۵) استنباط میشود از مد برشی

تا خمثی واضح است که منحنی رو به افول می گذارد و برش نهایی قابل تحمل رو به کاهش و پیرو آن در نمودار اتلاف انرژی تیر پیوند در برابر جابجایی تجمعی(شکل ۴-۳۲) محرز است که از مد برشی تا خمثی اتلاف انرژی کمتر میشود.

۵- بررسی انرژی تلف شده در قاب توسط تیر پیوند از مجموع انرژی واردہ به سیستم

با بررسی روی منحنی هایی(اشکال ۴-۲۴الی ۴-۲۵) که به صورت ترکیبی جهت هر نمونه مجزا ترسیم شده است می توان به این صورت نتیجه گیری نمود که از مجموع انرژی واردہ به سیستم تا گسیختگی، از مد برشی تا خمثی (اشکال ۴-۲۹و ۴-۳۰) ۱۰٪ درصد انرژی واردہ در تیرپیوند تلف میشود مختصرا در این تحقیق حضور تیر پیوند با طول بیشتر از دو و نیم متر تقریبا بدون تاثیر در اتلاف انرژی قاب خواهد بود.

پیشنهاداتی برای آینده

۱- توصیه می شود در مطالعات بعدی روی مقطع تیر پیوند در طول تیرپیوند ثابت کار شود نیز علاوه بر مقاطع موجود در بازار تغییر مقطع را با ثابت نگهداشتن ابعاد بال بر اساس افزایش عمق جان کنترل نمود.
۲- توصیه می شود افراد دیگری روی طول بهینه تیر پیوند بر اساس عرض دیوار برشی کوپله کار کنند و اینکه بررسی شود که در دیوارهای با ابعاد متفاوت و جزئیات یکسان چه رابطه ای می توان بین طول دیوار و طول بهینه تیر پیوند پیدا نمود تا طراحان بر اساس طول دیوار بتوانند در انتخاب بهترین دهانه برای باز شو موفق شوند.

۳- میتوان بررسی را با تغییر مقاومت فشاری بتن دیوار برشی انجام داد و نیز می توان متغیر را مقاومت فولاد و میلگرد مصرفی قرار داد.

۵- پیشنهاد میشود در مطالعات بعدی با روش‌های ماکرو دیوار برشی دوگانه در ارتفاع ساختمان مورد بررسی قرار گیرد و موثرترین طبقه در اتلاف انرژی بدست آید.

۶- بررسی روش اتصال تیر پیوند به بتن نیز از نکات ظریف در اجرای این سیتم میتواند باشد. با توجه به اینکه در تمام مطالعات موجود بر اساس مدفون نمودن تیر پیوند در دیوار بررسی صورت گرفته است پیشنهاد میشود آیندگان روی اتصالات تیر و دیوار به صورت صفحه ستون انتظاری با بولت کار کنند.

منابع و مأخذ

انگلیسی

- [1] Gong, B., and Shahrooz, B.M. (2001). Steel-Concrete Composite Coupling Beams. I: component testing. *Journal of Structures Engineering*. 127(6), 625-631
- [2] Paulay, T. (2002). The Displacement Capacity of Reinforced Concrete Coupled Walls. *Journal of Structures Engineering*. 24, 1165-1175
- [3] Zhao, Z.Z., Kwan, A.K.H., and He, X.G. (2004). Nonlinear Finite Element Analysis of Deep Reinforced Concrete Coupling Beams. *Journal of Structures Engineering*. 26,13-2
- [4] R.K.L. Su, Y. Zhu, "Experimental and numerical studies of external – steelplate strengthened reinforced concrete coupling beams", *Engineering Structures* 27 (2005): 1537–1550
- [5] Wan-Shin Park, Hyun-Do Yun, "Shear strength of the connection between a steel coupling beam and a reinforced concrete shear wall in a hybrid wall system", *Journal of Constructional Steel Research* 61 (2005): 912–941
- [6] Park Wan-Shin, Yun Hyun-Do, "Panel shear strength of steel coupling beam–wall connections in a hybrid wall system", *Journal of Constructional Steel Research* 62 (2006): 1026–1038
- [7] MAHMOOD HOSSEINI1a, HOSSEIN SADEGHI2 AND SEIDALI HABIBY2 Comparing the Nonlinear Behaviors of Steel and ConcreteLink Beams in CoupledShear Walls System byFiniteElement Analysis *Procedia Engineering* 14 (2011) 2864–2871

- [8] Wan-Shin Park, Hyun-Do Yun, "Seismic behaviour of steel coupling beams linking reinforced concrete shear walls", *Engineering Structures* 27 (2005) 1024-1039
- [9] Wan-Shin Park , Hyun-Do Yun, "Seismic behaviour and design of steeL coupling beams in a hybrid coupled shear wall systems", *Nuclear Engineeringand Design* 236 (2006): 2474–2484
- [10] Sherif El-Tawil, "RECOMMENDATIONS FOR SEISMIC DESIGN OF HYBRID COUPLED WALLS", ASCE(AMERICAN SOCIETY OF CIVIL ENGINEERS STRUCTURAL ENGINEERING INSTITUTE
- [11] Paulay, T., and Binney, J.R. (1974). Diagonally Reinforced Concrete Beams for Shear Walls. ACI Special Publications SP 42-Shear in Reinforced Concrete.579-598
- [12] Barney, G. B., Shiu, K. N., Rabbat, B. G., Fiorato, A. E., Russell, H. G., and Corley, W. G. (1978). Earthquake Resistant Structural Walls-Tesst of Coupling Beams.Report to the NSF, Submitted by Portland Cement Association, Reserch and Development. Skokie, II
- [13] Canbolat, B.A., Parra, G.J., and Wight, J.K. (2005).Experimental Study on the Seismic Behavior of High-Performance Fiber-Reinforced Cement Composite Coupling Beams. *ACI Structural Journal*. 102, 159-166
- [14] Park, W. S., and Yun, H. D. (2006). The Bearing Strength of Steel Coupling Beam-Reinforced Concrete ShearWall Connections.*Nuclear Engineering and Design*. 236, 77-93
- [22] American Institute of Steel Construction (2002). AISC 2002, "Load and resistance factor design." Manualof Steel Construction
- [24] Applied Technology Council. (1992). "Guidelines for Seismic Testing of Components of Steel Structures."Report ATC-24.

فارسی

- [15] حجازی،مهرداد، و رئیسی، علیرضا، محاسبه ضریب رفتار برای سازه های قاب خمشی بتنی با دیوار برشی جفت و تیرهای مزدوج فلزی و مقایسه آن با سازه های قاب خمشی بتنی با دیوار برشی، نشریه مهندسی عمران و محیط زیست، جلد ۴۴ ، شماره ۱، بهار ۱۳۹۳ – یادداشت پژوهشی
- [16] صفاری،حامد، و قهرمانی، کامران،بررسی تاثیر آرایش فولادگذاری در مقاومت نهایی و شکلپذیری دیوارهای برشی کوپله مسلح، اولین. کنفرانس ایمن سازی و بهسازی سازه ها، دانشگاه امیر کبیر، ۱۳۸۱
- [17] امیری،ایمان، بررسی آزمایشگاهی و عددی رفتار برشی و خمشی تیرهای کوپله بتنی ساخته شده با بتنهای الیافی توانمند(HPFRCC). در دیوار برشی کوپله، پایاننامه کارشناسی ارشد، دانشگاه سمنان، شهریور ۱۳۹۰
- [18] امیری سواد روباری،سامان وايمان وبرگی،خسرو بررسی رفتار تیرهای همبند در دیوار برشی کوپله اولین همايش ملی مصالح ساختمان و تكنولوجی های نوين در صنعت ساختمان ،دانشگاه آزاد اسلامی – واحد میبداسفند ماه ۱۳۹۲
- [19] شابختی،ناصر و حشمتوی سعادتی،علی بررسی رفتار غیرخطی دیوار برشی بتنی دارای بازشوبه روش طراحی بر اساس سطح عملکرد،چهارمين کنگره ملی مهندسی عمران، دانشگاه تهران، اردیبهشت ۱۳۸۷
- [20] خيرالدين،علي، فريدون،عبدالحسين، و محضرنيا،شهرام،بررسی محاسبه طول گيرداری تير رابط فلزی و تقويت ناحيه گيرداری در دیوارهای برشی کوپله،ششمین كنفرانس بين المللی مهندسی عمران، دانشگاه صنعتی اصفهان، اردیبهشت ۱۳۸۲
- [21] خيرالدين، علي، آناليز و طراحی دیوارهای برشی، انتشارات دانشگاه سمنان، چاپ هشتم، سمنان، ۱۳۸
- [23] سروش نيا، سهيل وديگران . کاملترین مرجع کاربردي ABAQUS،تهران: انتشارات نگارنده دانش چاپ دوم ۱۳۹۲



Islamic Azad University
Malayer Branch,
Department of Civil Engineering

Title

**Evaluation of inelastic behavior of reinforced concrete coupled shear
wall system with a steel link beam at concrete moment frame**

Thesis

Submitted to the Graduate Studies Office
In partial fulfillment of the requirements for
The degree of M.Sc
In Civil Engineering

Supervis

Dr. Alirezaee Mehdi

Advisor:
Dr. Rozbahani Mazaher

By
Hossaini Masoume

Janvie, 2016